

# 低エネルギー重イオン反応 における量子多体ダイナミクス

東北大学

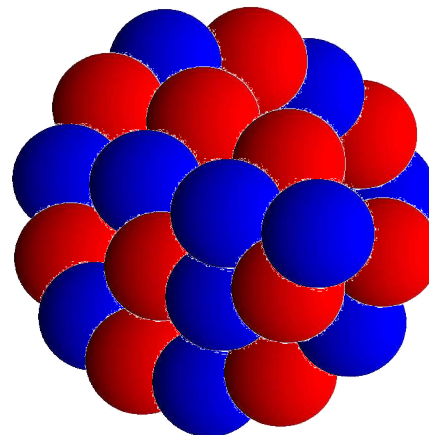
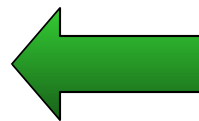
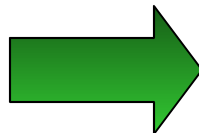
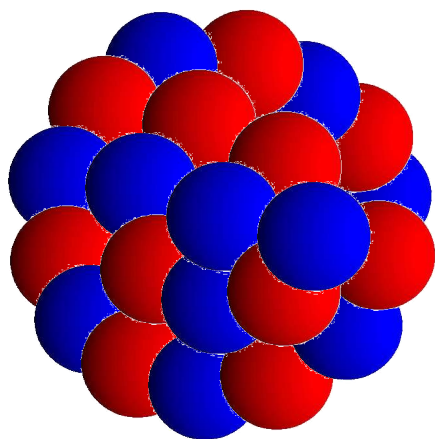
萩野浩一



TOHOKU  
UNIVERSITY

[hagino@nucl.phys.tohoku.ac.jp](mailto:hagino@nucl.phys.tohoku.ac.jp)

[www.nucl.phys.tohoku.ac.jp/~hagino](http://www.nucl.phys.tohoku.ac.jp/~hagino)



## 講義の内容(予定)

1. **核反応論基礎: 基本的概念と量子力学の復習**
2. **重イオン反応の概観**
3. **核融合反応に対する古典模型**
4. **核融合反応と量子トンネル効果**
5. **ポテンシャル模型: 成功と失敗**
6. **原子核の低励起集団運動**
7. **反応への影響: 結合チャンネル方程式**
8. *Sub-barrier Fusion* と障壁分布法
9. **量子反射と重イオン準弾性散乱**

# 参考図書・参考文献

## 核反応一般

- 市村宗武、坂田文彦、松柳研一 「原子核の理論」  
(岩波講座・現代の物理学)
- 河合光路、吉田思郎 「原子核反応論」 (朝倉物理学大系)
- G.R. Satchler, “*Direct Nuclear Reactions*”
- G.R. Satchler, “*Introduction to Nuclear Reaction*”
- R.A. Broglia and A. Winther, “*Heavy-Ion Reactions*”
- “*Treatise on Heavy-Ion Science*”, vol. 1-7
- D.M. Brink, “*Semi-classical method in nucleus-nucleus collisions*”
- P. Frobrich and R. Lipperheide, “*Theory of Nuclear Reactions*”

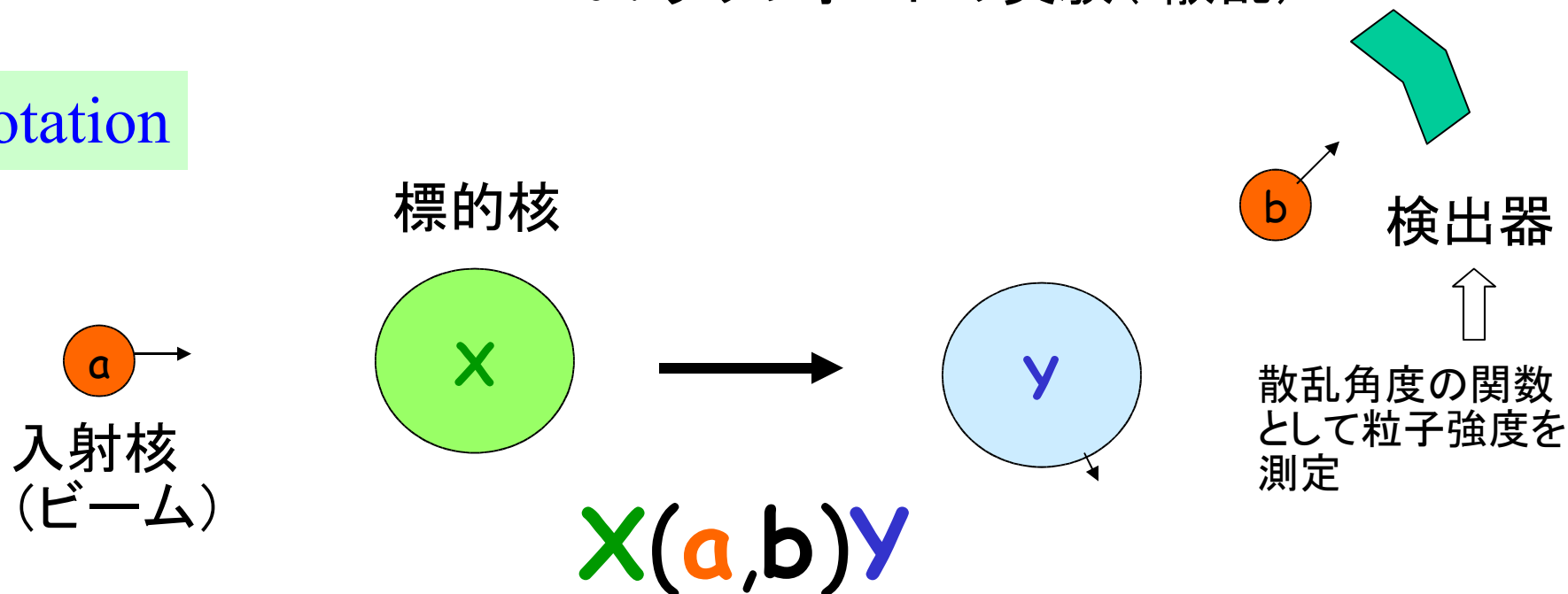
## 重イオン核融合反応に関するもの

- M. Dasgupta et al., Annu. Rev. Nucl. Part. Sci. 48('98) 401
- Proc. of Fusion03, Prog. Theo. Phys. Suppl. 154('04)
- Proc. of Fusion97, J. of Phys. G 23 ('97)
- 萩野浩一、滝川昇、日本物理学会誌 57( '02)588

# 核反応論基礎：基本的概念と量子力学の復習

原子核の形や相互作用、励起状態の性質：衝突実験  
cf. ラザフォードの実験（散乱）

## Notation



:  $^{16}\text{O} + ^{208}\text{Pb}$  弾性散乱

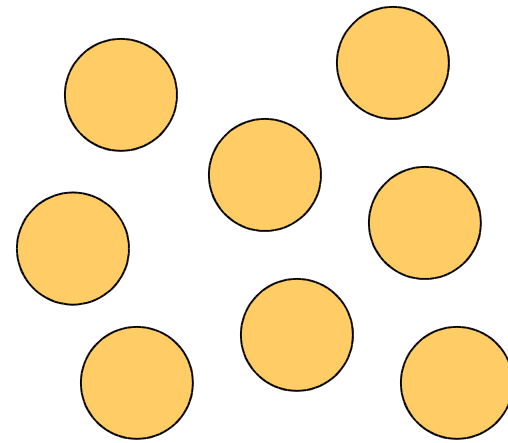
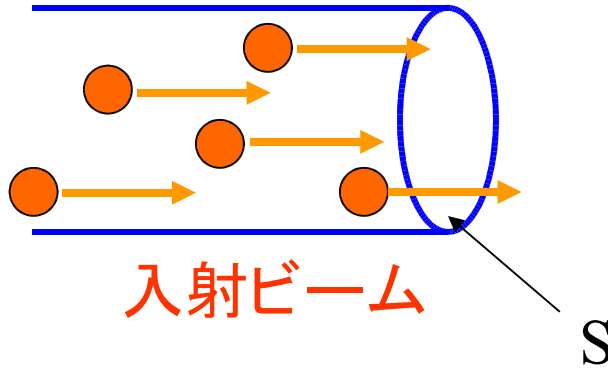


:  $^{16}\text{O} + ^{208}\text{Pb}$  非弾性散乱



: 1 中性子移行反応

# 散乱断面積



単位時間当たりに標的粒子  
1個に対する反応の起きる数

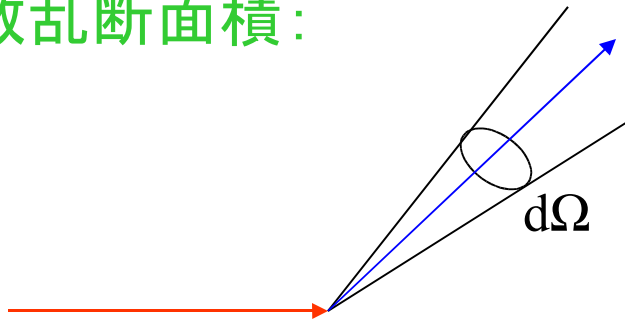
=

$\sigma$ ・単位時間当たり単位面積  
を通過する入射粒子の数

$\sigma/S$  = ビーム中の入射粒子1個が標的1個と衝突した時に散乱の起こる確率

単位: 1 barn =  $10^{-24}$  cm<sup>2</sup> = 100 fm<sup>2</sup> (1 mb =  $10^{-3}$  b = 0.1 fm<sup>2</sup>)

微分散乱断面積:



$$\frac{d\sigma}{d\Omega}$$

# 散乱振幅

自由粒子の運動:  $-\frac{\hbar^2}{2m}\nabla^2\psi = E\psi = \frac{k^2\hbar^2}{2m}\psi$

$$\psi(\mathbf{r}) = e^{i\mathbf{k}\cdot\mathbf{r}} = \sum_{l=0}^{\infty} (2l+1) i^l j_l(kr) P_l(\cos\theta)$$

$$\rightarrow \frac{i}{2kr} \sum_{l=0}^{\infty} (2l+1) i^l \left[ e^{-i(kr-l\pi/2)} - e^{i(kr-l\pi/2)} \right] P_l(\cos\theta)$$

ポテンシャルがある場合:  $\left[ -\frac{\hbar^2}{2m}\nabla^2 + V(\mathbf{r}) - E \right] \psi = 0$

波動関数の漸近形

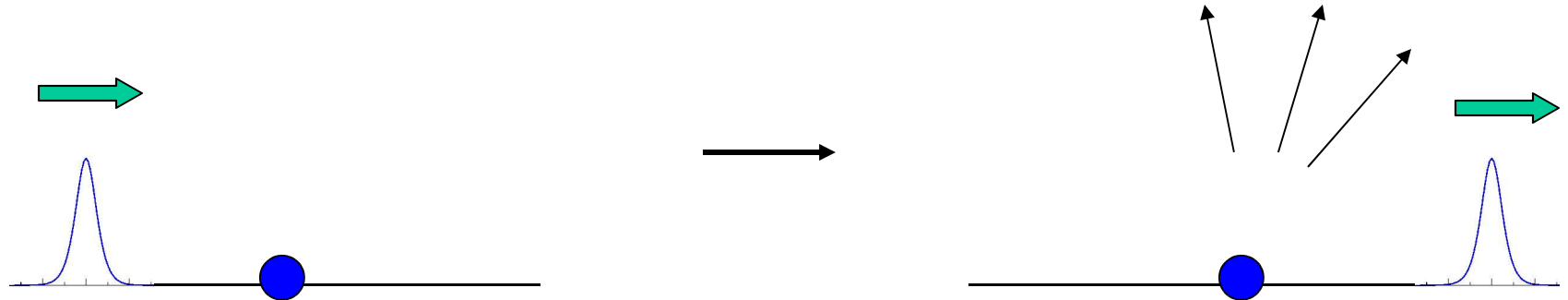
$$\psi(\mathbf{r}) \rightarrow \frac{i}{2kr} \sum_{l=0}^{\infty} (2l+1) i^l \left[ e^{-i(kr-l\pi/2)} - \underline{S_l} e^{i(kr-l\pi/2)} \right] P_l(\cos\theta)$$

$$= e^{i\mathbf{k}\cdot\mathbf{r}} + \left[ \sum_l (2l+1) \frac{S_l - 1}{2ik} P_l(\cos\theta) \right] \frac{e^{ikr}}{r}$$

$f(\theta)$  (散乱振幅)

$$\psi(\mathbf{r}) \rightarrow e^{i\mathbf{k}\cdot\mathbf{r}} + \left[ \sum_l (2l+1) \frac{S_l - 1}{2ik} P_l(\cos\theta) \right] \frac{e^{ikr}}{r}$$

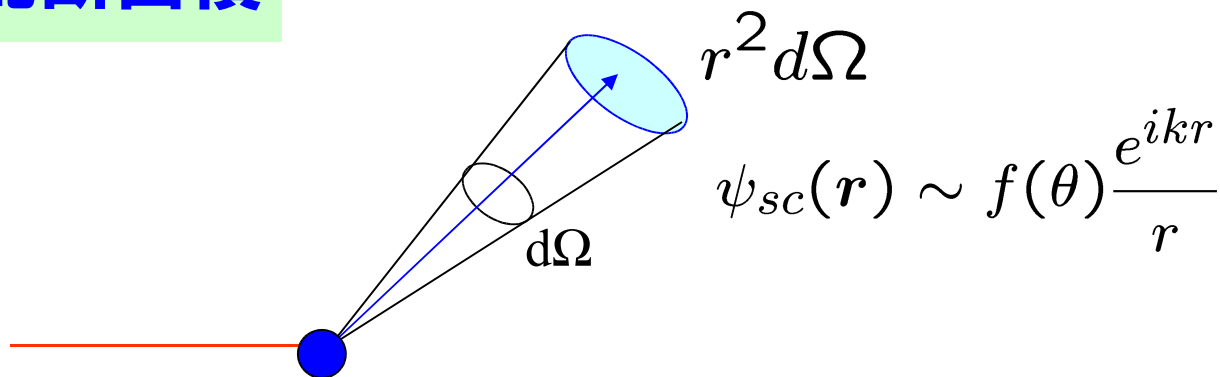
$$= e^{i\mathbf{k}\cdot\mathbf{r}} + f(\theta) \frac{e^{ikr}}{r} \quad = (\text{入射波}) + (\text{散乱波})$$



弾性散乱のみが起こる場合:  $|S_l| = 1$  (フラックスの保存)

$$S_l = e^{2i\delta_l} \quad \delta_l : \text{位相のずれ (phase shift)}$$

# 微分散乱断面積



単位時間に立体角  $d\Omega$  に散乱される粒子の数:

$$N_{\text{scatt}} = \mathbf{j}_{sc} \cdot \mathbf{e}_r r^2 d\Omega$$

$$\mathbf{j}_{sc} = \frac{\hbar}{2im} [\psi_{sc}^* \nabla \psi_{sc} - c.c.] \sim \frac{k\hbar}{m} \frac{|f(\theta)|^2}{r^2} \mathbf{e}_r$$

(散乱波に対するフラックス)

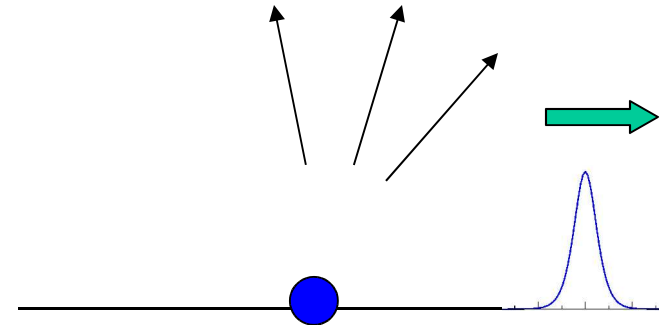
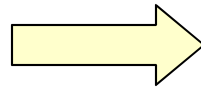

$$\frac{d\sigma}{d\Omega} = |f(\theta)|^2$$

$$f(\theta) = \sum_l (2l + 1) \frac{S_l - 1}{2ik} P_l(\cos \theta)$$

# 光学ポテンシャルと吸収断面積

## 反応プロセス

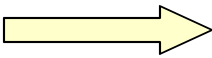
- 弾性散乱
- 非弾性散乱
- 粒子移行
- 複合粒子形成(核融合)



弾性フラックスの減少(吸収)

## 光学ポテンシャル

$$V_{\text{opt}}(\mathbf{r}) = V(\mathbf{r}) - iW(\mathbf{r}) \quad (W > 0)$$

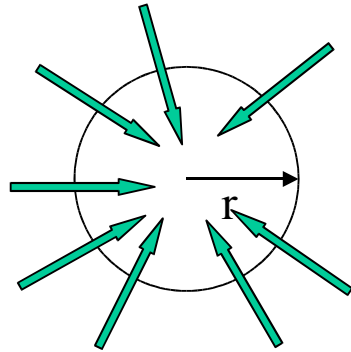

$$\nabla \cdot \mathbf{j} = \dots = -\frac{2}{\hbar} W |\psi|^2$$

(note) ガウスの法則

$$\int_S \mathbf{j} \cdot \mathbf{n} dS = \int_V \nabla \cdot \mathbf{j} dV$$

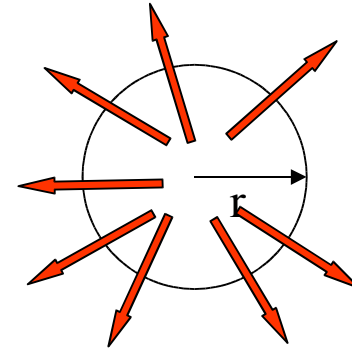
$$\psi(\mathbf{r}) \rightarrow \frac{i}{2k} \sum_l (2l+1) i^l \frac{1}{r} \left[ \underbrace{e^{-i(kr-l\pi/2)}}_{\psi_{\text{in}}} - \underbrace{S_l e^{i(kr-l\pi/2)}}_{\psi_{\text{out}}} \right] P_l(\cos\theta)$$

全内向フラックス:



$$j_{\text{in}}^{\text{net}} = \frac{k\hbar}{m} \cdot \frac{\pi}{k^2} \sum_l (2l+1)$$

全外向フラックス:



$$j_{\text{out}}^{\text{net}} = \frac{k\hbar}{m} \cdot \frac{\pi}{k^2} \sum_l (2l+1) |S_l|^2$$

減少したフラックス:  $j_{\text{in}}^{\text{net}} - j_{\text{out}}^{\text{net}} = \frac{k\hbar}{m} \cdot \frac{\pi}{k^2} \sum_l (2l+1) (1 - |S_l|^2)$

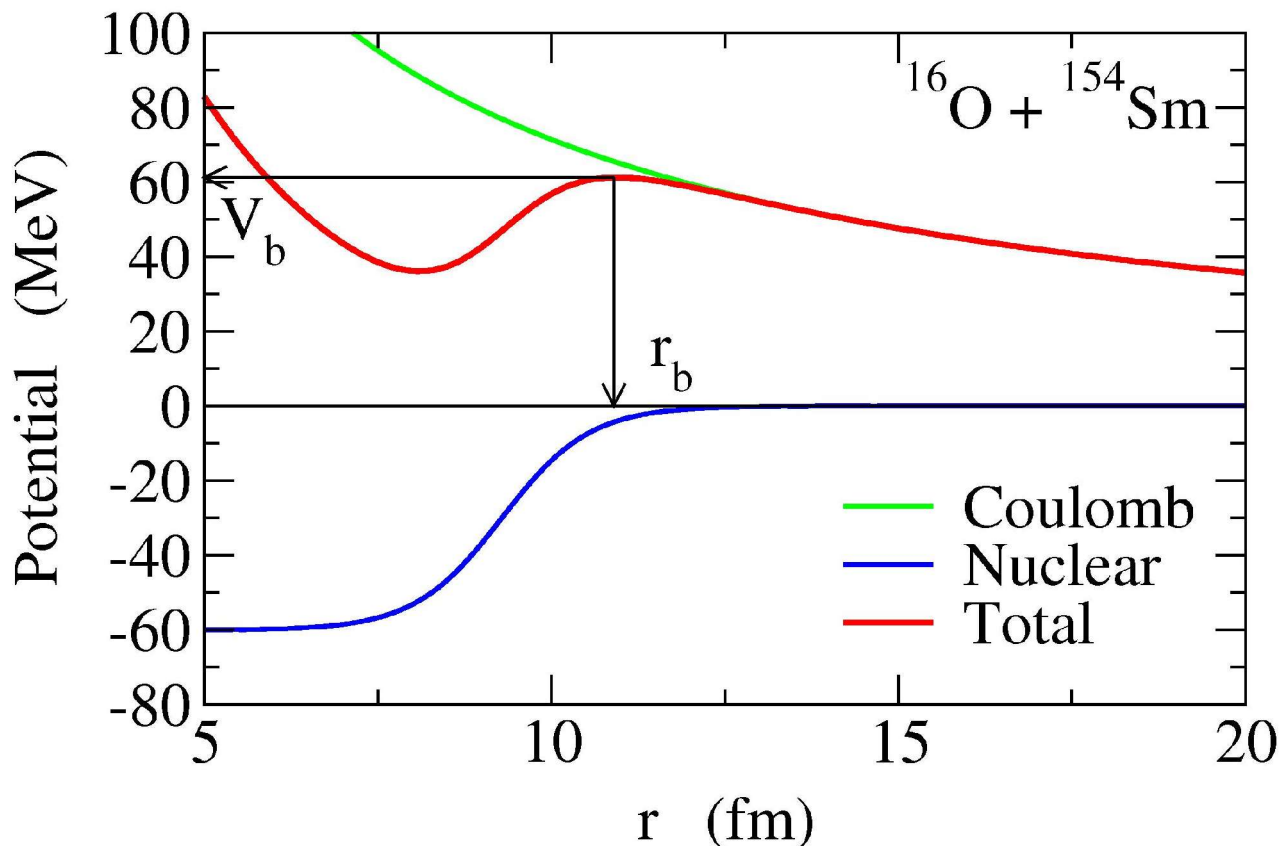
吸収断面積

$$\sigma_{\text{abs}} = \frac{\pi}{k^2} \sum_l (2l+1) (1 - |S_l|^2)$$

# 重イオン反応の概観

重イオン:  $^4\text{He}$  より重い原子核

## 重イオン間ポテンシャル



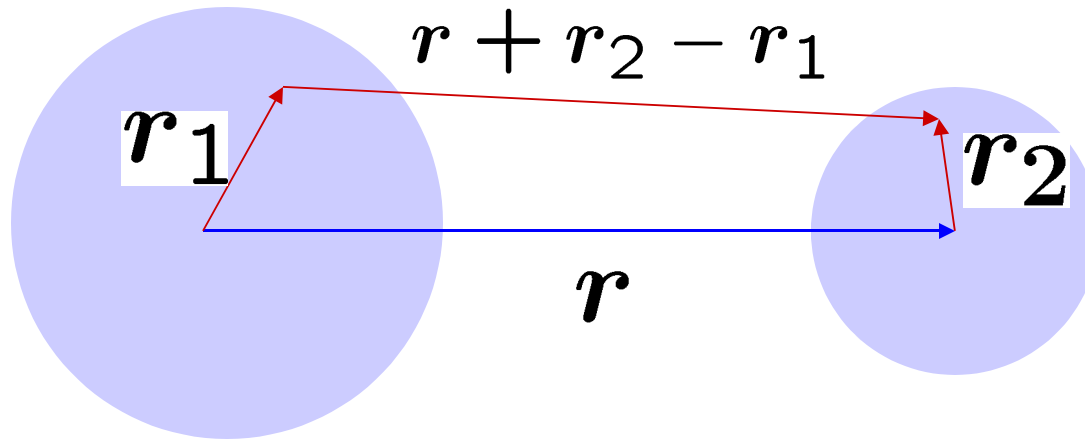
2つの力:

1. クーロン力  
長距離斥力
2. 核力  
短距離引力



両者の打ち消しあいによりポテンシャル障壁が形成  
(クーロン障壁)

- 二重畳み込みポテンシャル (Double Folding Potential)



$$V_{DF}(r) = \int dr_1 dr_2 \rho_1(r_1) \rho_2(r_2) \times v(r + r_2 - r_1)$$

$v$  : 核子間相互作用

- 現象論的ポテンシャル

$$V_{WS}(r) = -\frac{V_0}{1 + \exp[(r - R_0)/a]}$$

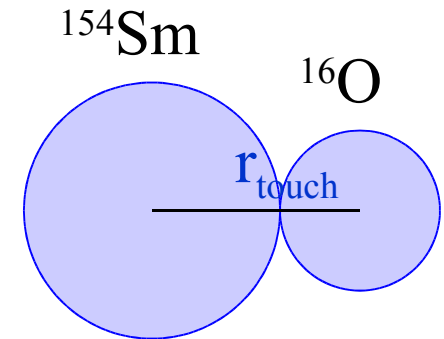
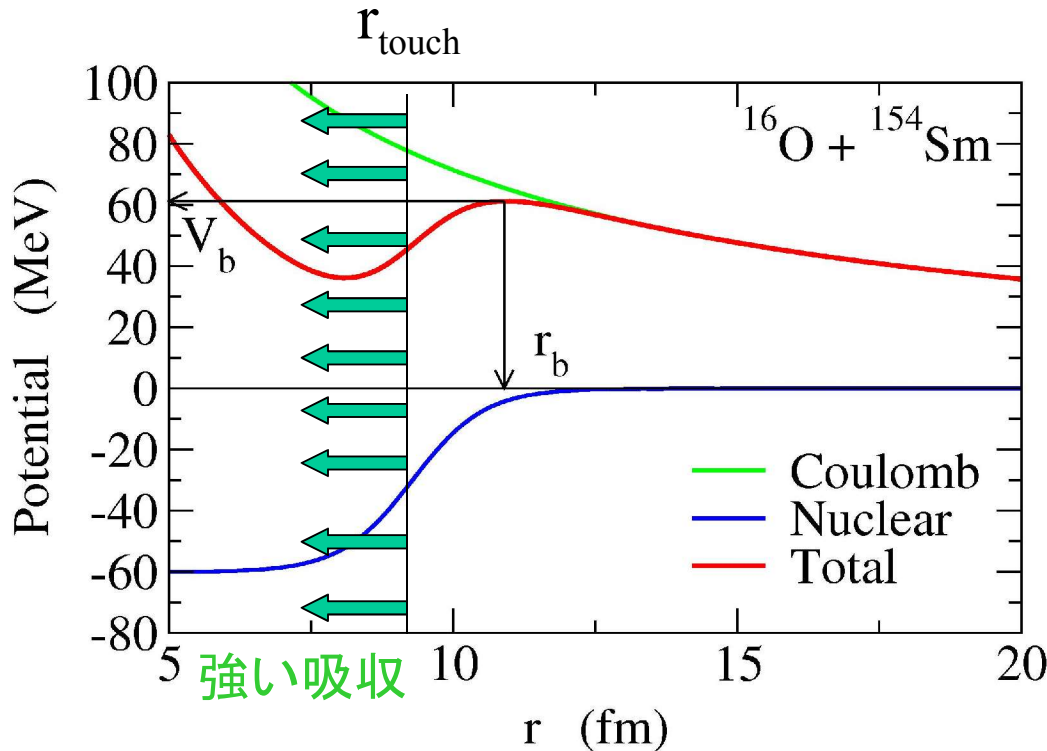
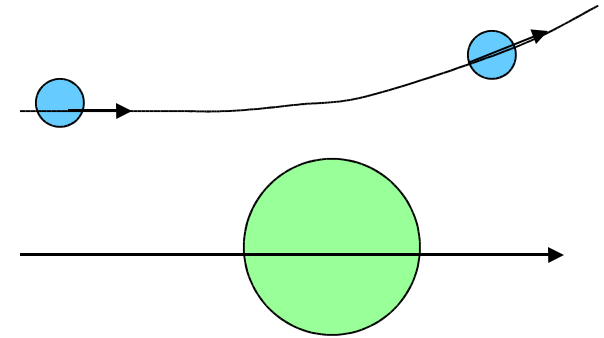
# 重イオン反応の3つの特徴

1. クーロン相互作用: 重要
2. 換算質量 (reduced mass): 大きい

→ (半)古典的な描像  
軌道の概念

$$\mu = m_T m_P / (m_T + m_P)$$

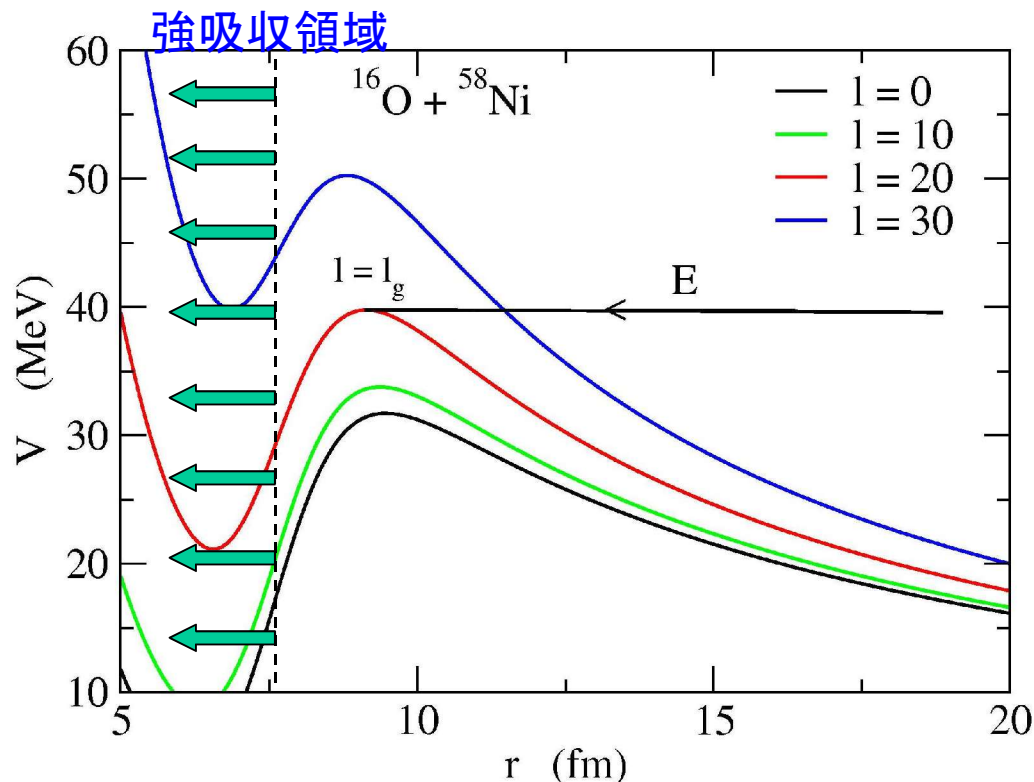
3. クーロン障壁内部での強い吸収



一度接触すると自動的に複合核を形成 (強吸収の仮定)

# 擦り角運動量 (grazing angular momentum)

$$V_l(r) = V_0(r) + \frac{l(l+1)\hbar^2}{2\mu r^2}$$



Grazing 角運動量:  $V_{l_g}(r_b) = E$

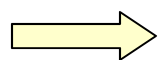
$l < l_g$  : 古典的に強吸収領域に到達

$l \geq l_g$  : 古典的には強吸収領域に到達できない

⇒ ある与えられた  $E$  に対し、反応は  $l=l_g$  を境に急激に変化

i)  $l \gg l_g$  or  $E \ll V_b$

古典的転回点: 非常に遠方



- クーロン力による弾性散乱 (Rutherford 散乱)
- 散乱核のクーロン場による励起 (クーロン励起)



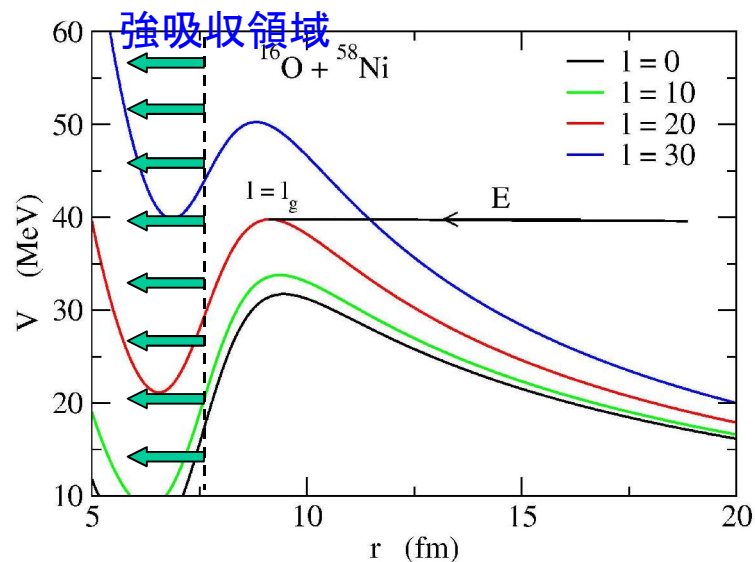
低励起集団運動

ii)  $l \gtrsim l_g$

核力の効果が重要になる

- 直接反応 {
- 弾性散乱
  - 非弾性散乱
  - 核子移行反応
- } 準弾性散乱

多体系としてのダイナミクス

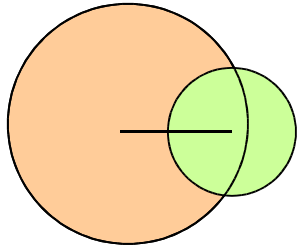


$l < l_g$ : 古典的に強吸収領域に到達

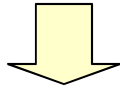
$l \geq l_g$ : 古典的には強吸収領域に到達できない

iii)  $l < l_g$

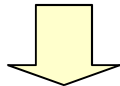
相対距離が小さく、従って密度の重なり  
が大きい領域に到達



- 高状態密度(複合系)
- 非常に多くの内部自由度



相対運動のエネルギーはすぐに  
失われ内部エネルギーに転化



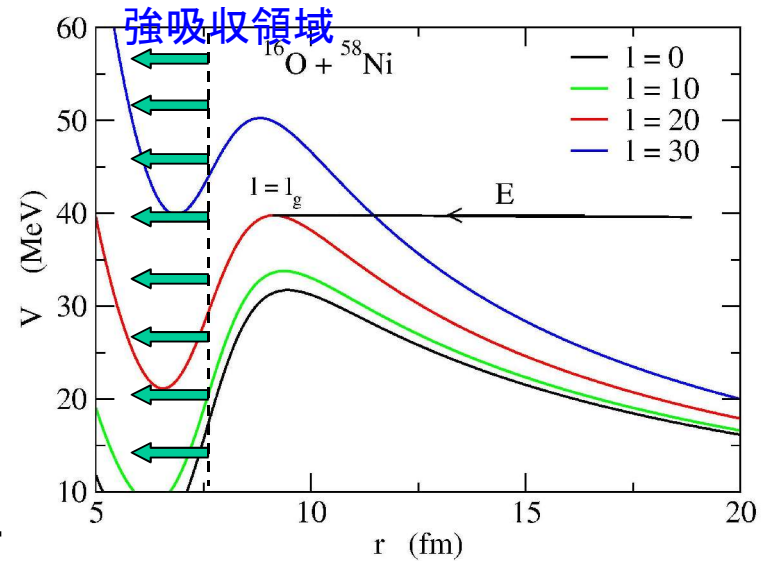
熱い複合核の形成(核融合反応)

iv)  $l_c < l_g$  となる場合

$l = l_c$  でクーロン・ポケットが消失

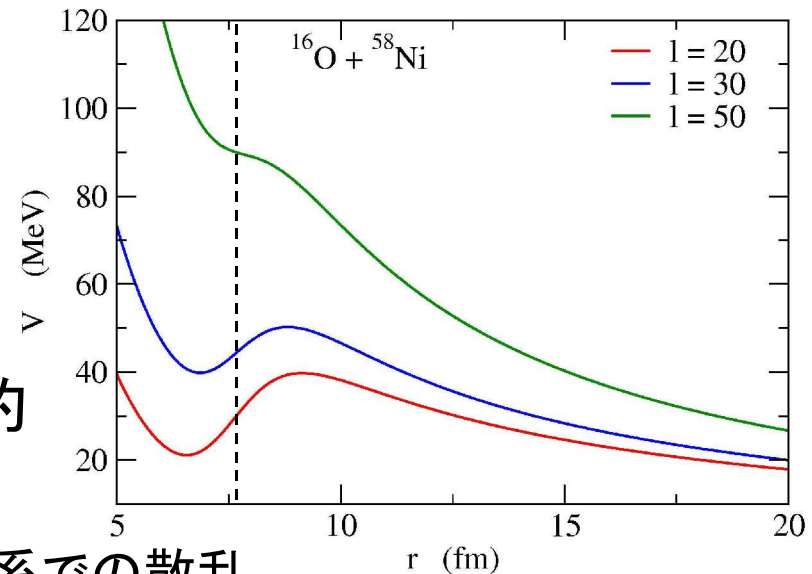
→ 直接反応と核融合反応の中間的  
な反応: 深部非弾性散乱 (DIC)

← 比較的高エネルギーでの散乱や重い系での散乱

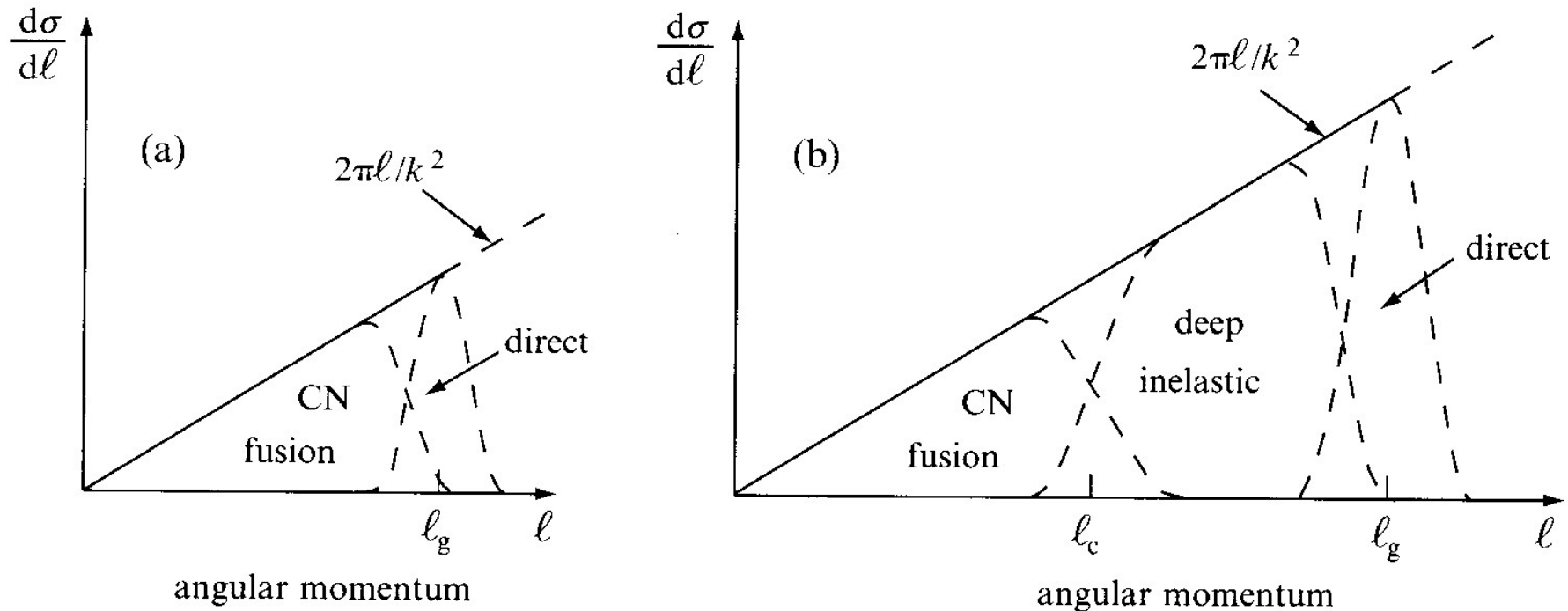


$l < l_g$ : 古典的に強吸収領域に到達

$l \geq l_g$ : 古典的には強吸収領域に到達できない



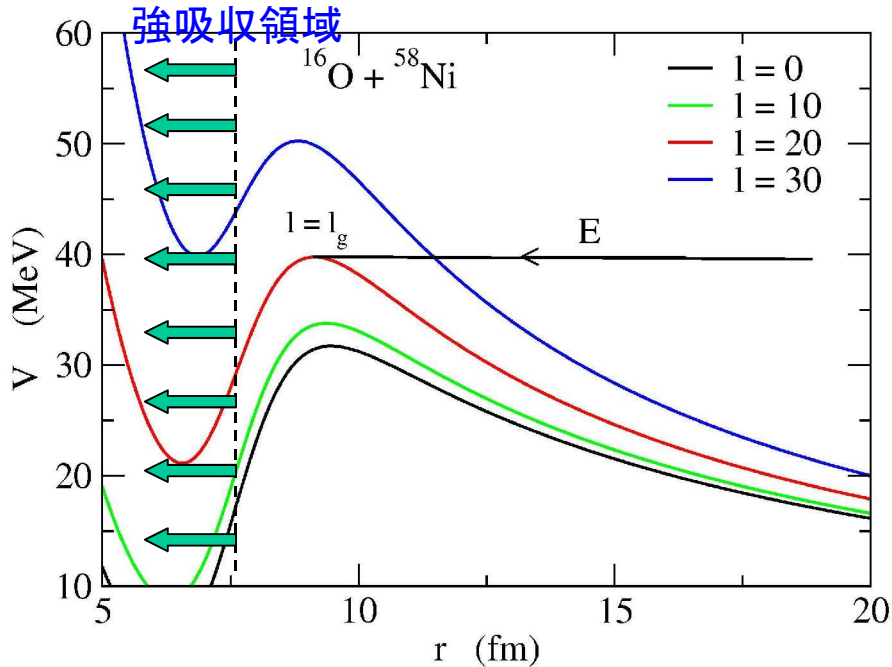
## Partial decomposition of reaction cross section



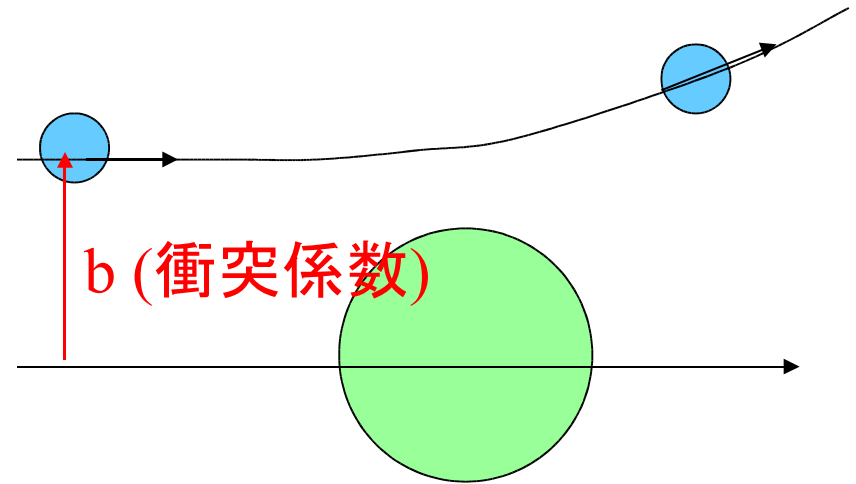
**Figure 4.18** Schematic decomposition of the total heavy-ion reaction cross section into contributions from different partial waves when (a) the grazing angular momentum (quantum number  $\ell_g$ ) is below the critical angular momentum (quantum number  $\ell_c$ ) that can be carried by the compound nucleus, and (b) when  $\ell_g$  exceeds  $\ell_c$ . In both (a) and (b) the straight line is obtained from Equation (4.3) and the dashed areas indicate regions in which different types of heavy-ion nuclear reaction mechanisms predominate.

Taken from J.S. Lilley,  
"Nuclear Physics"

# 核融合反応に対する古典的な模型



$l < l_g$  : 古典的に強吸収領域に到達

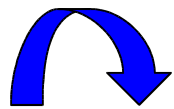


$$l_{cl} = kb \quad k = \sqrt{2\mu E/\hbar^2}$$

$$\Rightarrow b_g = l_b/k$$

$$V_b + \frac{(kb_g)^2 \hbar^2}{2\mu R_b^2} = E$$

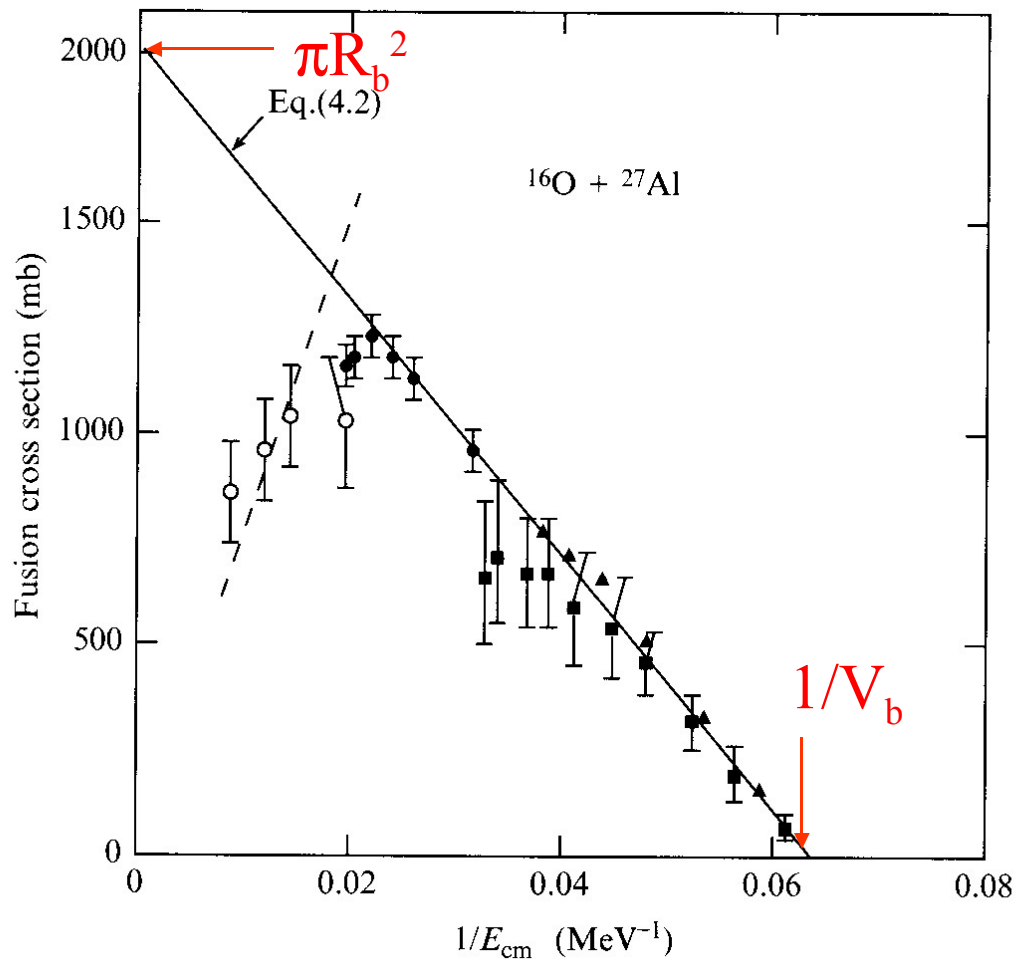
$$\sigma^{cl} = 2\pi \int_0^{b_g} b db = \pi b_g^2$$



$$\sigma_{fus}^{cl}(E) = \pi R_b^2 \left( 1 - \frac{V_b}{E} \right)$$

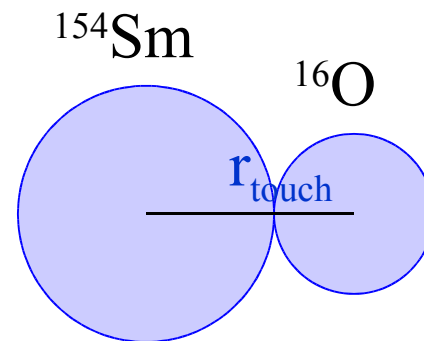
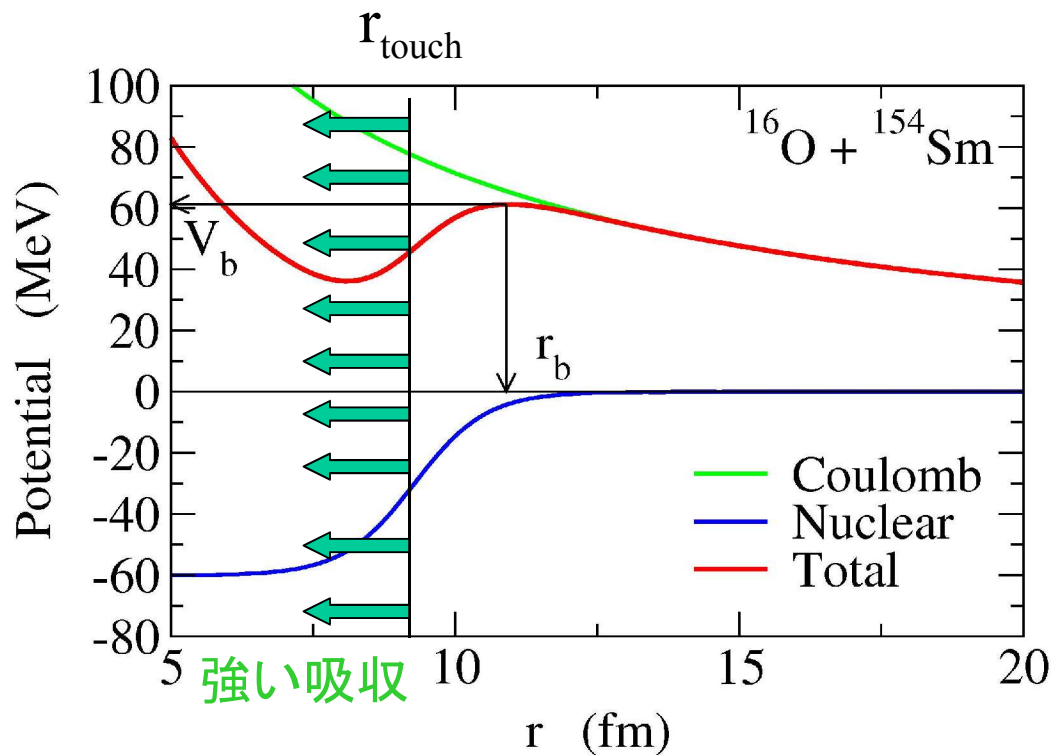
$$\sigma_{\text{fus}}^{\text{cl}}(E) = \pi R_b^2 \left(1 - \frac{V_b}{E}\right)$$

→ 古典的な核融合反応断面積は  $1/E$  に比例する



Taken from J.S. Lilley,  
"Nuclear Physics"

# 核融合反応と量子トンネル効果



一度接触すると自動的に複合核を形成(強吸収の仮定)



核融合の確率  
 $= r_{\text{touch}}$  に到達する確率

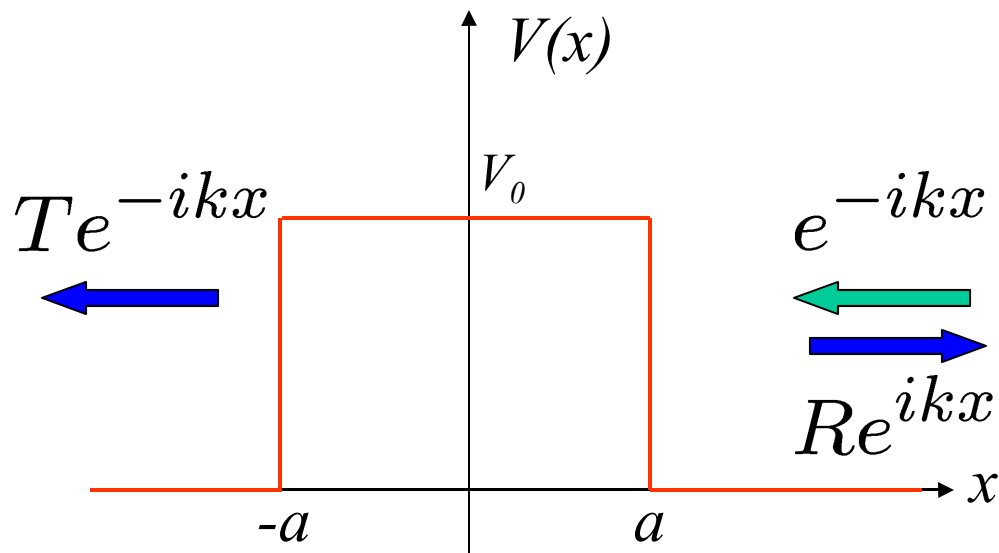


障壁の透過確率

$$\sigma_{\text{fus}}(E) = \frac{\pi}{k^2} \sum_l (2l + 1) P_l(E)$$

低エネルギーでは核融合反応はトンネル効果で起きる!

# 量子トンネル現象

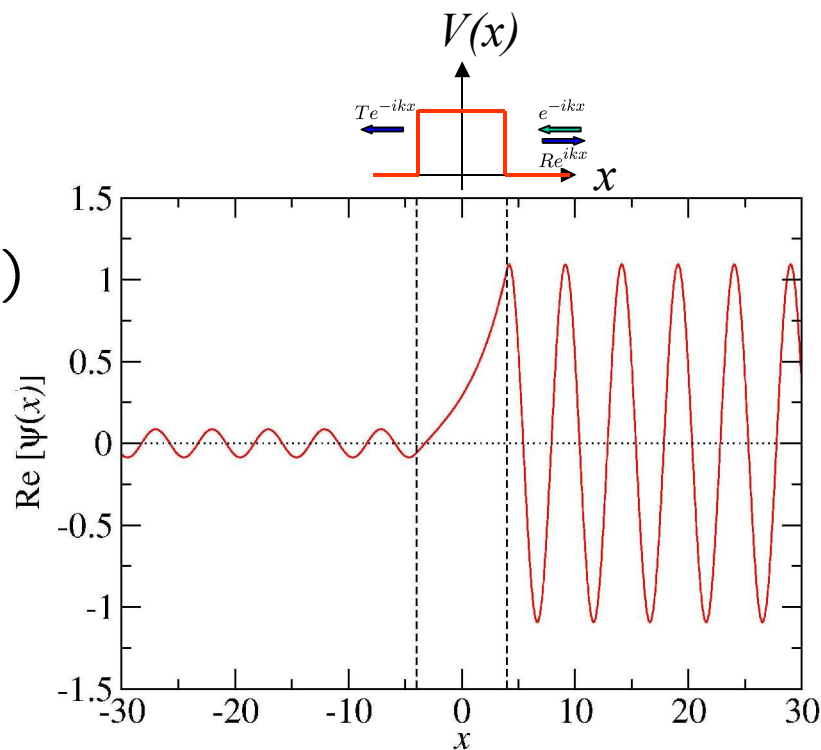


$$\begin{aligned} \psi(x) &= T e^{-ikx} & (x \leq -a) \\ &= A e^{-\kappa x} + B e^{\kappa x} & (-a < x < a) \\ &= e^{-ikx} + R e^{ikx} & (x \geq a) \end{aligned}$$

$$k = \sqrt{2mE/\hbar^2}$$

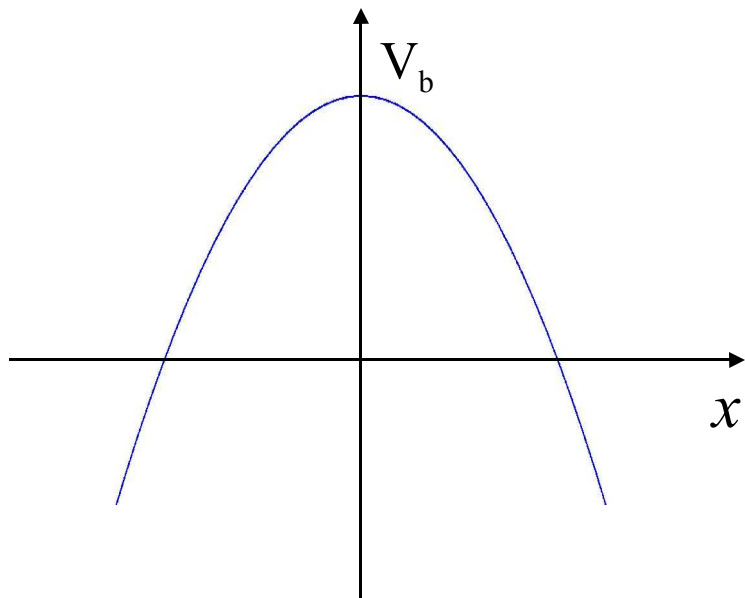
$$\kappa = \sqrt{2m(V_0 - E)/\hbar^2}$$

**トンネル確率:**  $P(E) = |T|^2$

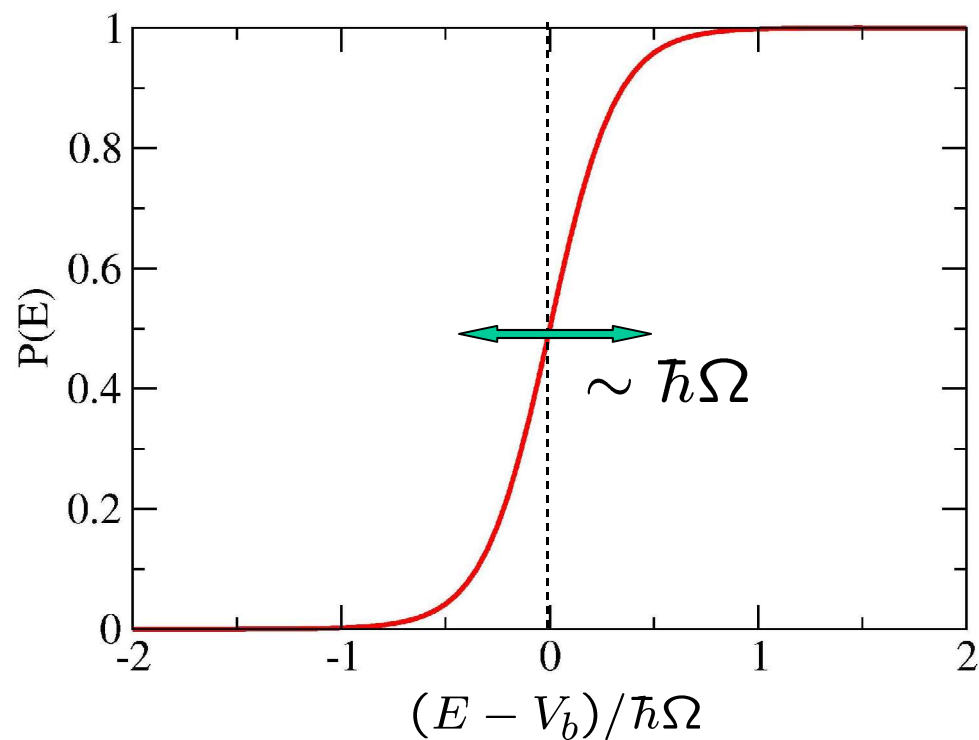


# 放物線障壁だと……..

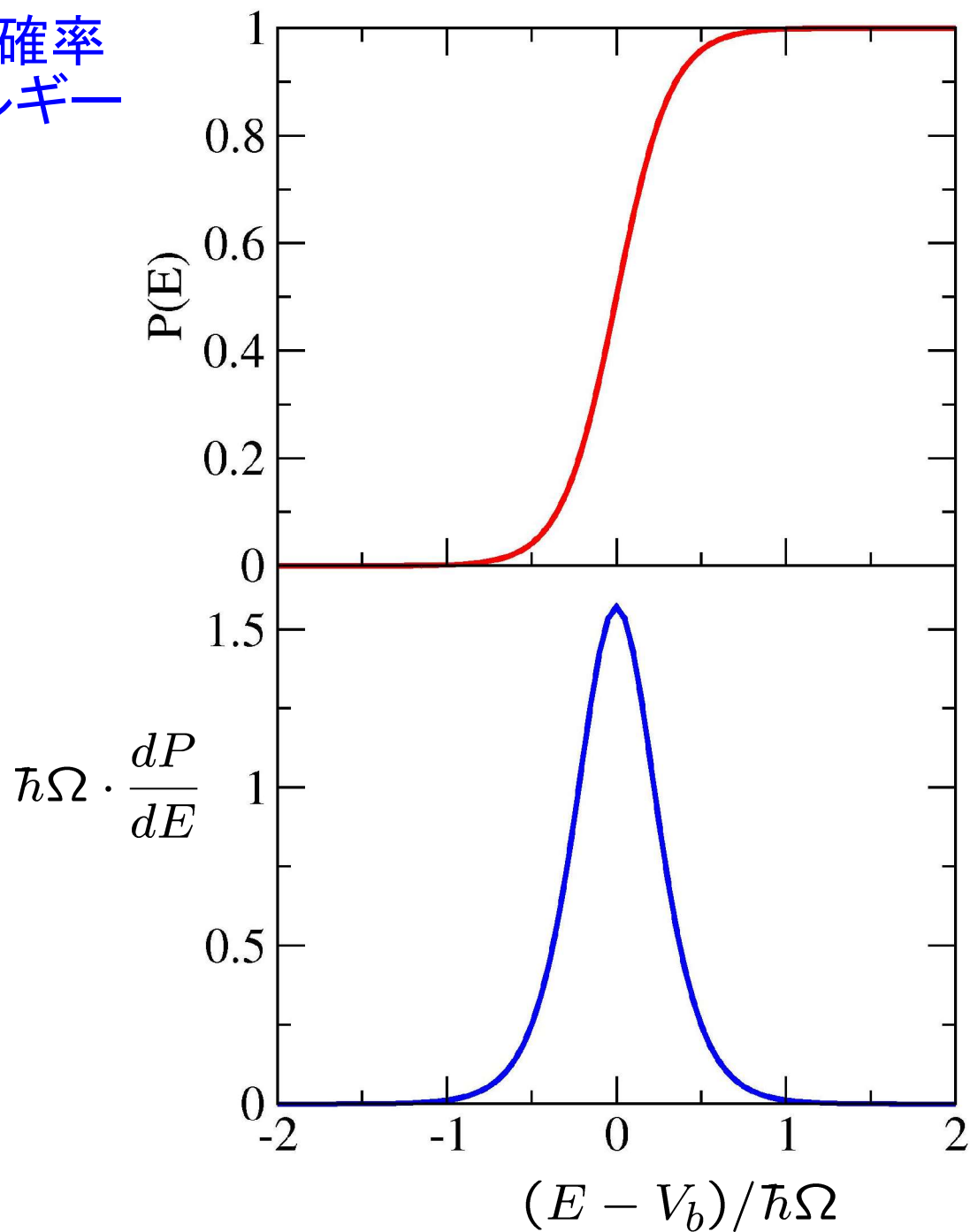
$$V(x) = V_b - \frac{1}{2}m\Omega^2 x^2$$



$$P(E) = \frac{1}{1 + \exp\left[\frac{2\pi}{\hbar\Omega}(V_b - E)\right]}$$



トンネル確率  
のエネルギー  
微分



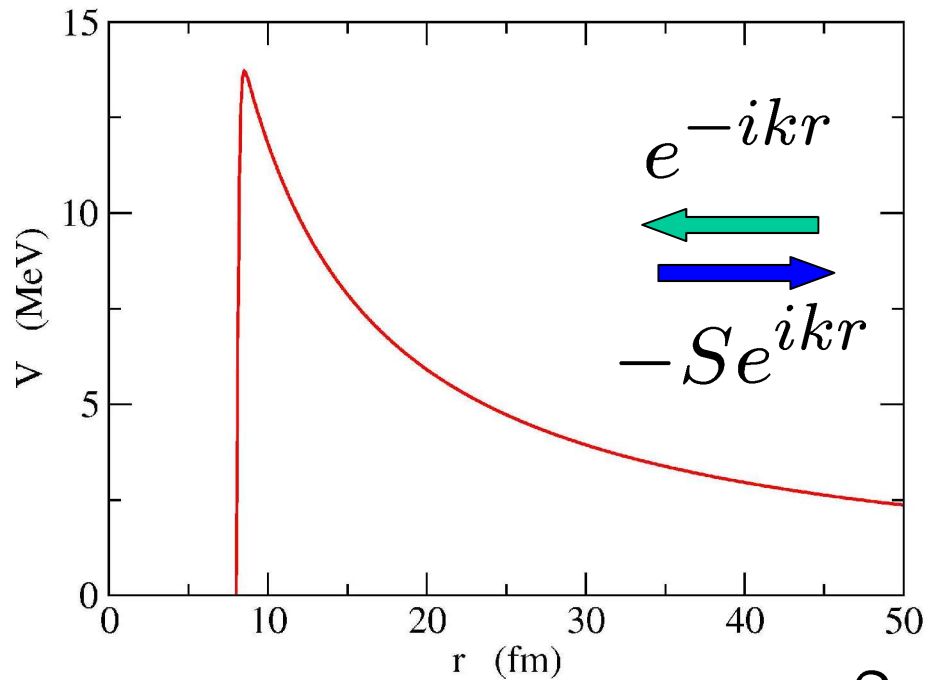
(note) 古典極限

$$P(E) = \theta(E - V_b)$$

$$dP/dE = \delta(E - V_b)$$

## 球対称 3次元ポテンシャルの場合

$$\psi(\mathbf{r}) \rightarrow \frac{i}{2k} \sum_l (2l + 1) i^l \frac{1}{r} \left[ e^{-i(kr - l\pi/2)} - S_l e^{i(kr - l\pi/2)} \right] P_l(\cos \theta)$$



$$-S_l \sim R \text{ (反射係数)} \quad \longrightarrow \quad P = |T|^2 = 1 - |S_l|^2$$

$$\sigma_{\text{abs}} = \frac{\pi}{k^2} \sum_l (2l + 1) (1 - |S_l|^2) = \frac{\pi}{k^2} \sum_l (2l + 1) P_l$$

# ポテンシャル模型：成功と失敗

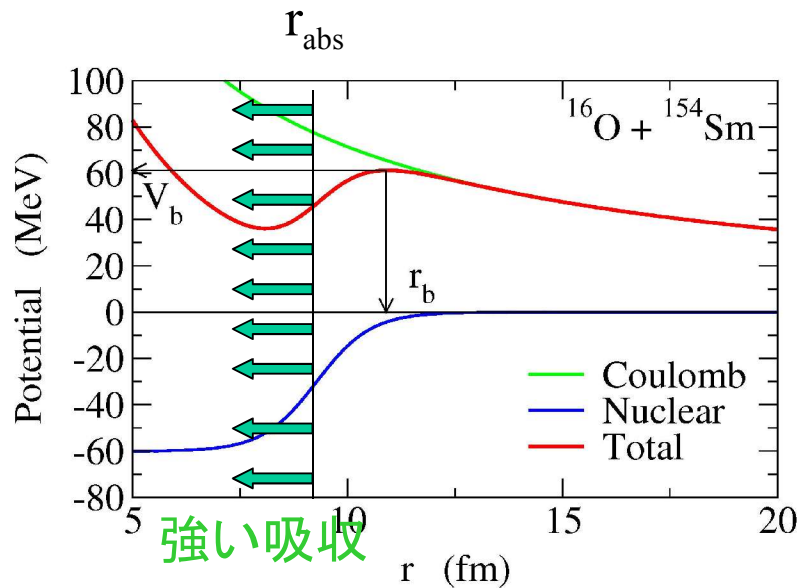
$$\left[ -\frac{\hbar^2}{2\mu} \frac{d^2}{dr^2} + V(r) + \frac{l(l+1)\hbar^2}{2\mu r^2} - E \right] u_l(r) = 0$$

遠方での境界条件:  $u_l(r) \rightarrow H_l^{(-)}(kr) - S_l H_l^{(+)}(kr)$

核融合反応断面積:  $\sigma_{\text{fus}} = \frac{\pi}{k^2} \sum_l (2l+1) P_l$

複合核の平均角運動量:  $\langle l \rangle = \frac{\sum_l l(2l+1) P_l}{\sum_l (2l+1) P_l}$

$$P_l = 1 - |S_l|^2$$



遠方での境界条件:  $u_l(r) \rightarrow H_l^{(-)}(kr) - S_l H_l^{(+)}(kr)$

核融合反応断面積:  $\sigma_{\text{fus}} = \frac{\pi}{k^2} \sum_l (2l+1) P_l$

内側での境界条件:

$$P_l = 1 - |S_l|^2$$

(i) 吸収ポテンシャルを使う場合

$$V(r) = V_R(r) - iW(r)$$

$$u_l(r) \sim r^{l+1}$$

(ii) IWBC

$W$  が非常に大きい極限

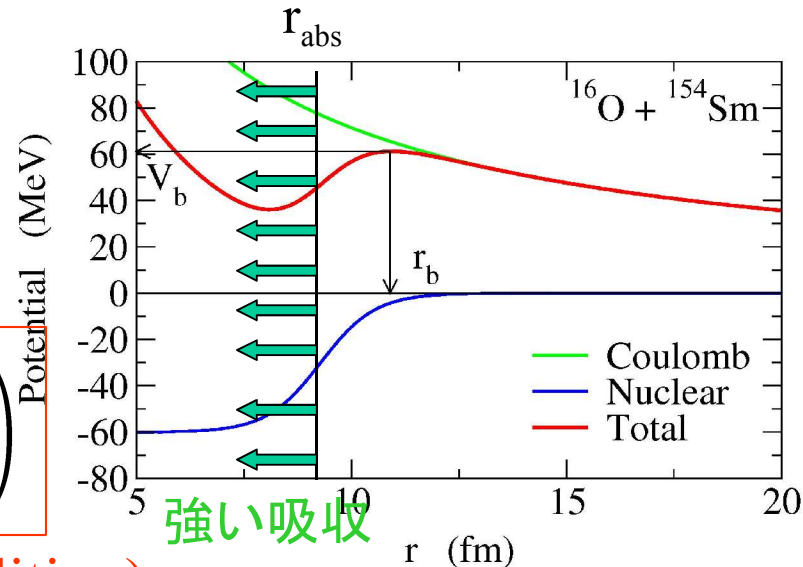
$$u_l(r) = T_l \exp\left(-i \int_{r_{\text{abs}}}^r k_l(r') dr'\right)$$

(Incoming Wave Boundary Condition)

$$k_l(r) = \sqrt{2\mu/\hbar^2 [E - V_R(r) - l(l+1)\hbar^2/2\mu r^2]}$$

• Real Potential のみ必要 (Imaginary part は不要)

•  $P_l = |T_l|^2$



# Wong の公式

C.Y. Wong, Phys. Rev. Lett. 31 ('73)766

$$\sigma_{\text{fus}}(E) = \frac{\pi}{k^2} \sum_l (2l + 1) P_l(E)$$

i) クーロン障壁を放物線で近似  $V(r) \sim V_b - \frac{1}{2}\mu\Omega^2 r^2$

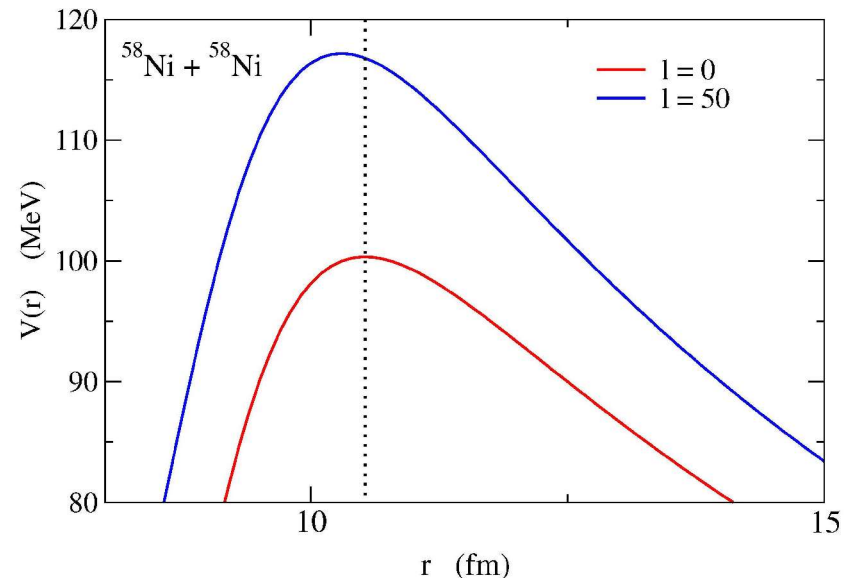
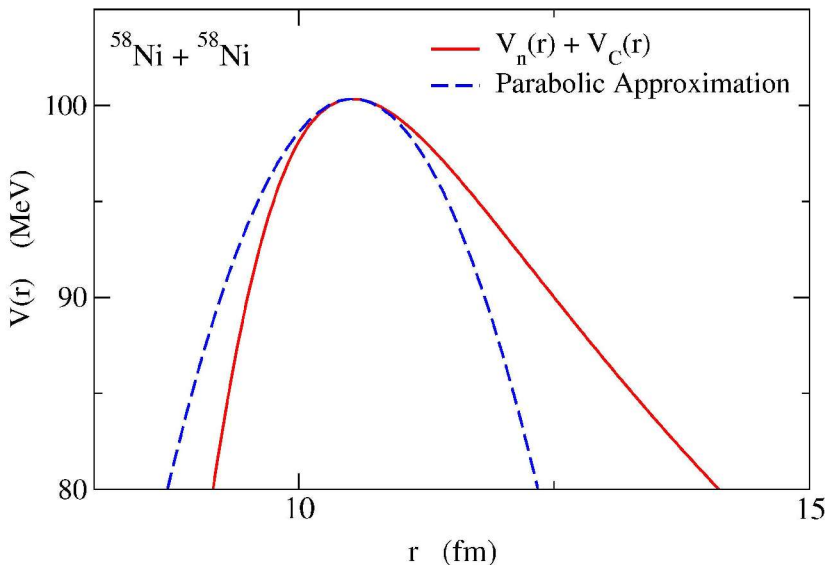
→  $P_0(E) = 1 / \left( 1 + \exp \left[ \frac{2\pi}{\hbar\Omega} (V_b - E) \right] \right)$

ii) 角運動量  $l$  の透過確率を角運動量  $l=0$  の透過確率を用いて近似

$$P_l(E) \sim P_0 \left( E - \frac{l(l+1)\hbar^2}{2\mu R_b^2} \right)$$

(曲率及び障壁の位置が角運動量  $l$  に依らないと仮定)

iii)  $l$  の和を積分に置き換える





$$\sigma_{\text{fus}}(E) = \frac{\hbar\Omega}{2E} R_b^2 \log \left[ 1 + \exp \left( \frac{2\pi}{\hbar\Omega} (E - V_b) \right) \right]$$

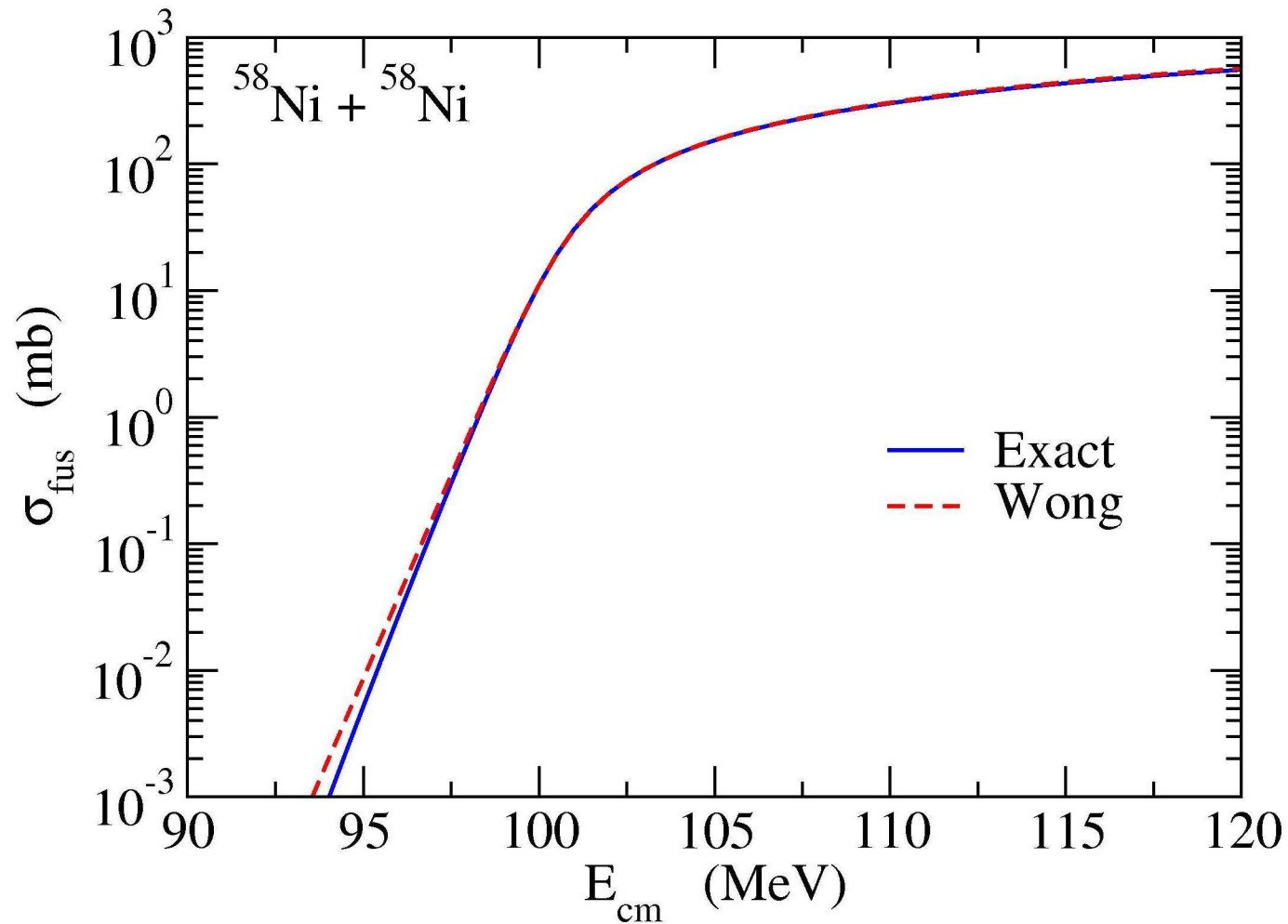
(note)  $E \gg V_b$  の時  $1 \ll \exp \left( \frac{2\pi}{\hbar\Omega} (E - V_b) \right)$

$$\implies \sigma_{\text{fus}}(E) \sim \pi R_b^2 \left( 1 - \frac{V_b}{E} \right) = \sigma_{\text{fus}}^{\text{cl}}(E)$$

(note)

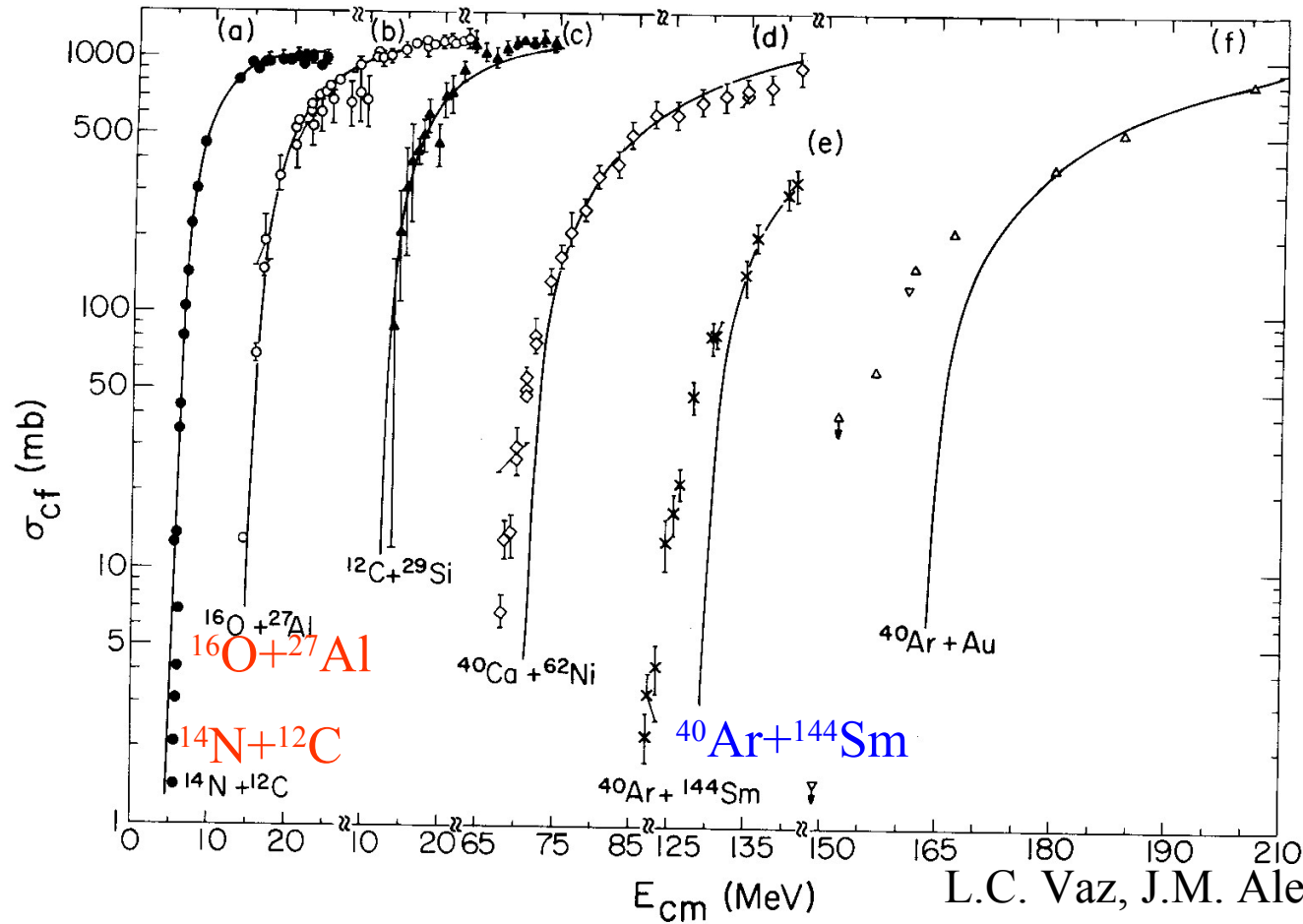
$$\frac{d(E\sigma_{\text{fus}})}{dE} = \frac{\pi R_b^2}{1 + \exp \left[ \frac{2\pi}{\hbar\Omega} (V_b - E) \right]} = \pi R_b^2 \cdot P_{l=0}(E)$$

$$\sigma_{\text{fus}}(E) = \frac{\hbar\Omega}{2E} R_b^2 \log \left[ 1 + \exp \left( \frac{2\pi}{\hbar\Omega} (E - V_b) \right) \right]$$



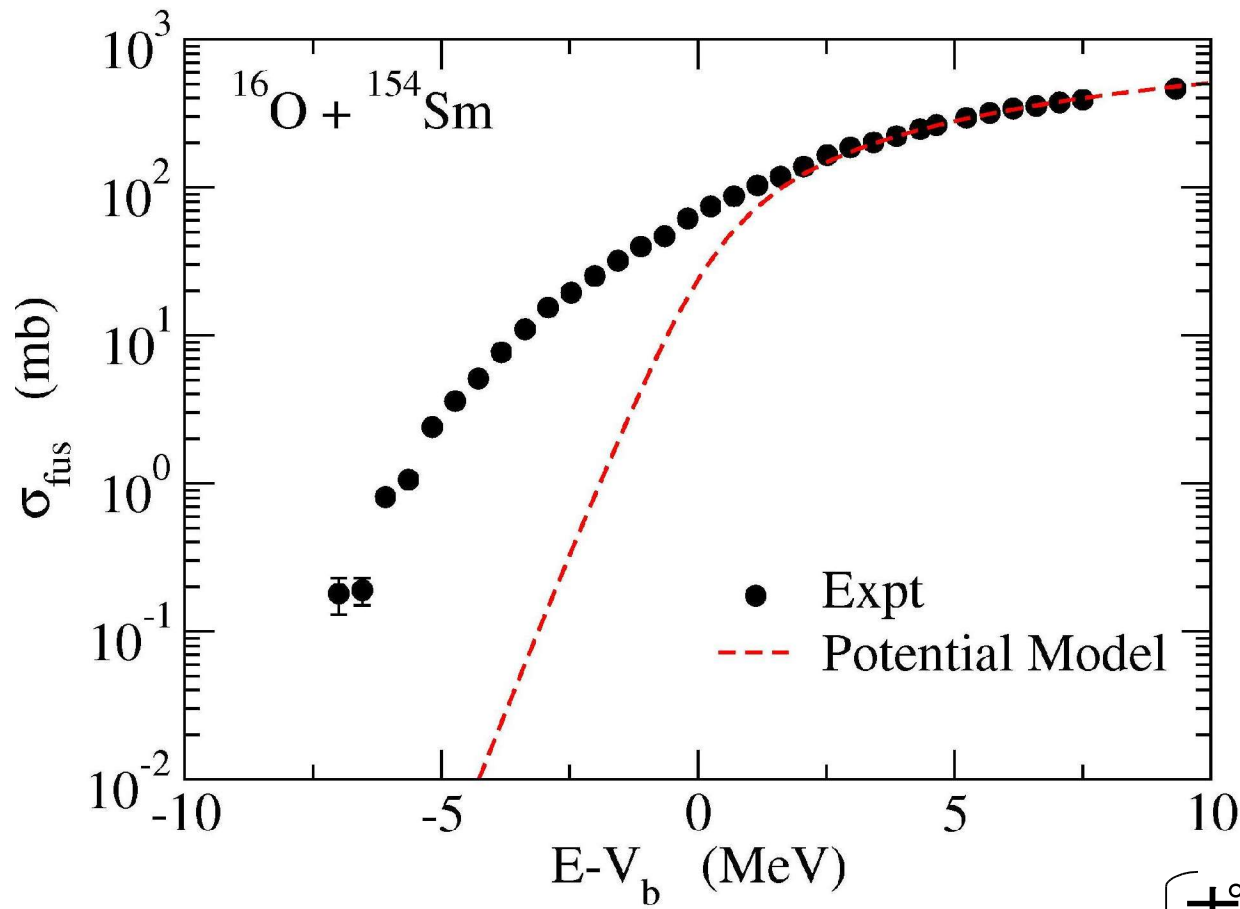
# ポテンシャル模型と実験データの比較

エネルギーに依存しない静的なポテンシャルによる核融合反応断面積



L.C. Vaz, J.M. Alexander, and  
G.R. Satchler, Phys. Rep. 69('81)373

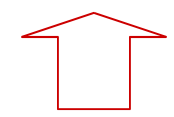
- 比較的軽い系では実験データを再現
- 系が重くなると過小評価(低エネルギー)



ポテンシャル模型:

$E > V_b$  では大体データを再現

$E < V_b$  では核融合断面積を過小に評価



何が原因?

{ ポテンシャルが不十分?  
他の要因?

# Potential Inversion

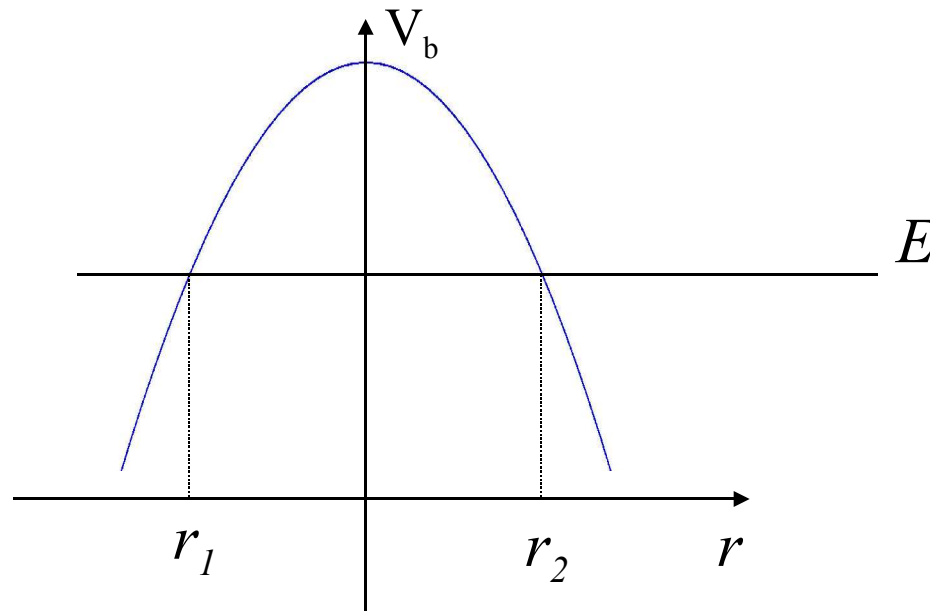
$$P_0(E) = \frac{1}{\pi R_b^2} \frac{d(E\sigma_{\text{fus}})}{dE}$$

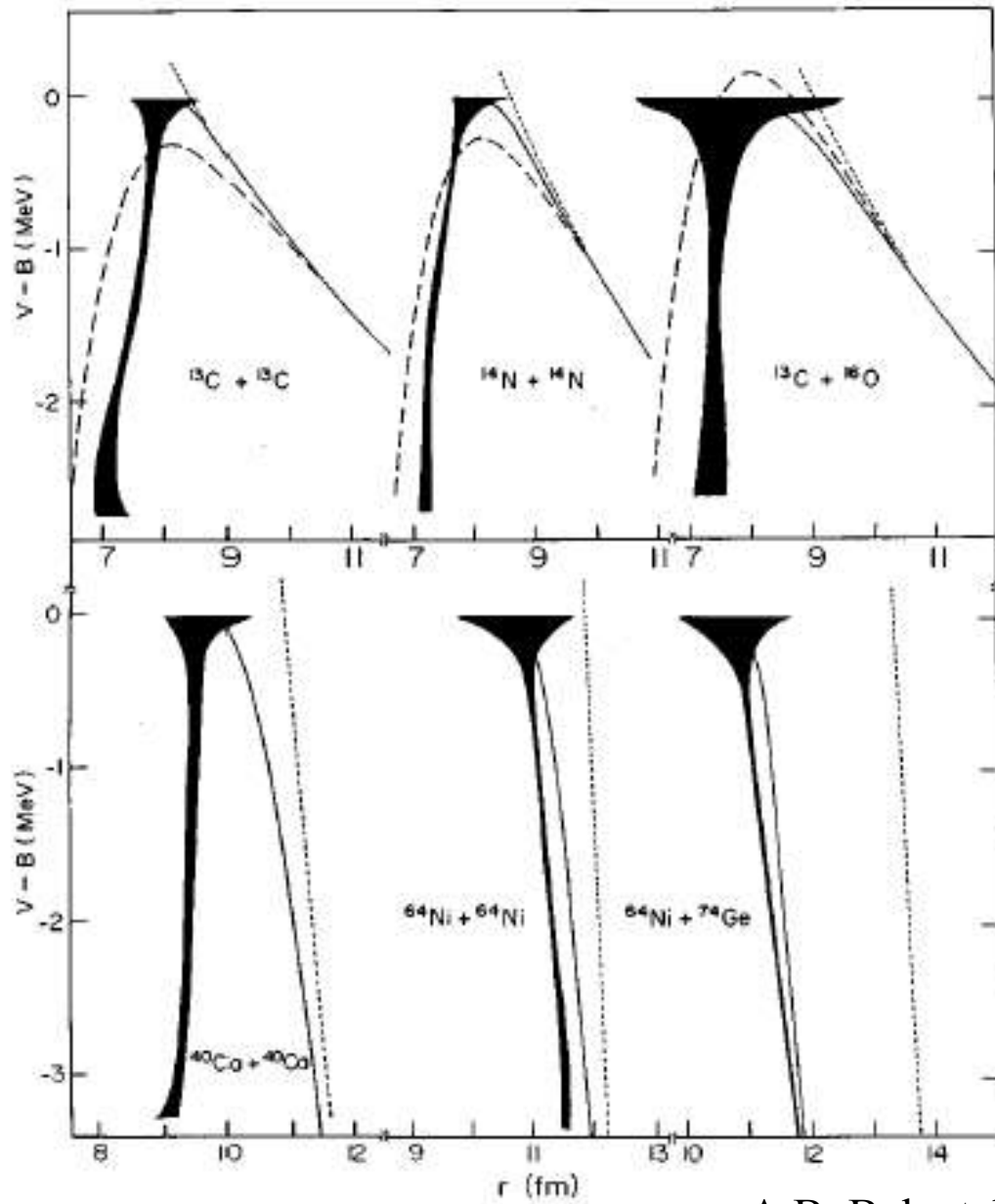
(note)

$$P_0(E) = 1/[1 + S_0(E)], \quad S_0(E) = \int_{r_1}^{r_2} dr \sqrt{\frac{2\mu}{\hbar^2}(V(r) - E)}$$



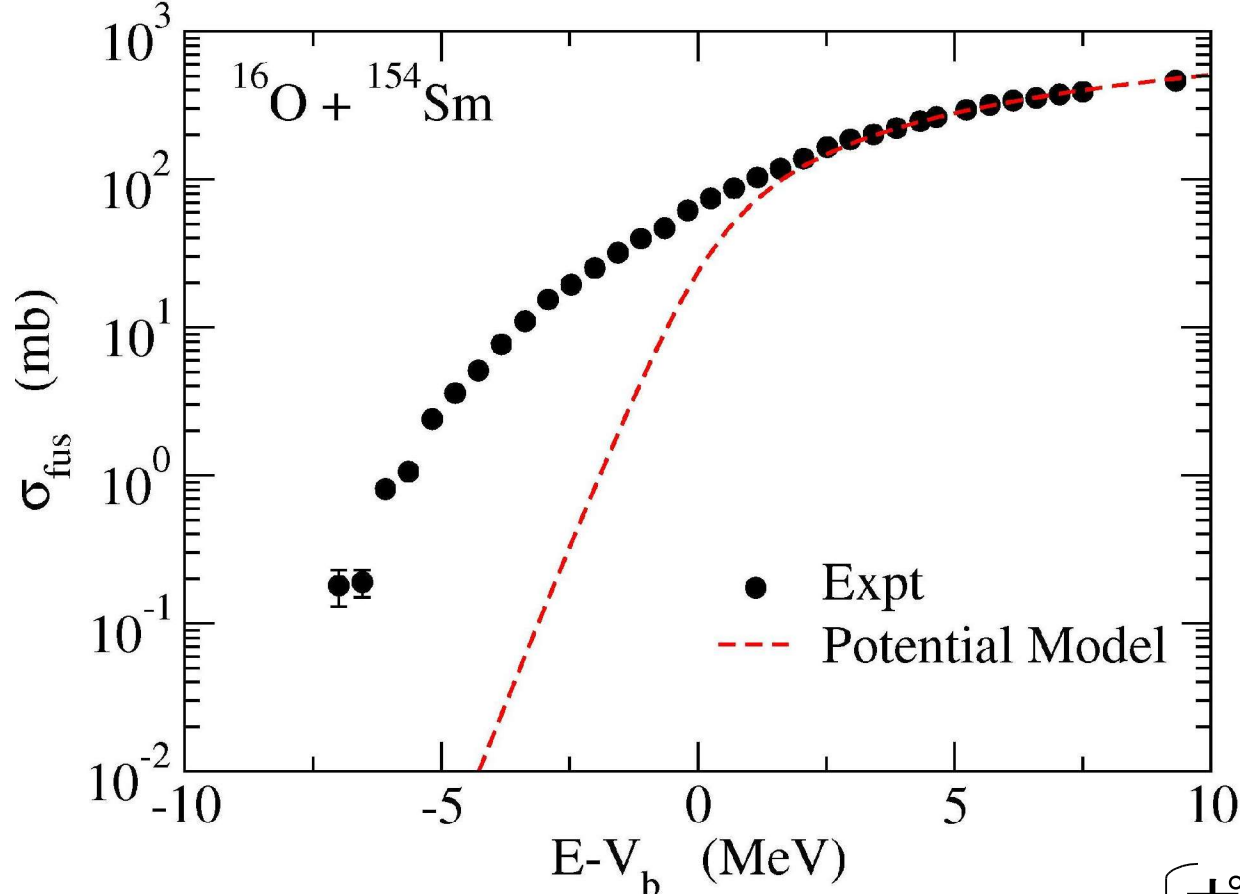
$$t(E) \equiv r_2 - r_1 = -\frac{2}{\pi} \sqrt{\frac{\hbar^2}{2\mu}} \int_E^{V_b} \frac{\frac{dS_0(E')}{dE'}}{\sqrt{E' - E}} dE'$$





A.B. Balantekin, S.E. Koonin, and J.W. Negele, PRC28('83)1565

# エネルギーに依存しない静的なポテンシャルによる核融合反応断面積



$E > V_b$  では大体データを再現

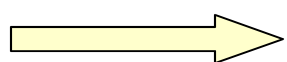
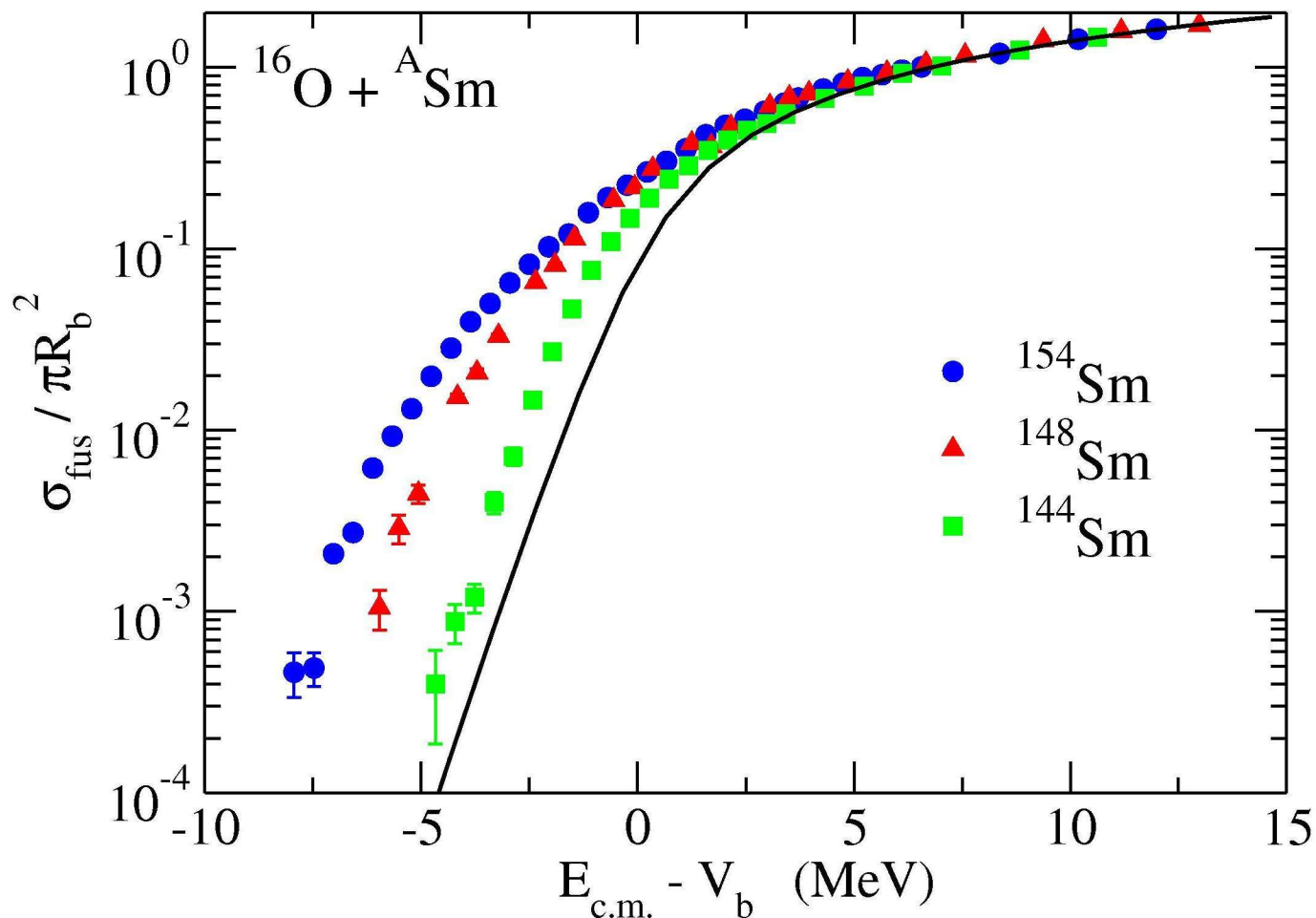
$E < V_b$  では核融合断面積を過小に評価



何が原因？

~~ポテンシャルが不十分？~~  
他の要因？

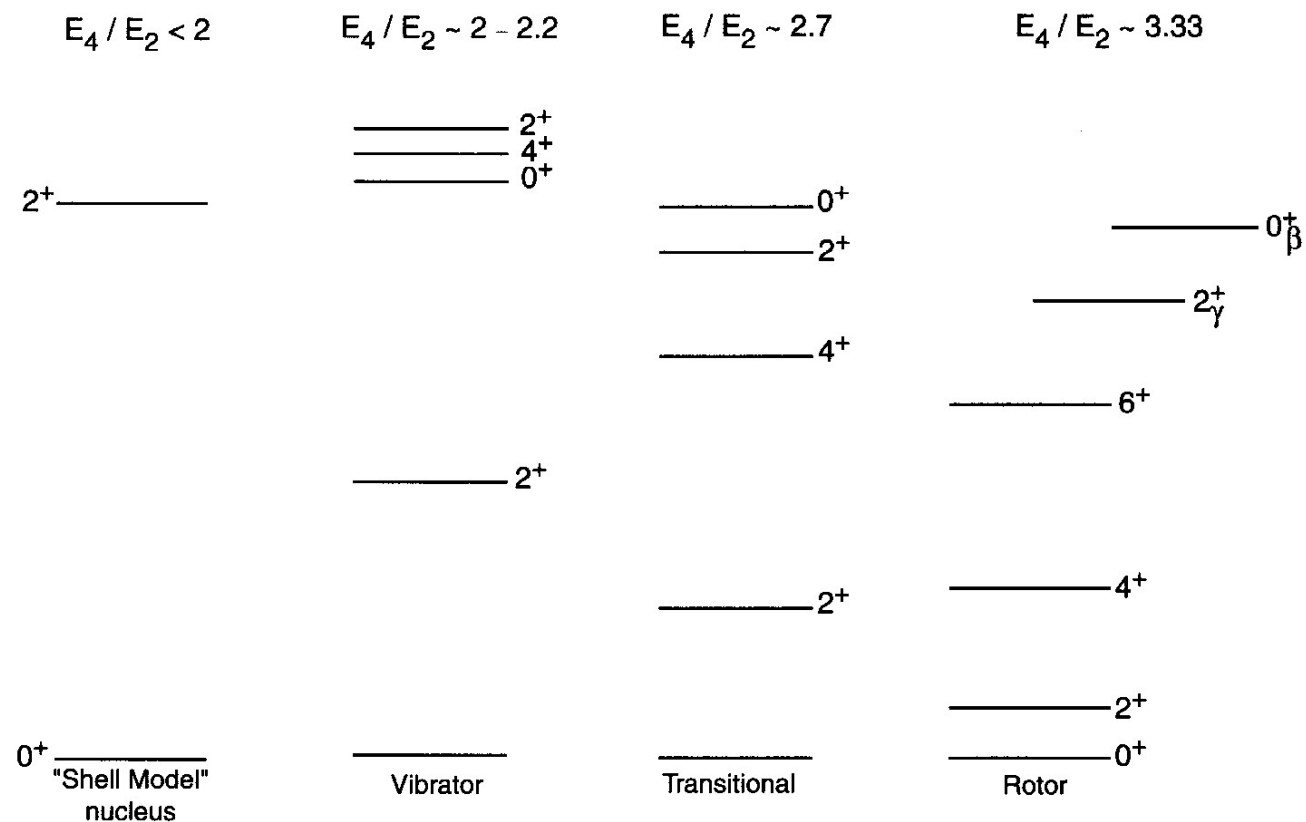
# 核融合断面積の標的核依存性



$E < V_b$  において強い標的核依存性

# 原子核の低励起集団運動

偶々核の低エネルギーに現れる励起状態は集団励起状態であり、対相関と殻構造を強く反映する。



SCHEMATIC EVOLUTION OF STRUCTURE  
NEAR CLOSED - SHELL → MID SHELL

Taken from R.F. Casten,  
"Nuclear Structure from a  
Simple Perspective"

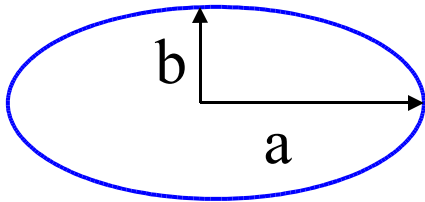


# 振動励起状態

Bethe-Weizacker formula: Liquid-drop model に基づく質量公式

(A, Z) 
$$B(N, Z) = a_v A - a_s A^{2/3} - a_C \frac{Z^2}{A^{1/3}} - a_{\text{sym}} \frac{(N - Z)^2}{A}$$

→ 変形すると



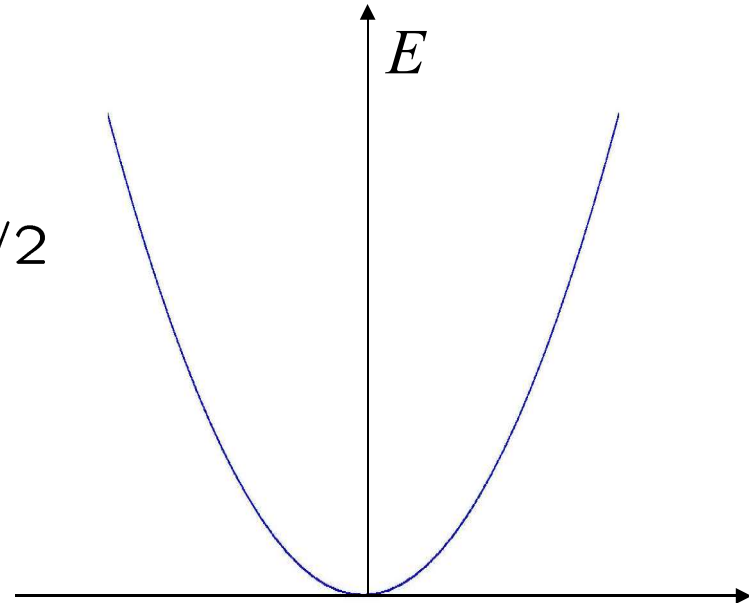
$$a = R \cdot (1 + \epsilon)$$

$$b = R \cdot (1 + \epsilon)^{-1/2}$$

↻

$$E_{\text{surf}} = E_{\text{surf}}^{(0)} (1 + 2\epsilon^2/5 + \dots)$$

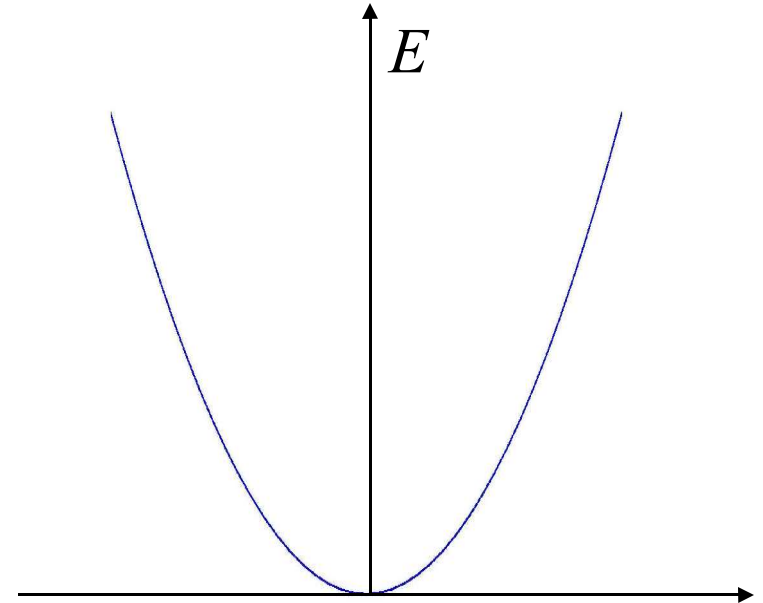
$$E_C = E_C^{(0)} (1 - \epsilon^2/5 + \dots)$$



一般に  $R(\theta, \phi) = R_0 \left( 1 + \sum_{\lambda, \mu} \alpha_{\lambda\mu} Y_{\lambda\mu}^* \right)$

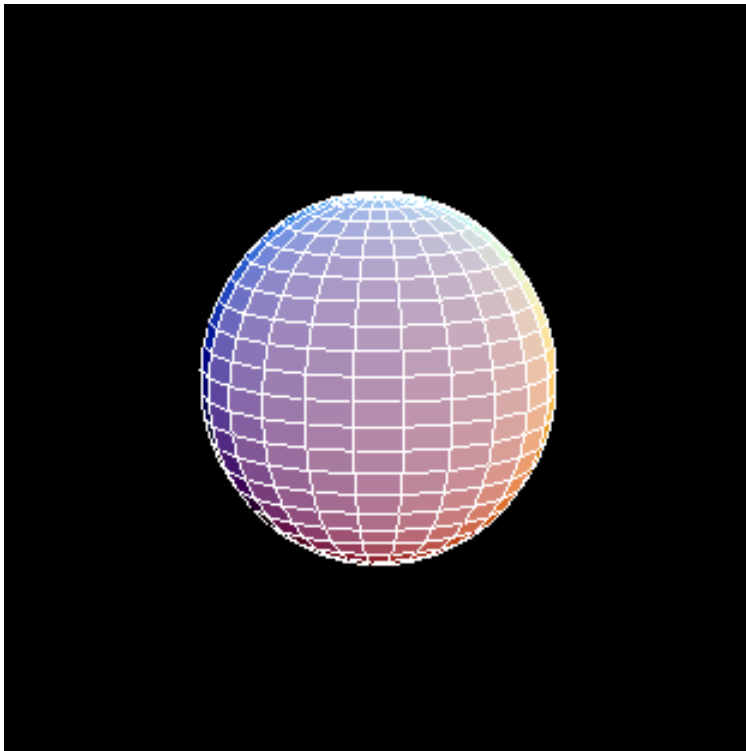
$V = \frac{1}{2} \sum_{\lambda, \mu} C_{\lambda} |\alpha_{\lambda\mu}|^2$

調和振動子型の運動



$\lambda=2$ : Quadrupole vibration

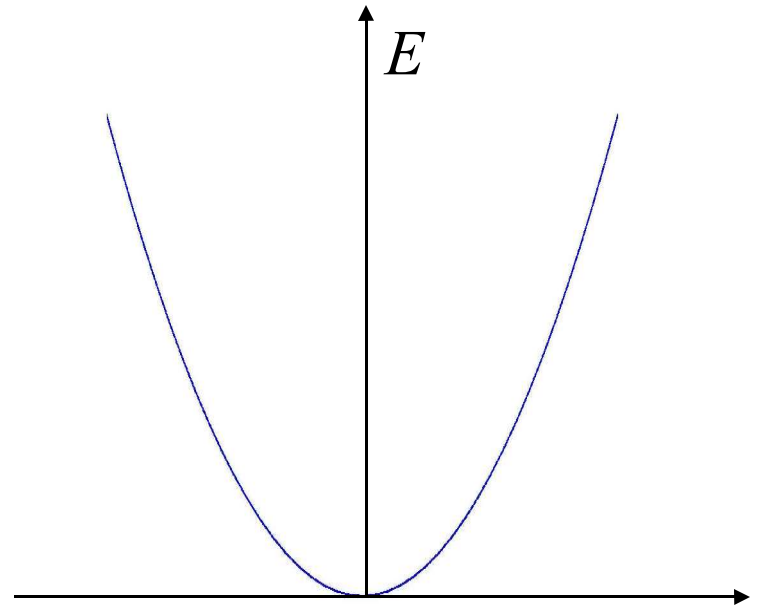
ムービー: 在田謙一郎氏 (名工大)  
<http://www.phys.nitech.ac.jp/~arita/>



一般に  $R(\theta, \phi) = R_0 \left( 1 + \sum_{\lambda, \mu} \alpha_{\lambda\mu} Y_{\lambda\mu}^* \right)$

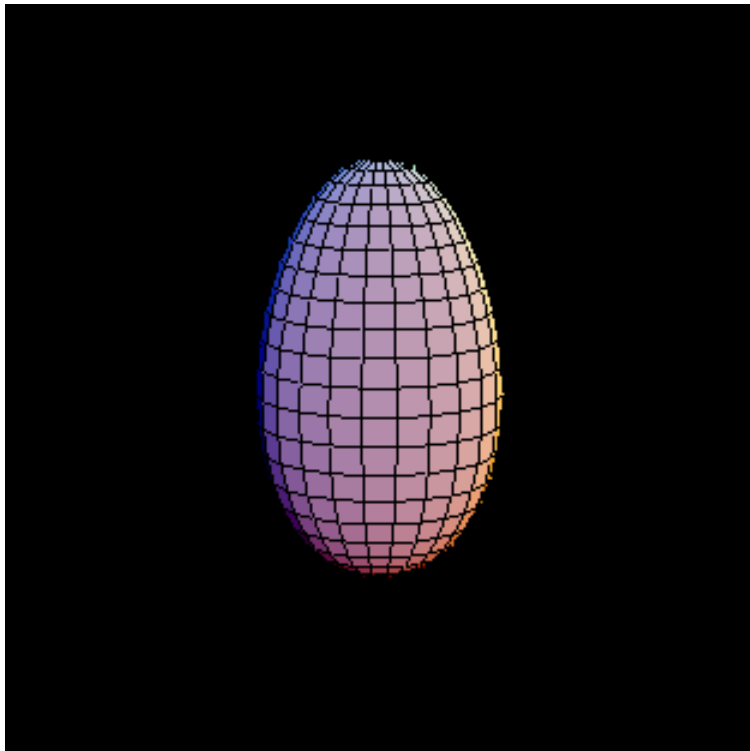
$V = \frac{1}{2} \sum_{\lambda, \mu} C_{\lambda} |\alpha_{\lambda\mu}|^2$

調和振動子型の運動



$\lambda=3$ : Octupole vibration

ムービー: 在田謙一郎氏 (名工大)  
<http://www.phys.nitech.ac.jp/~arita/>



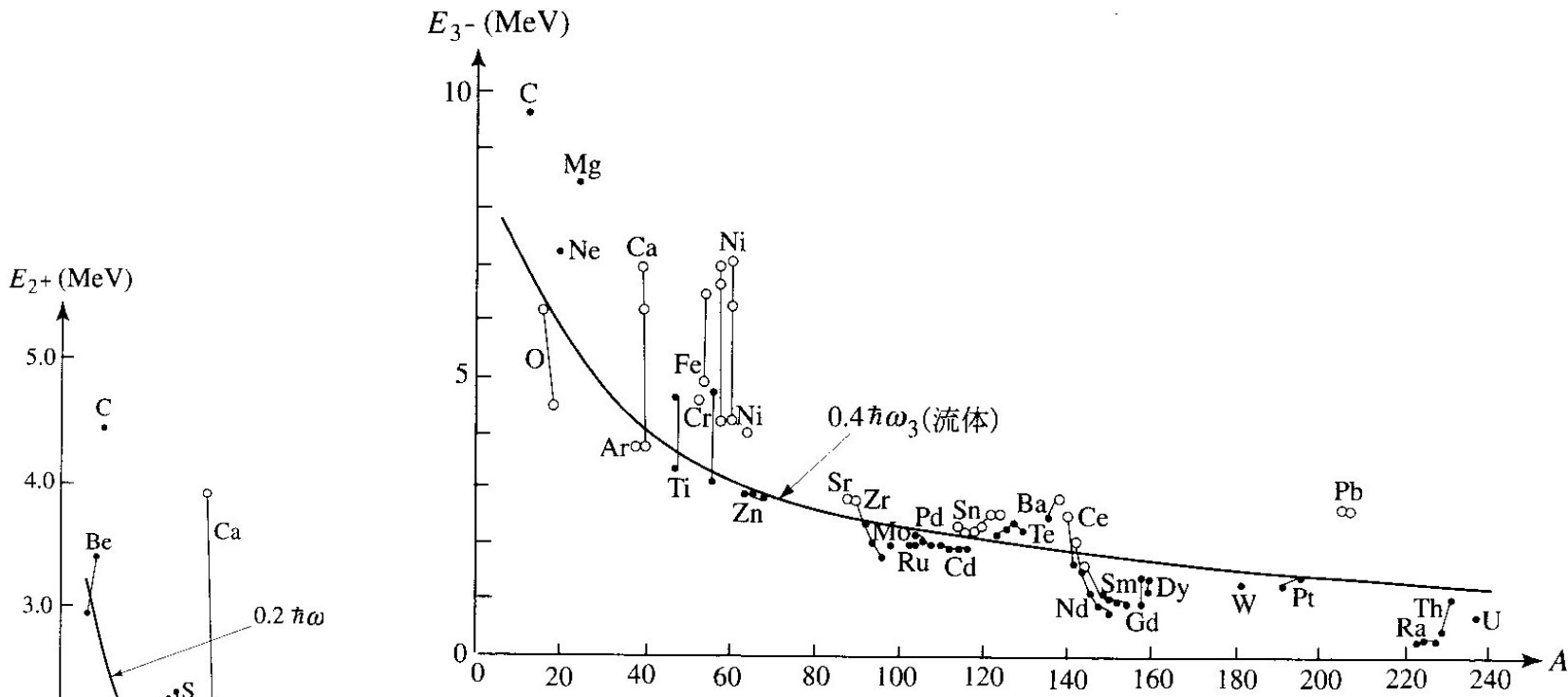


図 3.3 偶々核の第 1 励起  $3^-$  状態の励起エネルギー

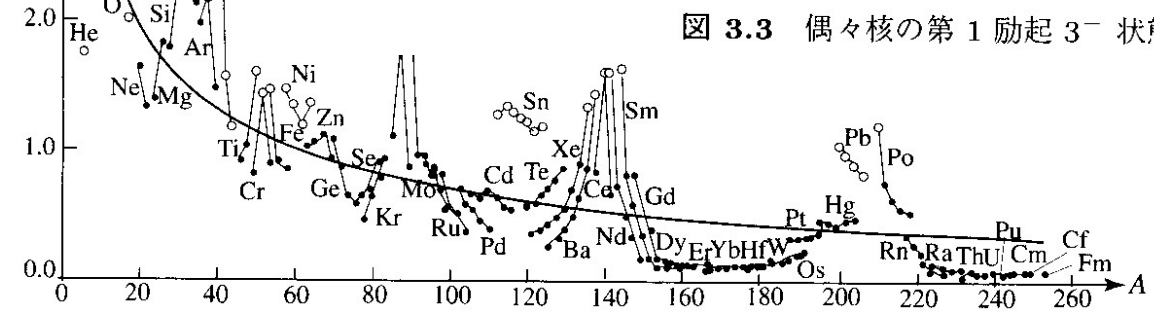


図 3.2 偶々核の第 1 励起  $2^+$  状態の励起エネルギー

図: 高田、池田  
「原子核構造論」より

### Double phonon states

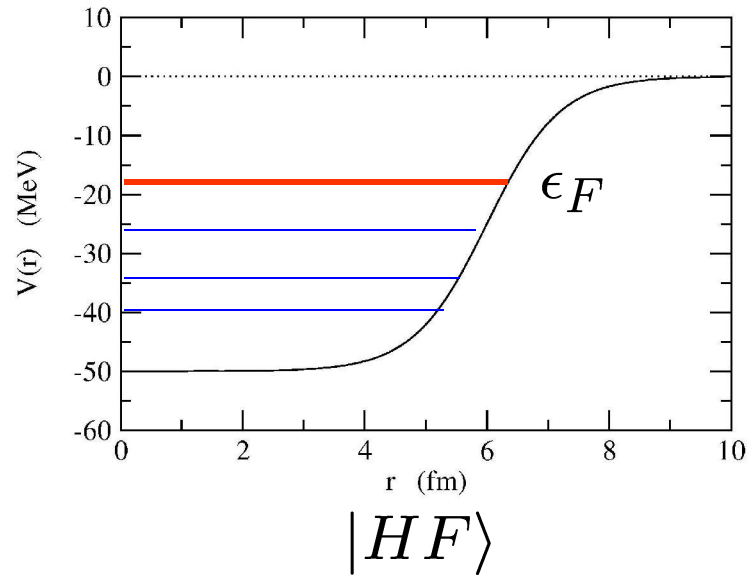
|       |       |                   |
|-------|-------|-------------------|
| $4^+$ | _____ | 1.282 MeV         |
| $2^+$ | _____ | 1.208 MeV         |
| $0^+$ | _____ | 1.133 MeV         |
|       |       |                   |
| $2^+$ | _____ | 0.558 MeV         |
|       |       |                   |
| $0^+$ | _____ |                   |
|       |       | $^{114}\text{Cd}$ |

Microscopic description

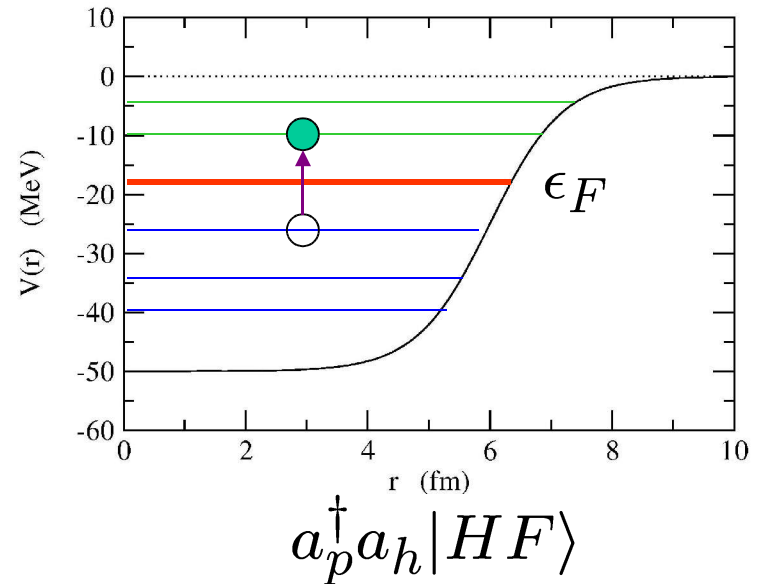
⇒ Random phase approximation (RPA)

# Random Phase Approximation

## Hartree-Fock state



## 1 particle-1 hole (1p1h) state



$$|\text{vib}\rangle = Q^\dagger |0\rangle = \sum_{ph} \left( X_{ph} a_p^\dagger a_h - Y_{ph} a_h^\dagger a_p \right) |0\rangle$$

(coherent superposition of 1p1h states)

$\longrightarrow$   $[H, Q^\dagger] \approx \hbar\omega Q^\dagger$

# 回転励起状態

## ●殻エネルギー

$$B(N, Z) = B_{\text{macro}}(N, Z) + B_{\text{micro}}(N, Z)$$

### ●Smooth part

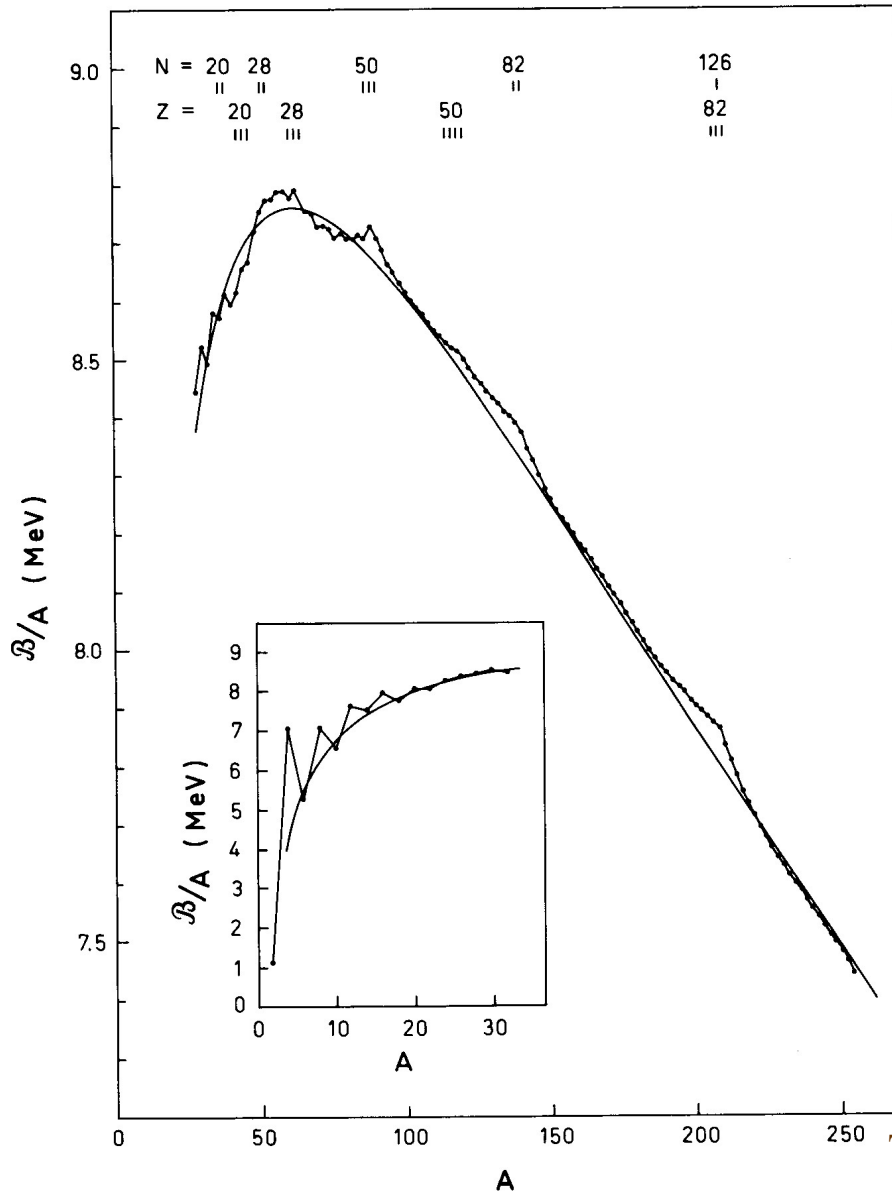
$$B_{\text{macro}}(N, Z) = a_v A - a_s A^{2/3} - a_C \frac{Z^2}{A^{1/3}} - a_{\text{sym}} \frac{(N - Z)^2}{A}$$

### ●Fluctuation part

$$B_{\text{micro}} = B_{\text{pair}} + B_{\text{shell}}$$

Liquid drop model:

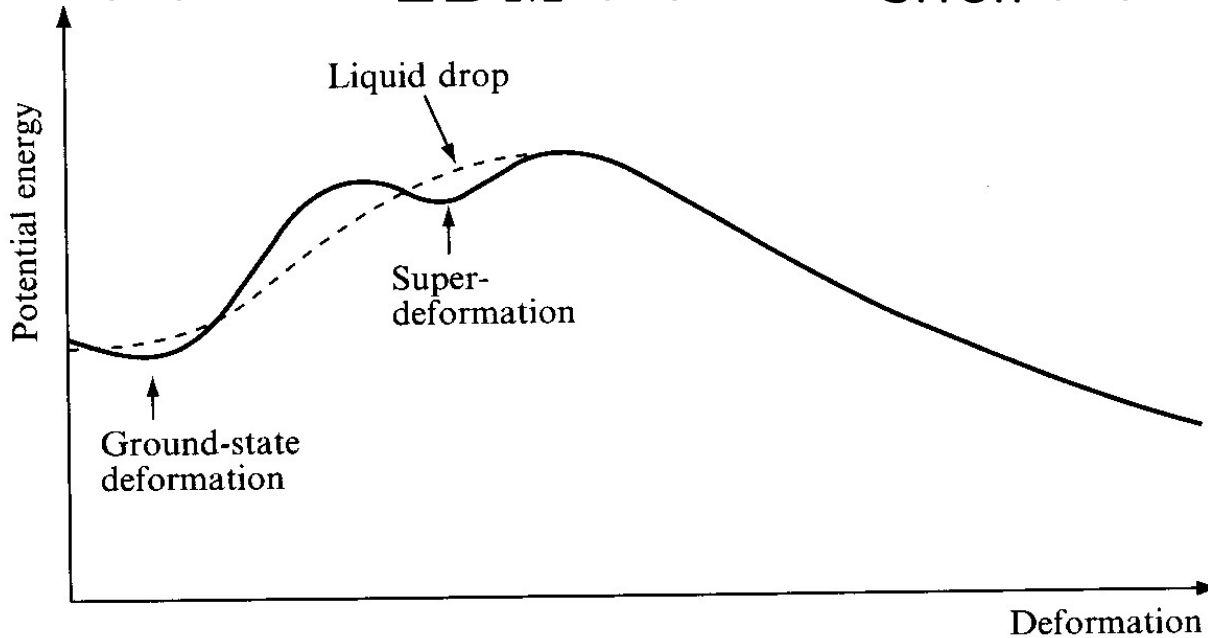
$$B_{\text{LDM}} = B_{\text{macro}} + B_{\text{pair}}$$



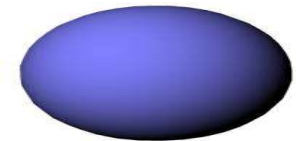
Taken from Bohr-Mottelson

Deformed energy surface for a given nucleus

$$E(\beta) = E_{LDM}(\beta) + E_{shell}(\beta)$$

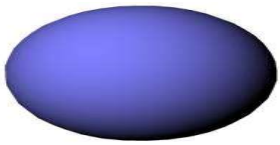


Taken from J.S. Lilley,  
"Nuclear Physics"

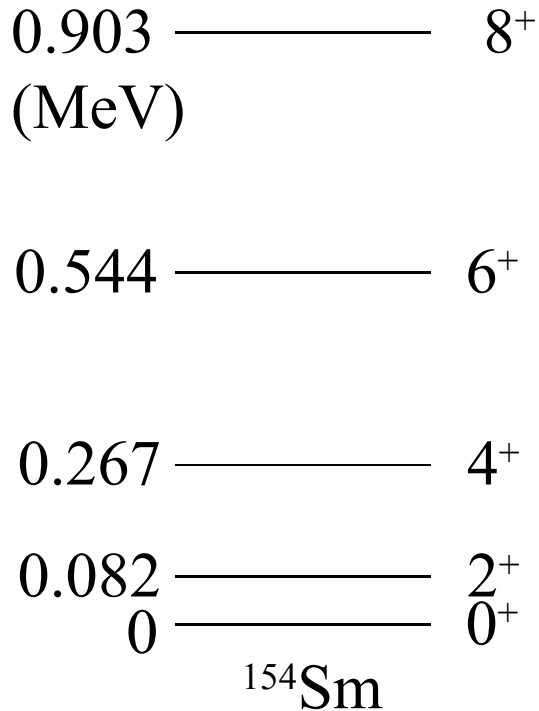


LDM only  $\longrightarrow$  always spherical ground state  
Shell correction  $\longrightarrow$  may lead to a **deformed g.s.**

\* Spontaneous Symmetry Breaking



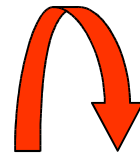
# <sup>154</sup>Sm の励起スペクトル



Cf. 剛体の回転エネルギー(古典力学)

$$E = \frac{1}{2} \mathcal{J} \omega^2 = \frac{I^2}{2\mathcal{J}}$$

$$(I = \mathcal{J} \omega, \omega = \dot{\theta})$$



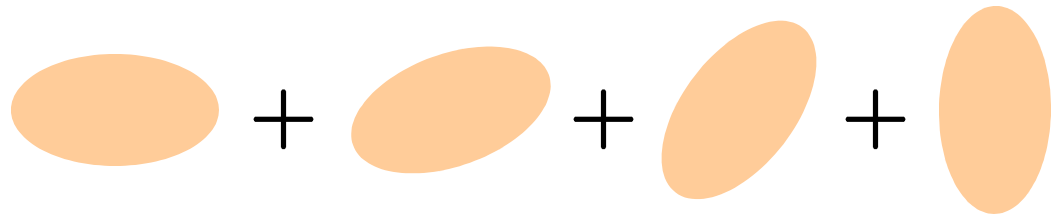
<sup>154</sup>Sm は変形している

(note) 0<sup>+</sup> 状態とは(量子力学)?

0<sup>+</sup>: 空間の異方性がない

→ 色々な向きが等確率で混ざっている

$$E_I \sim \frac{I(I+1)\hbar^2}{2\mathcal{J}}$$



c.f. HF + Angular Momentum Projection

# Evidences for nuclear deformation

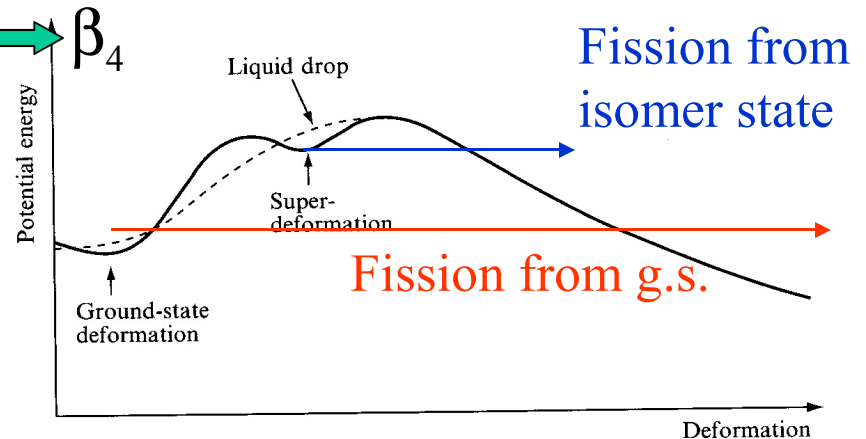
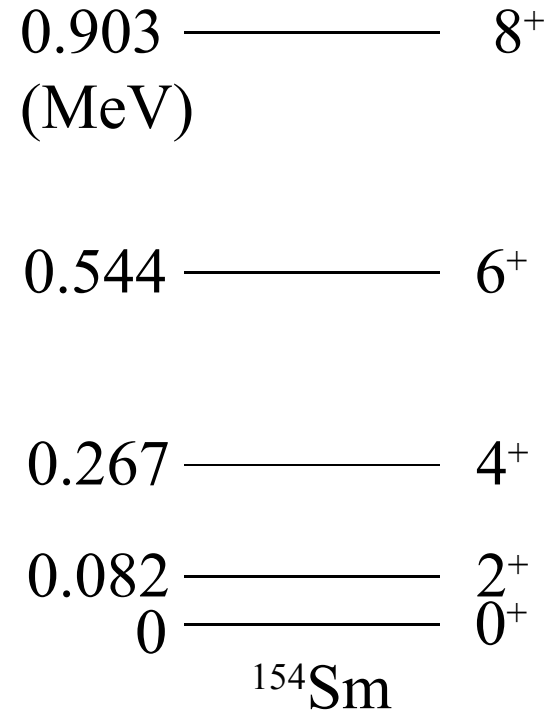
- The existence of rotational bands

$$E_I = \frac{I(I + 1)\hbar^2}{2\mathcal{J}}$$

- Very large quadrupole moments (for odd-A nuclei)

$$Q = e\sqrt{\frac{16\pi}{5}} \langle \Psi_{II} | r^2 Y_{20} | \Psi_{II} \rangle$$

- Strongly enhanced quadrupole transition probabilities
- Hexadecapole matrix elements  $\longleftrightarrow \beta_4$
- Single-particle structure
- Fission isomers



# 核融合反応に対する集団励起の影響: 回転の場合

エネルギー・スケールの比較

$$V(r) \sim V_b - \frac{1}{2}\mu\Omega^2 r^2$$

$$\left\{ \begin{array}{l} \text{トンネル運動: } E_{\text{tun}} \sim \hbar\Omega \sim 3.5 \text{ MeV (クーロン障壁の曲率)} \\ \text{回転運動: } E_{\text{rot}} \sim E_{2^+} \sim 0.08 \text{ MeV} \end{array} \right.$$

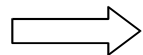
↪  $E_{\text{tun}} \gg E_{\text{rot}} = I(I+1)\hbar^2/2\mathcal{J} \rightarrow 0$

↔  $\mathcal{J} \rightarrow \infty$

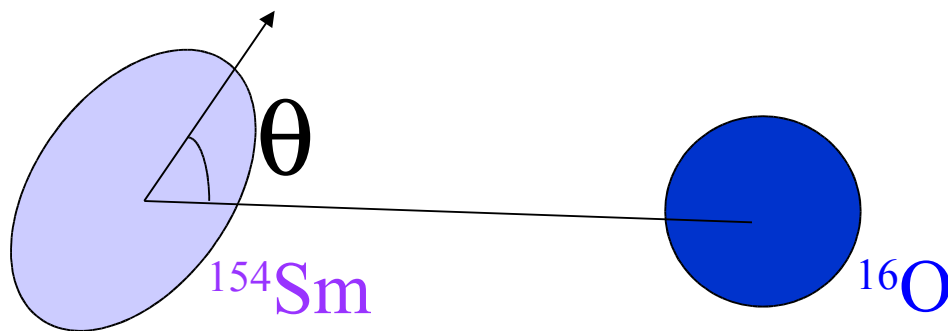
↪  $^{154}\text{Sm}$  の方向は反応中にほとんど変化しない

(note)

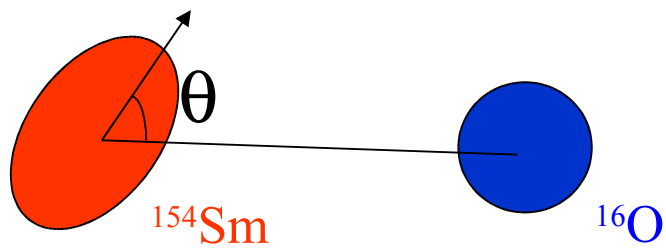
反応の初期は基底状態  
( $0^+$  状態)



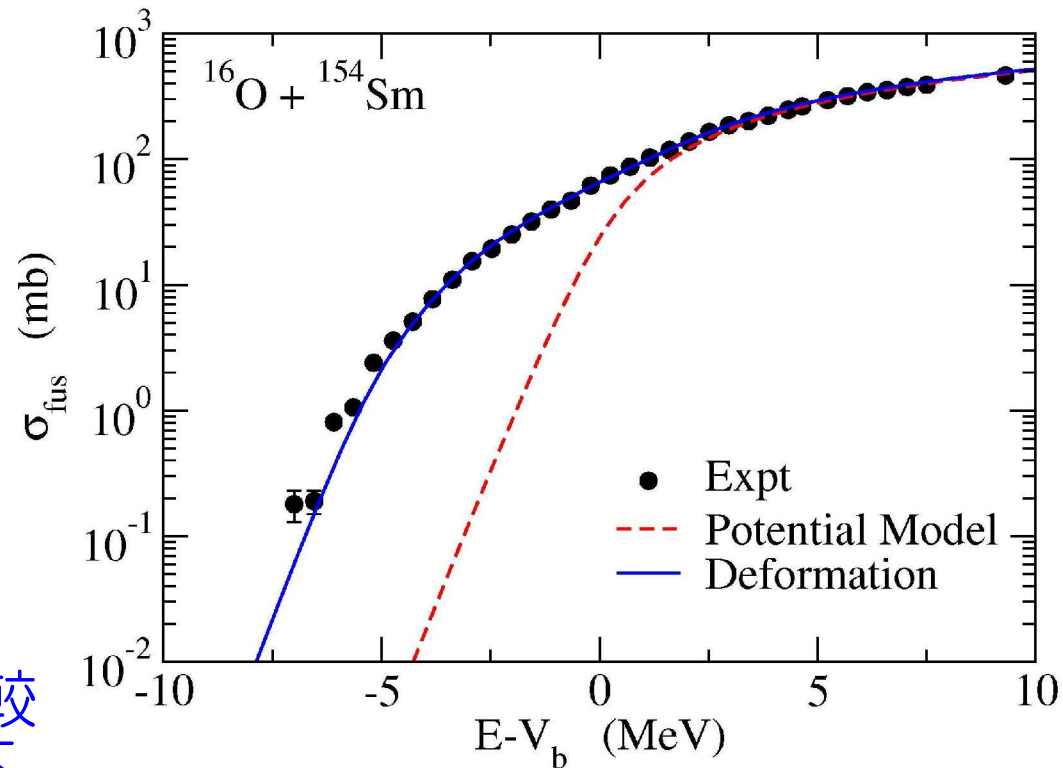
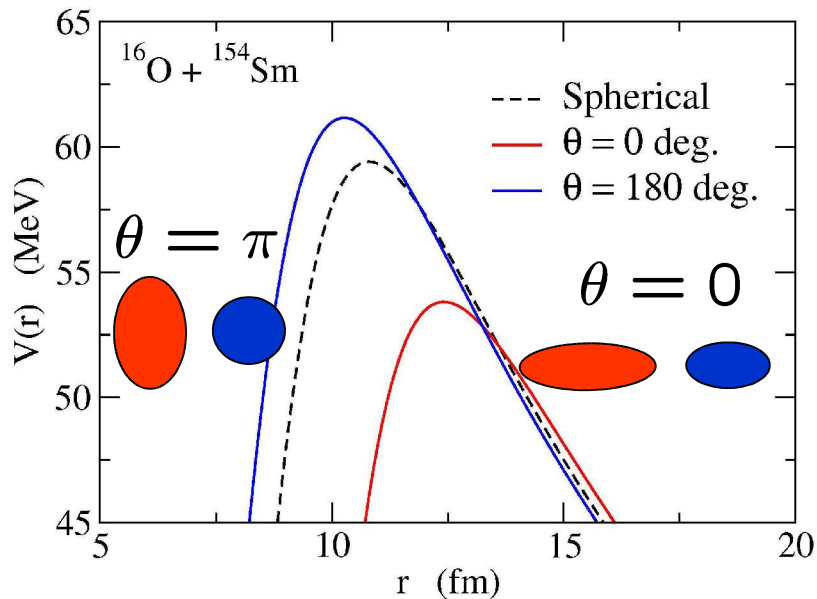
あらゆる方向が等確率  
で混ざっている



$$\sigma_{\text{fus}}(E) = \int_0^1 d(\cos \theta) \sigma_{\text{fus}}(E; \theta)$$



$$\sigma_{\text{fus}}(E) = \int_0^1 d(\cos \theta) \sigma_{\text{fus}}(E; \theta)$$



$\theta = 0$  では引力の核力が比較的遠方から働くため障壁が下がる。

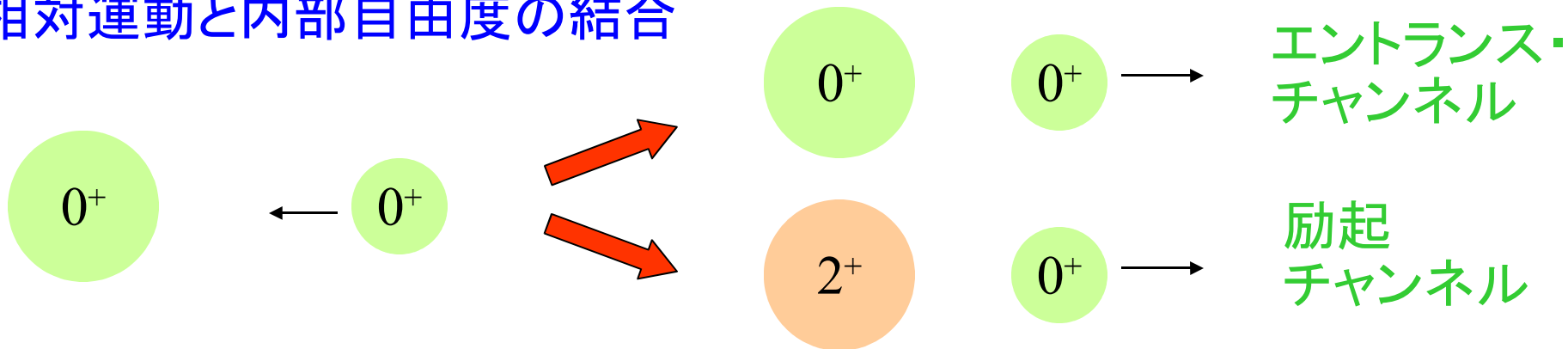
$\theta = \pi$  はその逆。近づかないと引力が働かないため障壁は上がる。

**変形の効果:** 核融合断面積が 10~100 倍増大

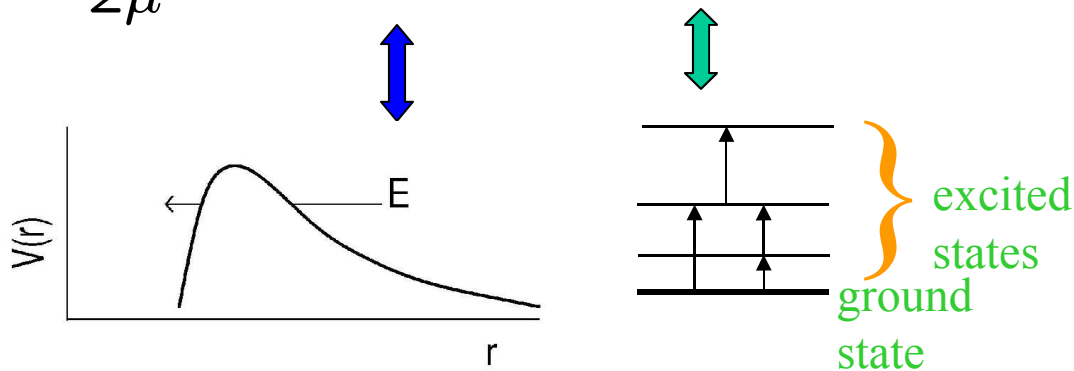
⇒ **核融合反応:** 核構造に対する興味深いプローブ

# より量子的な取り扱い: 結合チャンネル法

相対運動と内部自由度の結合



$$H = -\frac{\hbar^2}{2\mu}\nabla^2 + V_0(r) + H_0(\xi) + V_{\text{coup}}(r, \xi)$$



$$H_0(\xi)\phi_k(\xi) = \epsilon_k \phi_k(\xi)$$

$$\Psi(r, \xi) = \sum_k \psi_k(r) \phi_k(\xi)$$

$$H = -\frac{\hbar^2}{2\mu}\nabla^2 + V_0(r) + H_0(\xi) + V_{\text{coup}}(\mathbf{r}, \xi)$$

$$\Psi(\mathbf{r}, \xi) = \sum_k \psi_k(\mathbf{r})\phi_k(\xi) \quad H_0(\xi)\phi_k(\xi) = \epsilon_k \phi_k(\xi)$$

Schroedinger equation:  $(H - E)\Psi(\mathbf{r}, \xi) = 0$

$$\langle \phi_k | \rightarrow$$

$$\langle \phi_k | H - E | \Psi \rangle = 0$$

or

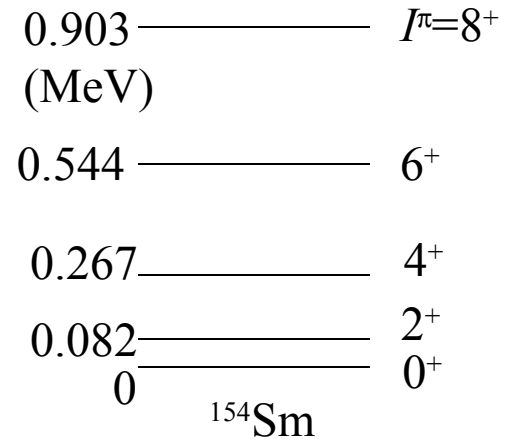
$$\left[ -\frac{\hbar^2}{2\mu}\nabla^2 + V_0(r) + \epsilon_k - E \right] \psi_k(\mathbf{r}) + \sum_{k'} \langle \phi_k | V_{\text{coup}} | \phi_{k'} \rangle \psi_{k'}(\mathbf{r}) = 0$$

結合チャンネル方程式

# 角運動量結合

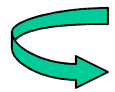
$$H_0(\xi)\phi_{nIm_I}(\xi) = \epsilon_{nI}\phi_{nIm_I}(\xi)$$

全角運動量:  $I + l = J$



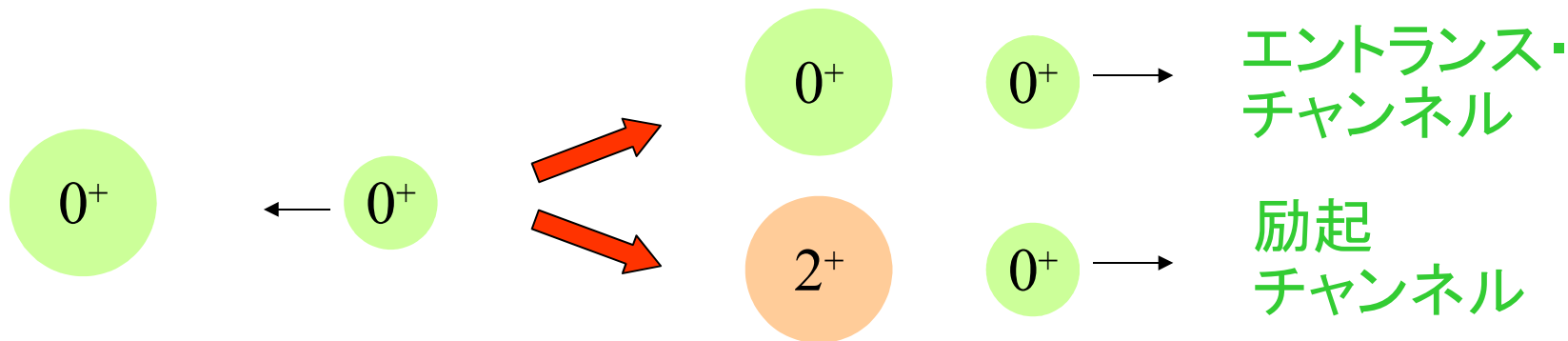
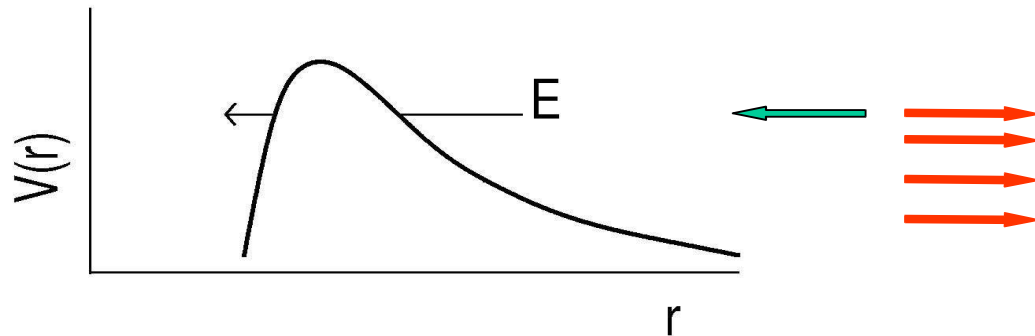
$$\Psi(\mathbf{r}, \xi) = \sum_k \psi_k(\mathbf{r})\phi_k(\xi) = \sum_{n,l,I} \frac{u_{nlI}(r)}{r} [Y_l(\hat{\mathbf{r}})\phi_{nI}(\xi)]^{(JM)}$$

$$\langle [Y_l\phi_{nI}]^{(JM)} | H - E | \Psi \rangle = 0$$



$$\left[ -\frac{\hbar^2}{2\mu} \frac{d^2}{dr^2} + \frac{l(l+1)\hbar^2}{2\mu r^2} + V_0(r) - E + \epsilon_{nI} \right] u_{nlI}(r) + \sum_{n'l'I'} \langle [Y_l\phi_{nI}]^{(JM)} | V_{\text{coup}}(r) | [Y_{l'}\phi_{n'I'}]^{(JM)} \rangle u_{n'l'I'}(r) = 0$$

# 境界条件



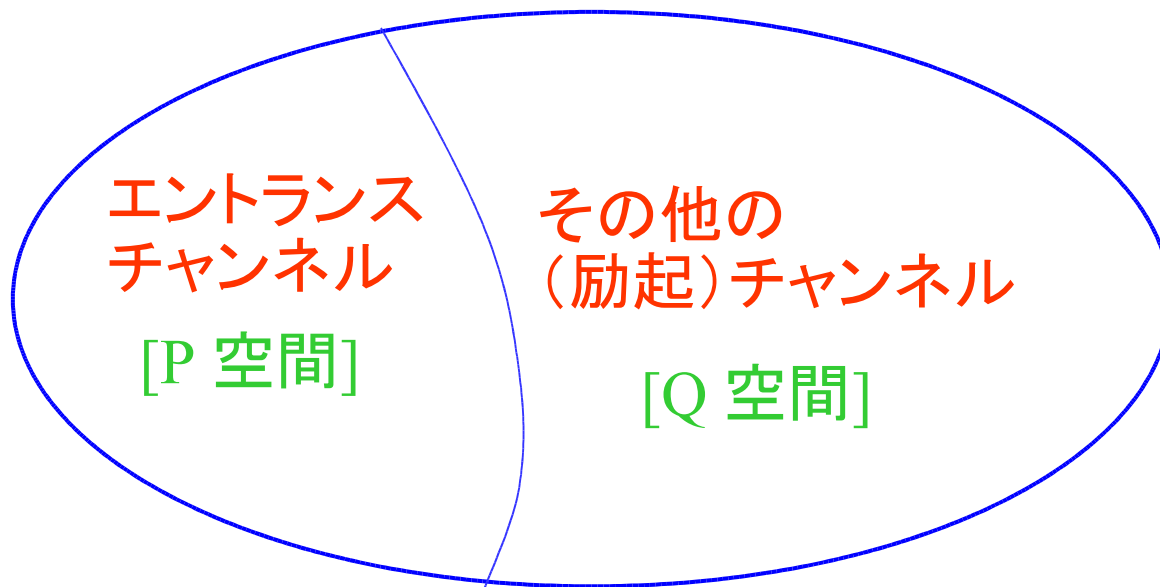
$$\Psi(r, \xi) = \sum_{n,l,I} \frac{u_{nlI}(r)}{r} [Y_l(\hat{r}) \phi_{nI}(\xi)]^{(JM)}$$

$$u_{nlI}(r) \rightarrow H_l^{(-)}(k_{nI}r) \delta_{n,n_i} \delta_{l,l_i} \delta_{I,I_i} - \sqrt{\frac{k_0}{k_{nI}}} S_{nlI} H_l^{(+)}(k_{nI}r)$$

$$P_l(E) = 1 - \sum_{nI} |S_{nlI}|^2$$

$$\sigma_{\text{fus}}(E) = \frac{\pi}{k^2} \sum_l (2l + 1) P_l(E)$$

## (note) Dynamical Polarization Potential



考えている全ヒルベルト空間(概念図)

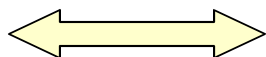
Q 空間を「消去」して P 空間に射影



P 空間(エントランス・チャンネル)に対する effective potential (dynamical polarization potential)



エネルギー依存、non-local、複素ポテンシャル



光学ポテンシャル  $V_{\text{opt}}$

## 例: 2チャンネル問題

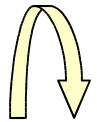
$$\underbrace{\left[ -\frac{\hbar^2}{2\mu} \frac{d^2}{dr^2} + \frac{l(l+1)\hbar^2}{2\mu r^2} + V_0(r) \right]}_{\equiv \hat{h}_l} + \begin{pmatrix} 0 & F(r) \\ F(r) & \epsilon \end{pmatrix} \begin{pmatrix} u_0(r) \\ u_1(r) \end{pmatrix} = E \begin{pmatrix} u_0(r) \\ u_1(r) \end{pmatrix}$$

or

$$\begin{cases} \hat{h}_l u_0(r) + F(r)u_1(r) = E u_0(r) & (1) \\ \hat{h}_l u_1(r) + F(r)u_0(r) = (E - \epsilon)u_1(r) & (2) \end{cases}$$

$$(2) \longrightarrow u_1(r) = - \int_0^\infty dr' G^{(+)}(r, r'; E - \epsilon) F(r') u_0(r')$$

$$G^{(+)}(r, r'; E - \epsilon) = \left( \frac{1}{\hat{h}_l - (E - \epsilon) + i\eta} \right)_{r, r'}$$



$$\hat{h}_l u_0(r) - F(r) \int_0^\infty dr' G^{(+)}(r, r'; E - \epsilon) F(r') u_0(r') = E u_0(r)$$

## 例: 2チャンネル問題(続き)

$$\hat{h}_l u_0(r) - F(r) \int_0^\infty dr' G^{(+)}(r, r'; E - \epsilon) F(r') u_0(r') = E u_0(r)$$
$$= \int_0^\infty dr' V_{\text{DPP}}(r, r') u_0(r')$$

$$V_{\text{DPP}}(r, r') = -F(r) G^{(+)}(r, r'; E - \epsilon) F(r')$$

$$G^{(+)}(r, r'; E) = \left( \frac{1}{\hat{h}_l - E + i\eta} \right)_{r, r'}$$
$$= \frac{2\mu}{\hbar^2} \cdot \frac{f_l(kr_{<}) \tilde{h}_l^{(+)}(kr_{>})}{W}$$

$$f_l \rightarrow \sin(kr - l\pi/2 + \delta_l)$$

(regular solution)

$$\tilde{h}_l \rightarrow \exp[i(kr - l\pi/2 + \delta_l)]$$

(outgoing solution)

$$W = f'_l \tilde{h}_l = f_l \tilde{h}'_l = k$$

(Wronskian)

より一般的には: Feshbach formalism (参考図書を参照のこと)

## 結合チャンネル法のとまとめ

$$\left\{ \begin{array}{l} H = -\frac{\hbar^2}{2\mu} \nabla^2 + V_0(r) + H_0(\xi) + V_{\text{coup}}(r, \xi) \\ \Psi(r, \xi) = \sum_{n,l,I} \frac{u_{nlI}(r)}{r} [Y_l(\hat{r}) \phi_{nI}(\xi)]^{(JM)} \end{array} \right.$$

$$H_0(\xi) \phi_{nIm_I}(\xi) = \epsilon_{nI} \phi_{nIm_I}(\xi)$$

$$\langle [Y_l \phi_{nI}]^{(JM)} | H - E | \Psi \rangle = 0$$



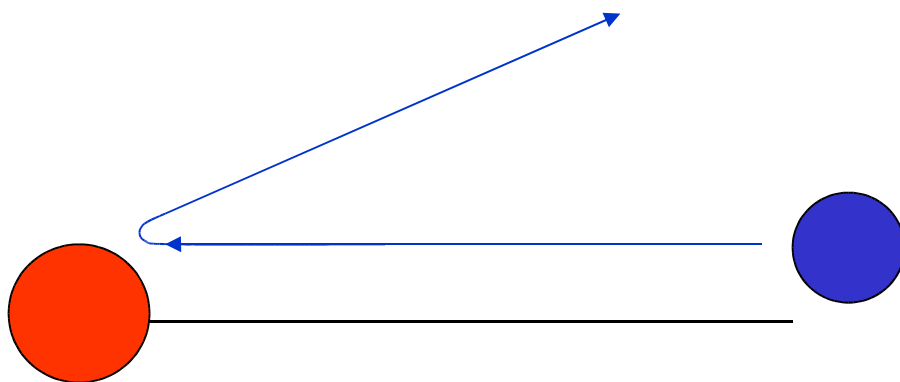
$$\left[ -\frac{\hbar^2}{2\mu} \frac{d^2}{dr^2} + \frac{l(l+1)\hbar^2}{2\mu r^2} + V_0(r) - E + \epsilon_{nI} \right] u_{nlI}(r) + \sum_{n'l'I'} \langle [Y_l \phi_{nI}]^{(JM)} | V_{\text{coup}}(r) | [Y_{l'} \phi_{n'I'}]^{(JM)} \rangle u_{n'l'I'}(r) = 0$$

$$u_{nlI}(r) \rightarrow H_l^{(-)}(k_{nI}r) \delta_{n,n_i} \delta_{l,l_i} \delta_{I,I_i} - \sqrt{\frac{k_0}{k_{nI}}} S_{nlI} H_l^{(+)}(k_{nI}r)$$

$$P_l(E) = 1 - \sum_{nI} |S_{nlI}|^2$$

$$\sigma_{\text{fus}}(E) = \frac{\pi}{k^2} \sum_l (2l+1) P_l(E)$$

# 原子核の励起状態の性質



原子核同士を衝突させて標的核を励起させる



入射核との相互作用に  
標的核がどのように応答するか？

標準的なアプローチ: 結合チャンネル法を用いた解析

- 非弾性散乱の断面積
- 弾性散乱の断面積
- 核融合反応断面積



S 行列  $S_{nll}$

# Coupling Potential: Collective Model

$$R(\theta, \phi) = R_T \left( 1 + \sum_{\mu} \alpha_{\lambda\mu} Y_{\lambda\mu}^*(\theta, \phi) \right)$$

(note) rotating frame  $\wedge$  の座標変換 ( $\hat{r} = 0$ ):

## ➤ 振動励起の場合

$$\begin{cases} \alpha_{\lambda\mu} = \frac{\beta_{\lambda}}{\sqrt{2\lambda+1}} (a_{\lambda\mu}^{\dagger} + (-)^{\mu} a_{\lambda\mu}) \\ H_0 = \hbar\omega_{\lambda} \sum_{\mu} a_{\lambda\mu}^{\dagger} a_{\lambda\mu} \end{cases}$$

$$\sum_{\mu} \alpha_{\lambda\mu} Y_{\lambda\mu}^*(\theta, \phi) \rightarrow \sqrt{\frac{2\lambda+1}{4\pi}} \alpha_{\lambda 0}$$

## ➤ 回転励起の場合

Body-fixed 系への座標変換:

$$\begin{cases} \alpha_{\lambda\mu} = \sqrt{\frac{4\pi}{2\lambda+1}} \beta_{\lambda} Y_{\lambda\mu}(\theta_d, \phi_d) \quad (\text{軸対称変形の場合}) \\ H_0 = \frac{I(I+1)\hbar^2}{2\mathcal{J}} \end{cases}$$

いずれの場合も  $\beta_{\lambda} = \frac{4\pi}{3Z_T R_T^{\lambda}} \sqrt{\frac{B(E\lambda) \uparrow}{e^2}}$

## Deformed Woods-Saxon model:

$$\begin{aligned} V_{WS}(r) &= -\frac{V_0}{1 + \exp[(r - R_0)/a]} \\ &= -\frac{V_0}{1 + \exp[(r - R_P - R_T)/a]} \end{aligned}$$

$$R_T \rightarrow R_T \left( 1 + \sum_{\mu} \alpha_{\lambda\mu} Y_{\lambda\mu}^*(\theta, \phi) \right)$$



$$V_{WS}(r) = -\frac{V_0}{1 + \exp[(r - R_0 - R_T \alpha_{\lambda} \cdot Y_{\lambda}(\hat{r}))]/a]}$$

# Deformed Woods-Saxon model (collective model)

K.H., N. Rowley, and A.T. Kruppa,  
Comp. Phys. Comm. 123('99)143

$$V_{\text{coup}}(r, \hat{O}) = V_{\text{coup}}^{(N)}(r, \hat{O}) + V_{\text{coup}}^{(C)}(r, \hat{O})$$

Nuclear coupling:

$$V_{\text{coup}}^{(N)}(r, \hat{O}) = -\frac{V_0}{1 + \exp[(r - R_0 - R_T \hat{O})/a]}$$

Coulomb coupling:

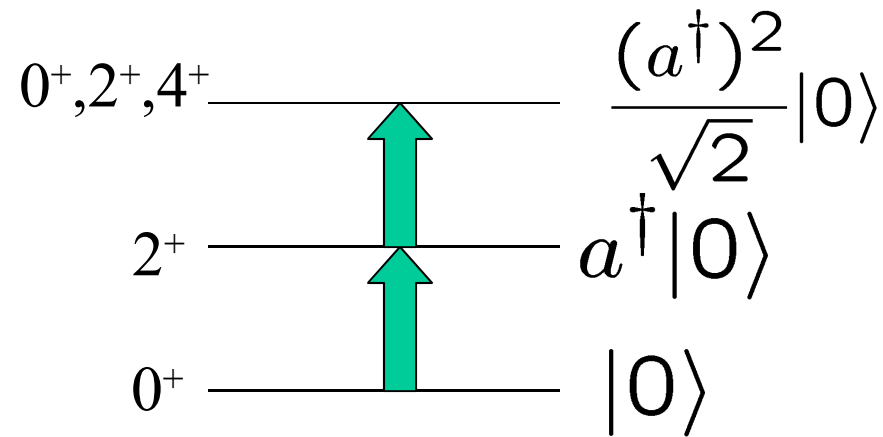
$$V_{\text{coup}}^{(C)}(r, \hat{O}) = \frac{3}{2\lambda + 1} Z_P Z_T e^2 \frac{R_T^\lambda}{r^{\lambda+1}} \hat{O}$$

**Rotational coupling:**  $\hat{O} = \beta Y_{20}(\theta)$

**Vibrational coupling:**  $\hat{O} = \frac{\beta}{\sqrt{4\pi}} (a + a^\dagger)$

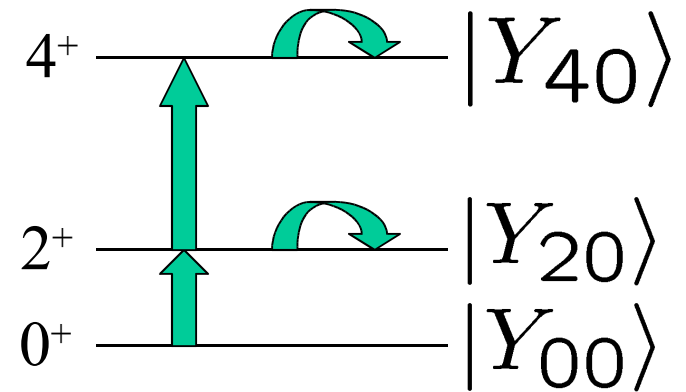
## Vibrational coupling

$$\hat{O} = \frac{\beta}{\sqrt{4\pi}}(a + a^\dagger)$$



## Rotational coupling

$$\hat{O} = \beta Y_{20}(\theta)$$

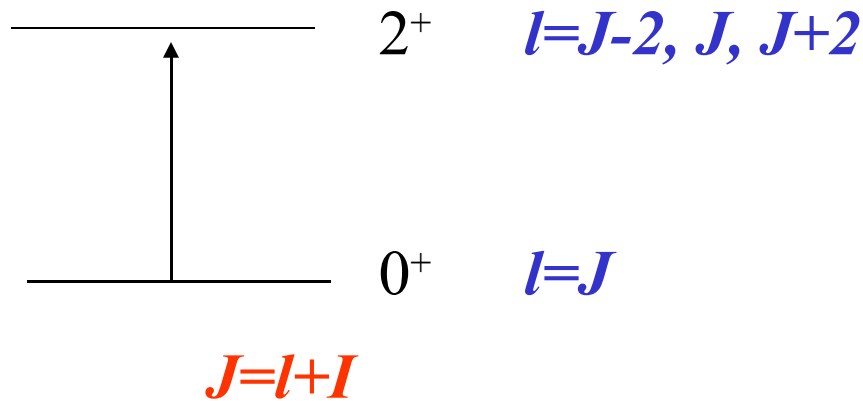


$$\begin{pmatrix} 0 & F & 0 \\ F & \epsilon & \sqrt{2}F \\ 0 & \sqrt{2}F & 2\epsilon \end{pmatrix} \begin{pmatrix} 0 & F & 0 \\ F & \epsilon + \frac{2\sqrt{5}}{7}F & \frac{6}{7}F \\ 0 & \frac{6}{7}F & \frac{10\epsilon}{3} + \frac{20\sqrt{5}}{77}F \end{pmatrix}$$

$$F = \frac{\beta}{\sqrt{4\pi}}$$

# Iso-centrifugal approximation

- No-Coriolis approximation
- Rotating frame approximation

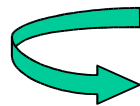
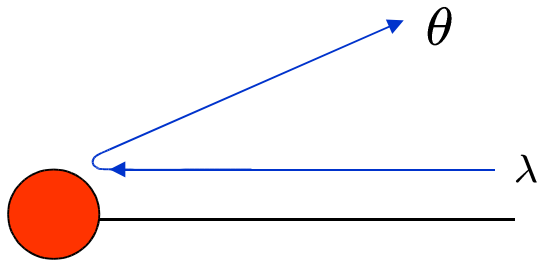


| Truncation     | Dimension |
|----------------|-----------|
| 2 <sup>+</sup> | 4 → 2     |
| 4 <sup>+</sup> | 9 → 3     |
| 6 <sup>+</sup> | 16 → 4    |
| 8 <sup>+</sup> | 25 → 5    |

## Iso-centrifugal approximation:

$\lambda$ : independent of excitations

$$\frac{l(l+1)\hbar^2}{2\mu r^2} \rightarrow \frac{J(J+1)\hbar^2}{2\mu r^2}$$



$$V_{\text{coup}}(\mathbf{r}, \xi) = f(r) Y_{\lambda}(\hat{\mathbf{r}}) \cdot T_{\lambda}(\xi)$$

transform to  
the rotating frame

$$\rightarrow \sqrt{\frac{2\lambda+1}{4\pi}} f(r) T_{\lambda 0}(\xi)$$

“Spin-less system”

# 結合チャンネル方程式: 2つの極限

$$\left[ -\frac{\hbar^2}{2\mu} \frac{d^2}{dr^2} + \frac{l(l+1)\hbar^2}{2\mu r^2} + V_0(r) - E + \epsilon_{nI} \right] u_{nlI}(r) + \sum_{n'l'I'} \langle [Y_l \phi_{nI}]^{(JM)} | V_{\text{coup}}(r) | [Y_{l'} \phi_{n'I'}]^{(JM)} \rangle u_{n'l'I'}(r) = 0$$

$$u_{nlI}(r) \rightarrow H_l^{(-)}(k_{nI}r) \delta_{n,n_i} \delta_{l,l_i} \delta_{I,I_i} - \sqrt{\frac{k_0}{k_{nI}}} S_{nlI} H_l^{(+)}(k_{nI}r)$$

$$P_l(E) = 1 - \sum_{nI} |S_{nlI}|^2 \quad \sigma_{\text{fus}}(E) = \frac{\pi}{k^2} \sum_l (2l+1) P_l(E)$$

数値的に結合チャンネル方程式を解いて核融合反応断面積を計算

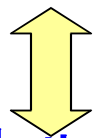
→ 結果を解釈(理解)するために2つの極限を考えてみよう

- $\epsilon_{nI}$ : 非常に大きい場合 (断熱極限) *Adiabatic limit*
- $\epsilon_{nI}$ : ゼロの極限 (瞬間極限) *Sudden limit*

## 2つの極限: (i) 断熱極限

$$H = -\frac{\hbar^2}{2\mu}\nabla^2 + V_0(r) + H_0(\xi) + V_{\text{coup}}(\mathbf{r}, \xi)$$

相対運動が内部運動に比べて非常にゆっくりしている場合



相対運動の典型的なエネルギー・スケールが内部運動のエネルギー・スケールにくらべて非常に小さい場合

$$\hbar\Omega \ll \epsilon$$

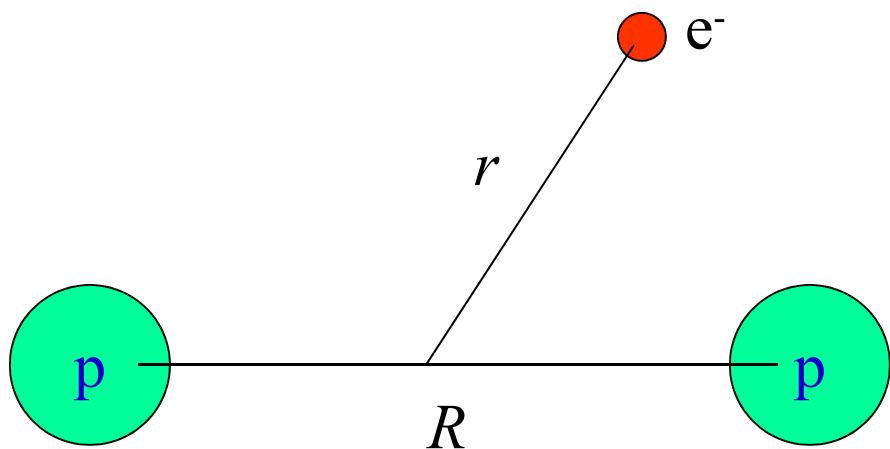
(障壁の曲率 v.s. 内部自由度の励起エネルギー)


$$[H_0(\xi) + V_{\text{coup}}(\mathbf{r}, \xi)]\varphi_0(\xi; \mathbf{r}) = \epsilon_0(r)\varphi_0(\xi; \mathbf{r})$$



$$H_0(\xi) + V_{\text{coup}}(\mathbf{r}, \xi) \rightarrow \epsilon_0(r)$$

## c.f. 水素分子に対する Born-Oppenheimer 近似



$$[T_R + T_r + V(r, R)]\Psi(r, R) = E\Psi(r, R)$$

1. まず陽子が止まっているとして電子の運動を考える

$$[T_r + V(r, R)]u_n(r; R) = \epsilon_n(R)u_n(r; R)$$

2.  $\epsilon_n(R)$  を  $R$  に関して最小化する

Or 2'. ポテンシャル  $\epsilon_n(R)$  中の陽子間の運動を考える

$$[T_R + \epsilon_n(R)]\phi_n(R) = E\phi_n(R)$$

# Adiabatic Potential Renormalization

$$H = -\frac{\hbar^2}{2\mu}\nabla^2 + V_0(r) + H_0(\xi) + V_{\text{coup}}(\mathbf{r}, \xi)$$

When  $\varepsilon$  is large,

$$H_0(\xi) + V_{\text{coup}}(\mathbf{r}, \xi) \rightarrow \epsilon_0(r)$$

where

$$\begin{aligned} [H_0(\xi) + V_{\text{coup}}(\mathbf{r}, \xi)]\varphi_0(\xi; \mathbf{r}) \\ = \epsilon_0(r) \varphi_0(\xi; \mathbf{r}) \end{aligned}$$

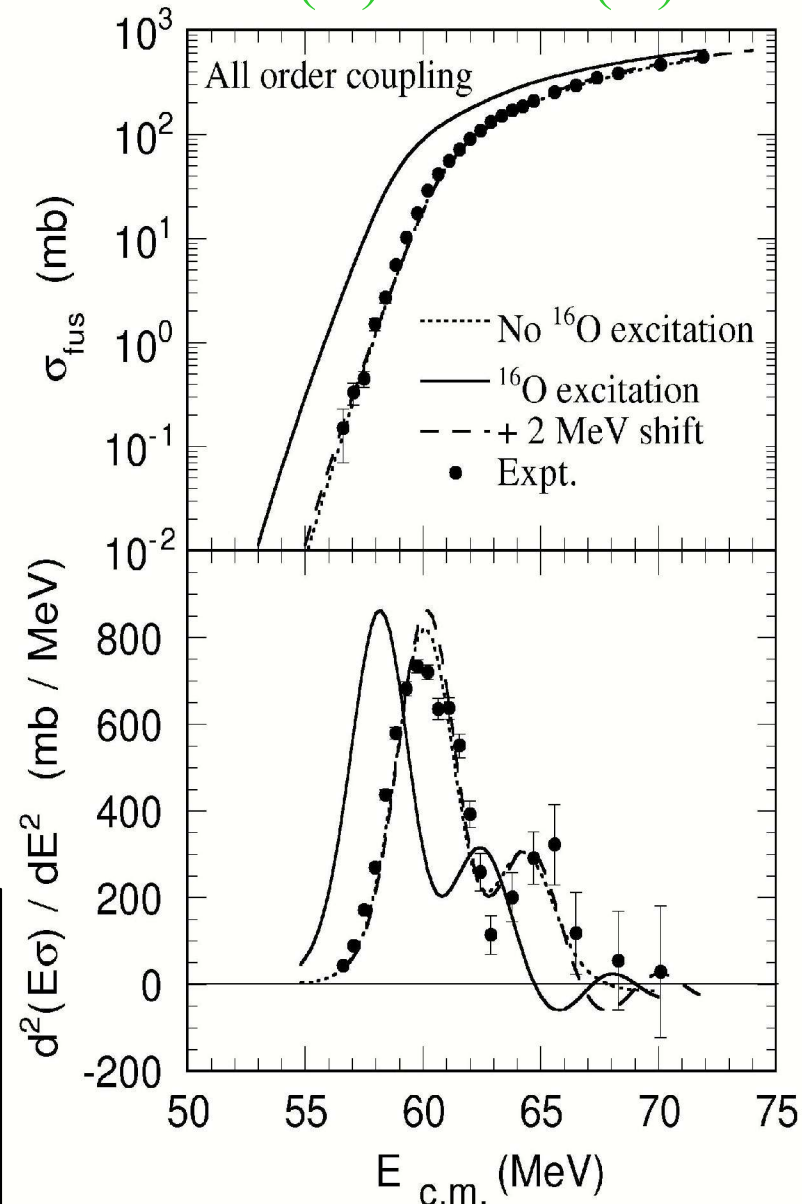
Fast intrinsic motion

→ Adiabatic potential renormalization

$$V_{\text{ad}}(r) = V_0(r) + \epsilon_0(r)$$

Giant Resonances,  $^{16}\text{O}(3^-)$  [6.31 MeV]

$^{16}\text{O}(3^-) + ^{144}\text{Sm}(3^-)$



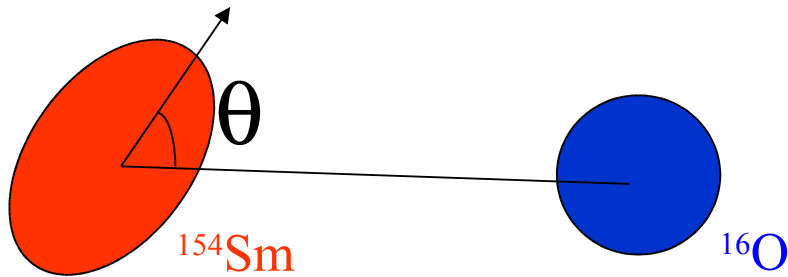
K.H., N. Takigawa, M. Dasgupta,  
D.J. Hinde, J.R. Leigh, PRL79('99)2014

## 2つの極限: (ii) 瞬間極限

$$\epsilon \rightarrow 0$$

$$\epsilon_I = I(I + 1)\hbar^2/2\mathcal{J}$$

$$\mathcal{J} \rightarrow \infty$$



$$\sigma_{\text{fus}}(E) = \int_0^1 d(\cos \theta) \sigma_{\text{fus}}(E; \theta)$$

### Coupled-channels:

$$\begin{pmatrix} 0 & f(r) & 0 \\ f(r) & \frac{2\sqrt{5}}{7}f(r) & \frac{6}{7}f(r) \\ 0 & \frac{6}{7}f(r) & \frac{20\sqrt{5}}{77}f(r) \end{pmatrix} \xrightarrow{\text{diagonalize}} \begin{pmatrix} \lambda_1(r) & 0 & 0 \\ 0 & \lambda_2(r) & 0 \\ 0 & 0 & \lambda_3(r) \end{pmatrix}$$

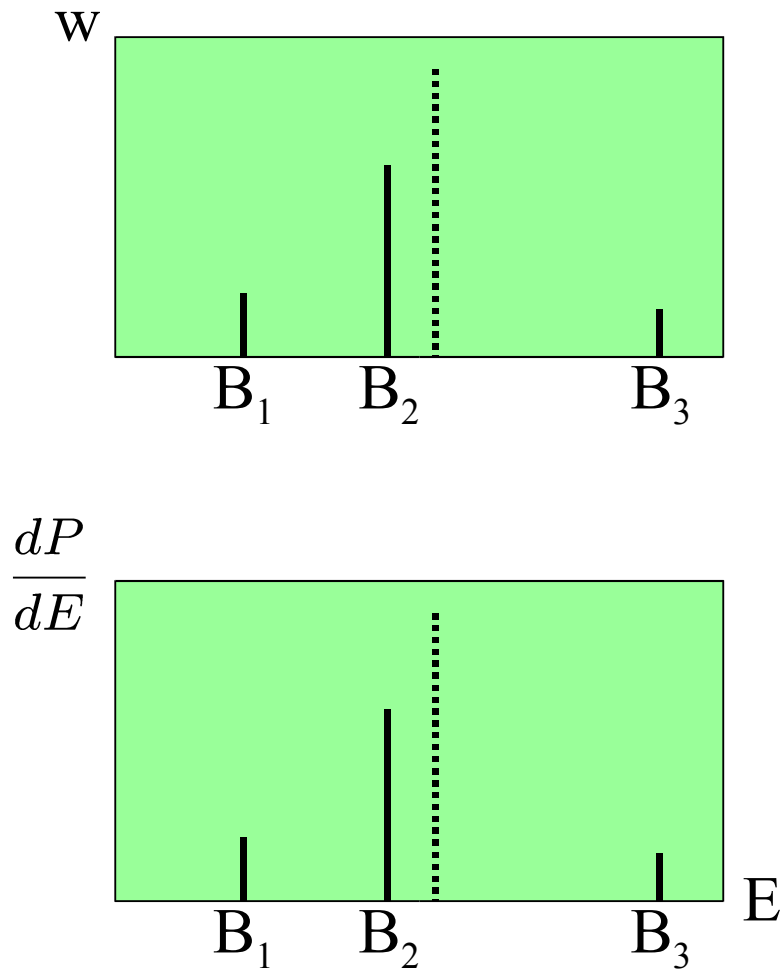
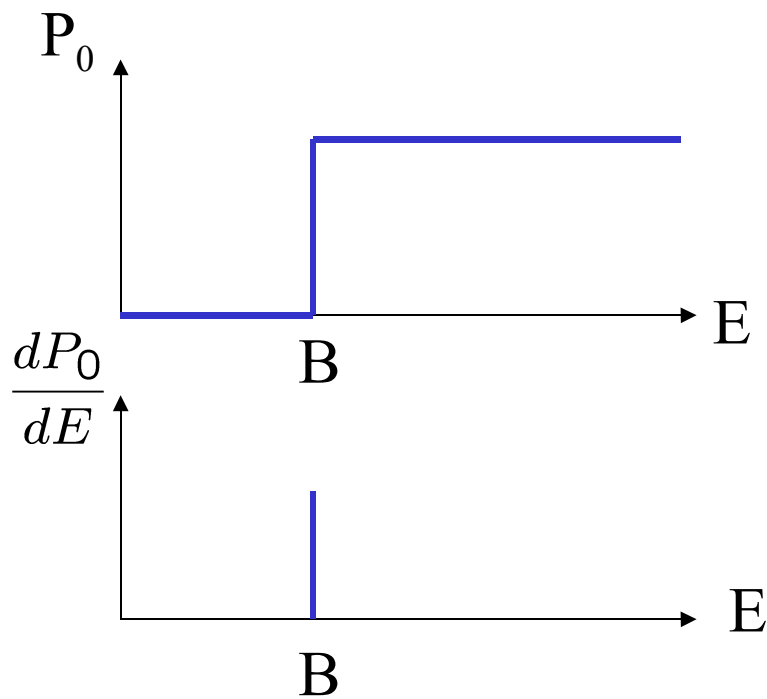
$$\longrightarrow P(E) = \sum_i w_i P(E; V_0(r) + \lambda_i(r))$$

Slow intrinsic motion

$\longrightarrow$  Barrier Distribution

# 障壁分布

$$P(E) = \sum_i w_i P(E; V_0(r) + \lambda_i(r))$$

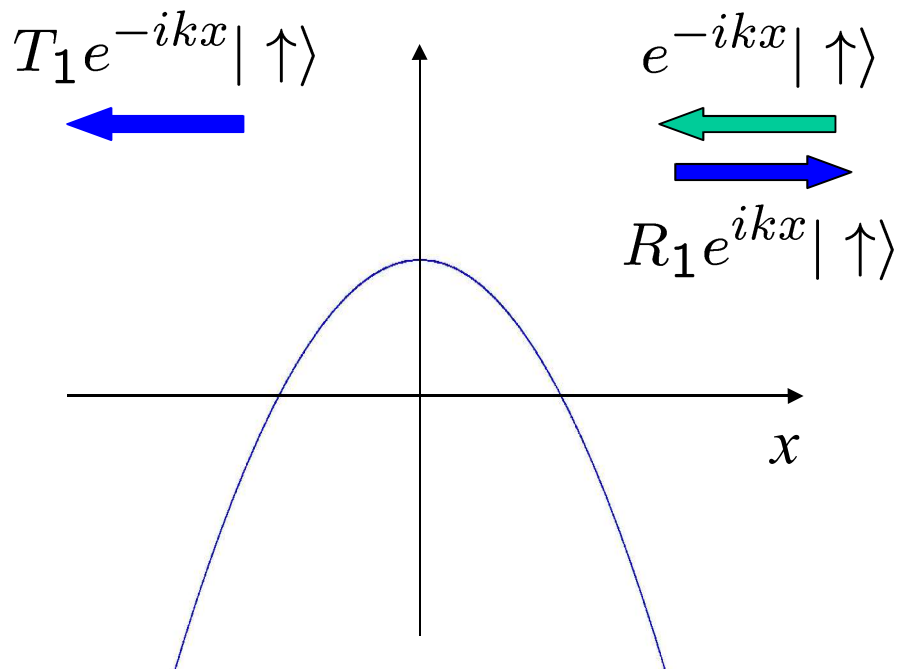


# 障壁分布: スピン・ハミルトニアンを用いて概念を理解する

ハミルトニアン(例1): 
$$H = -\frac{\hbar^2}{2m} \frac{d^2}{dx^2} + V_0(x) + \hat{\sigma}_z \cdot V_s(x)$$

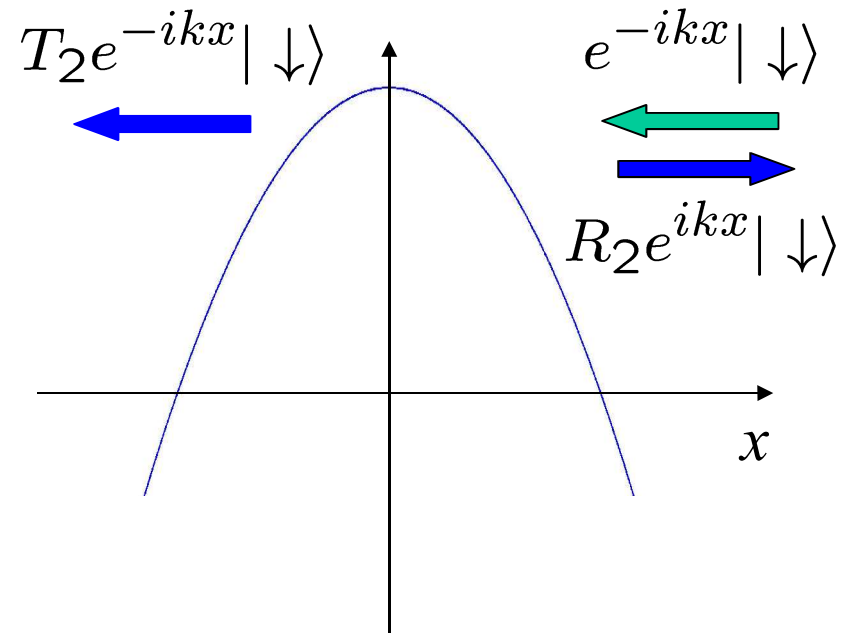
$$\hat{\sigma}_z = \begin{pmatrix} 1 & 0 \\ 0 & -1 \end{pmatrix}$$

Spin-up の場合



$$V_1(x) = V_0(x) + V_s(x)$$

Spin-down の場合



$$V_2(x) = V_0(x) - V_s(x)$$

$$H = -\frac{\hbar^2}{2m} \frac{d^2}{dx^2} + V_0(x) + \hat{\sigma}_z \cdot V_1(x)$$



波動関数(一般形):  $\Psi(x) = \psi_1(x) |\uparrow\rangle + \psi_2(x) |\downarrow\rangle$

$$= \begin{pmatrix} \psi_1(x) \\ \psi_2(x) \end{pmatrix}$$

$x \rightarrow \pm\infty$  での漸近形:

$$\Psi(x) \rightarrow \begin{pmatrix} C_1(e^{-ikx} + R_1 e^{ikx}) \\ C_2(e^{-ikx} + R_2 e^{ikx}) \end{pmatrix} \quad (x \rightarrow \infty)$$

$$\rightarrow \begin{pmatrix} C_1 T_1 e^{-ikx} \\ C_2 T_2 e^{-ikx} \end{pmatrix} \quad (x \rightarrow -\infty)$$

$|C_1|^2 + |C_2|^2 = 1$   
( $C_1$ と $C_2$ の値は粒子のスピン状態により定まる)

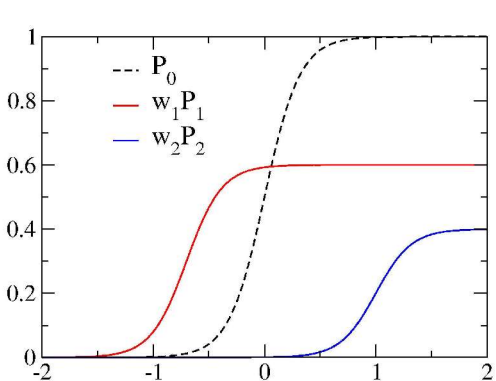
トンネル確率 =  $\frac{(x = -\infty \text{ でのフラックス})}{(x = \infty \text{ での入射内向きフラックス})}$

$$P(E) = \frac{|C_1 T_1|^2 + |C_2 T_2|^2}{|C_1|^2 + |C_2|^2}$$

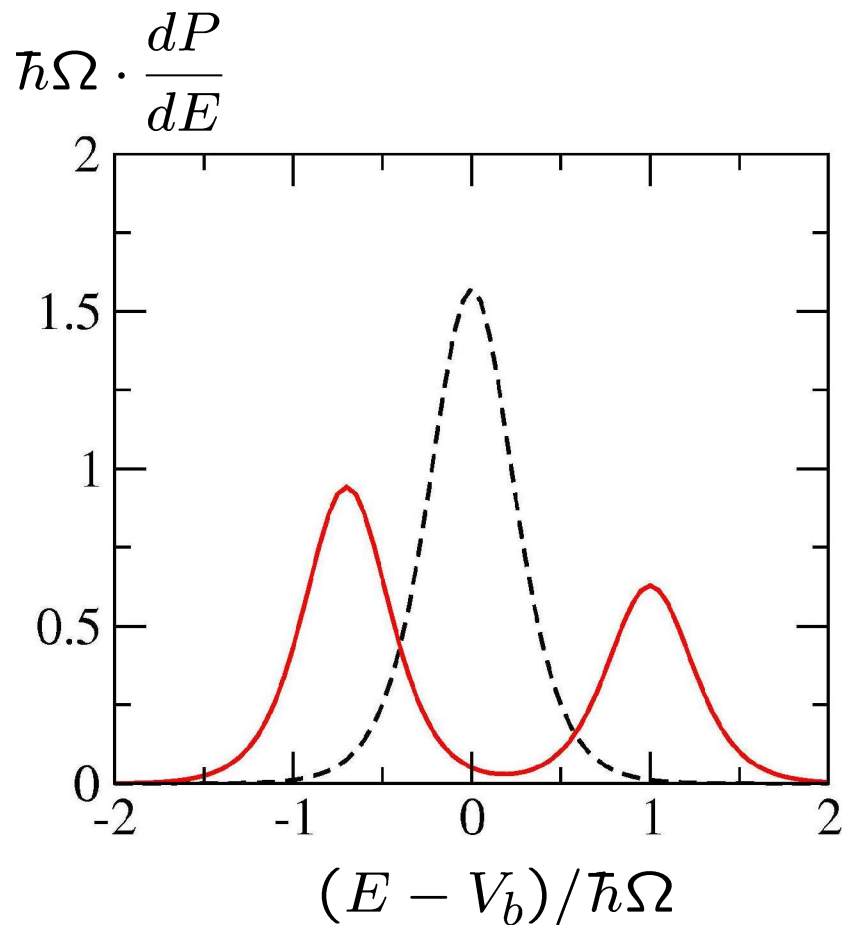
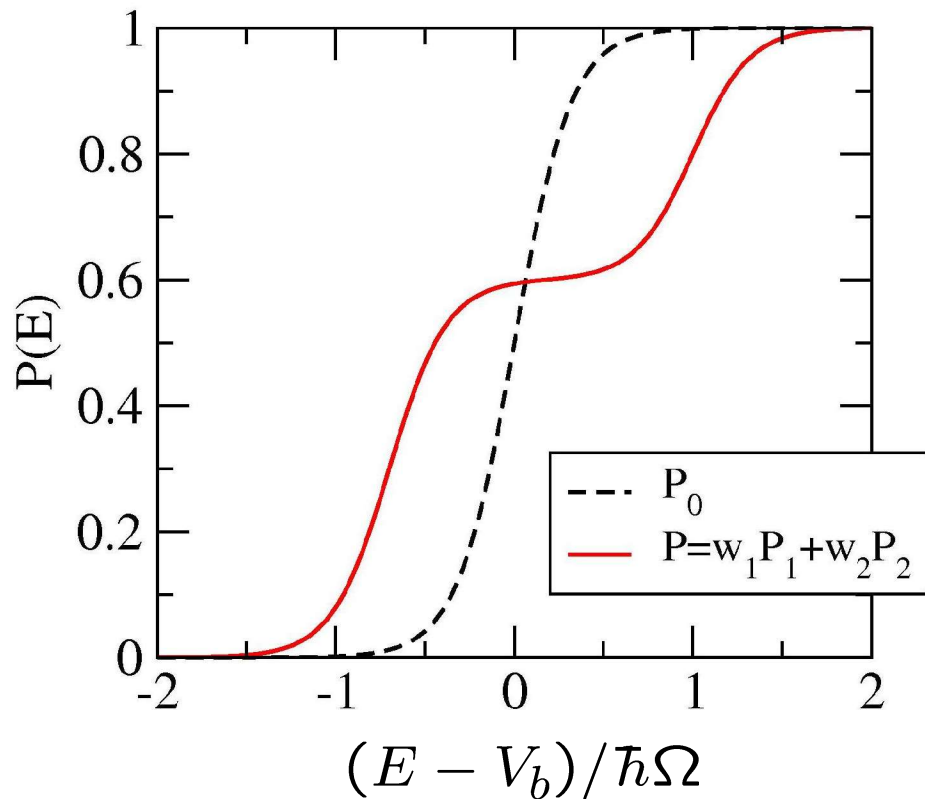
$$= |C_1|^2 P_1(E) + |C_2|^2 P_2(E) \equiv w_1 P_1(E) + w_2 P_2(E)$$

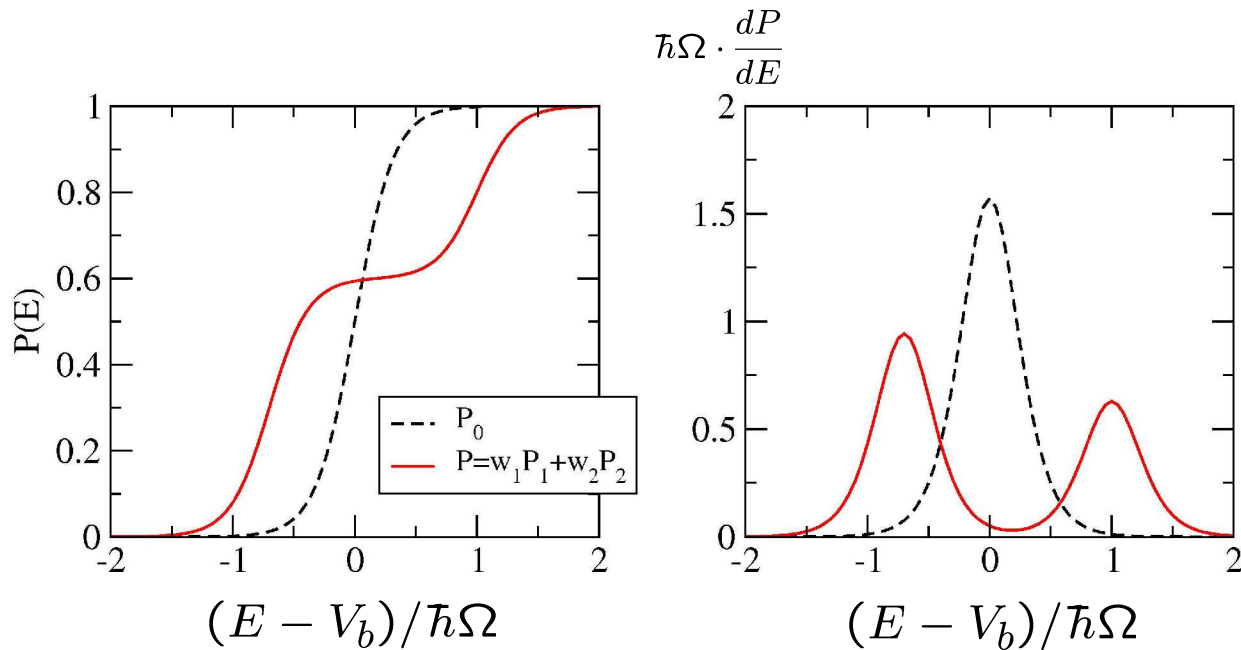
$$P(E) = w_1 P_1(E) + w_2 P_2(E)$$

→ トンネル確率は2つの障壁のトンネル確率の加重平均になる



$$\left\{ \begin{array}{l} V_1(x) = V_0(x) + V_s(x) \quad \leftarrow \quad | \uparrow \rangle \\ V_2(x) = V_0(x) - V_s(x) \quad \leftarrow \quad | \downarrow \rangle \end{array} \right.$$





- トンネル確率は  $E < V_b$  で増大、 $E > V_b$  で減少
- $dP/dE$  は一山が二山に分かれる → 「障壁が分布する」
- $dP/dE$  のピークの位置は各障壁の高さに対応
- ピークの値は重み因子に比例する

$$\begin{aligned}
 P(E) &= w_1 P_1(E) + w_2 P_2(E) \\
 \frac{dP}{dE} &= w_1 \frac{dP_1}{dE} + w_2 \frac{dP_2}{dE}
 \end{aligned}$$

## ハミルトニアン(例2): 非対角結合項がある場合

$$H = -\frac{\hbar^2}{2m} \frac{d^2}{dx^2} + V_0(x) + \hat{\sigma}_x \cdot F(x) \quad \hat{\sigma}_x = \begin{pmatrix} 0 & 1 \\ 1 & 0 \end{pmatrix}$$

$$[\hat{t} + V_0(x)]\psi_1(x) + F(x)\psi_2(x) = E\psi_1(x)$$

$$[\hat{t} + V_0(x)]\psi_2(x) + F(x)\psi_1(x) = E\psi_2(x)$$

$$\phi_{\pm}(x) = [\psi_1(x) \pm \psi_2(x)]/\sqrt{2}$$



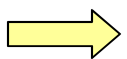
$$[\hat{t} + V_0(x) \pm F(x)]\phi_{\pm}(x) = E\phi_{\pm}(x)$$

反応の初期にスピン・アップの状態にあったとすると

$$P(E) = \frac{1}{2} [P(E; V_0 + F) + P(E; V_0 - F)]$$

## ハミルトニアン(例3): より一般の場合

$$\begin{aligned} H &= -\frac{\hbar^2}{2m} \frac{d^2}{dx^2} + V_0(x) - \epsilon \sigma_z + \hat{\sigma}_x \cdot F(x) \\ &= -\frac{\hbar^2}{2m} \frac{d^2}{dx^2} + V_0(x) + \begin{pmatrix} -\epsilon & F(x) \\ F(x) & \epsilon \end{pmatrix} \end{aligned}$$

  $U(x) \begin{pmatrix} -\epsilon & F(x) \\ F(x) & \epsilon \end{pmatrix} U^\dagger(x) = \begin{pmatrix} \lambda_1(x) & 0 \\ 0 & \lambda_2(x) \end{pmatrix}$

*x dependent*



$$P(E) = \sum_i w_i(E) P(E; V_0(x) + \lambda_i(x))$$

*E dependent*

K.H., N. Takigawa, A.B. Balantekin, PRC56('97)2104  $w_i(E) \sim \text{constant}$

(note) 断熱極限:  $\epsilon \rightarrow \infty \longrightarrow w_i(E) = \delta_{i,0}$

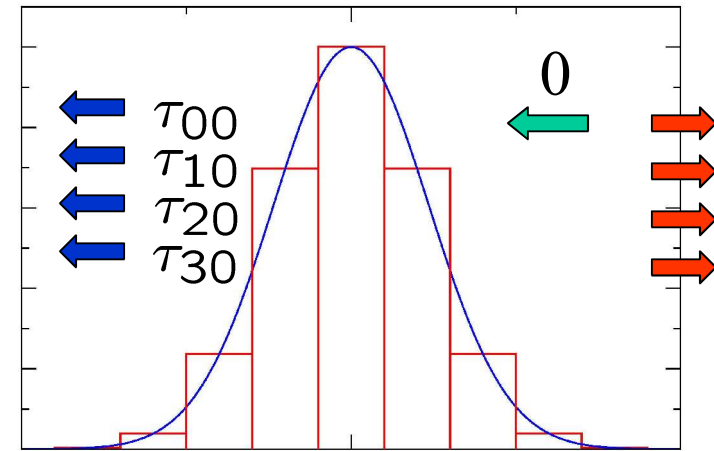
# (参考)結合チャンネル方程式を WKB 近似で解く

1次元ポテンシャルの透過確率に対する WKB 公式:

$$P_{WKB}(E) = \exp \left[ -2 \int_{x_0}^{x_1} dx' \sqrt{\frac{2m}{\hbar^2} (V(x') - E)} \right]$$

→ 結合チャンネル問題への  
一般化

K.H., A.B. Balantekin, Phys. Rev. A70 ('04) 032106

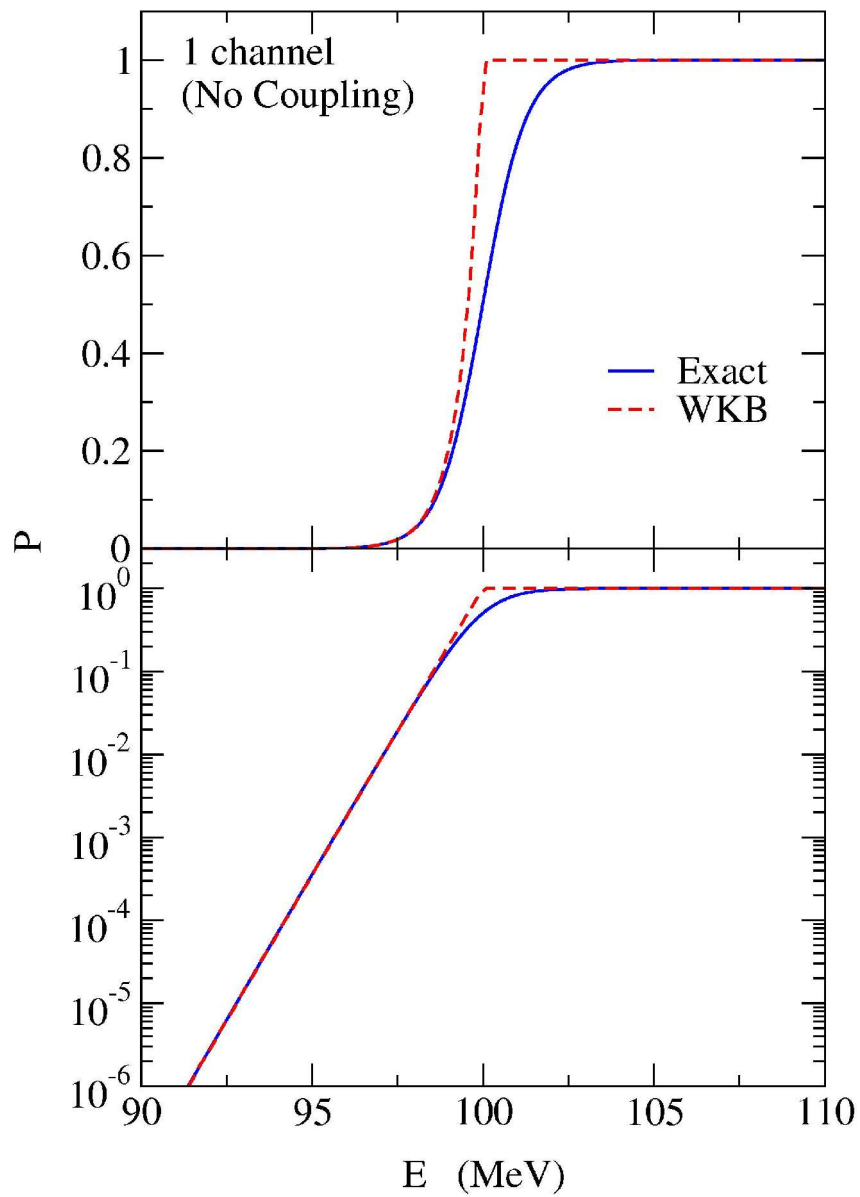


$$\tau = \left( \prod_i e^{i\mathbf{q}(x_i)\Delta x} \right)$$

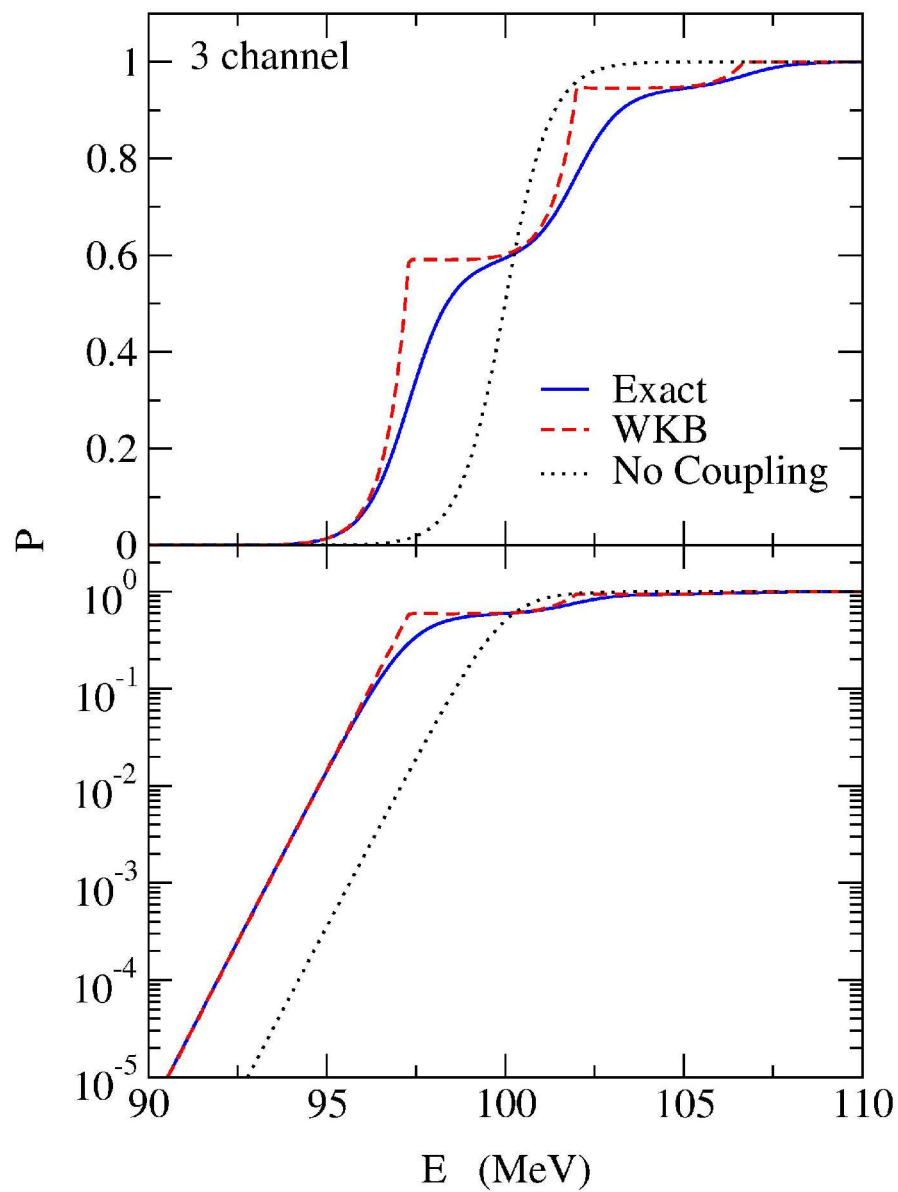
$$\mathbf{q}(x) = [2m(E - \mathbf{W}(x))/\hbar^2]^{1/2}, \quad W_{nm}(x) = V_{nm}(x) + \epsilon_n \delta_{n,m}$$

$$P_{WKB}(E) = \sum_n |\tau_{n0}|^2 = \sum_n \left| \left( \prod_i e^{i\mathbf{q}(x_i)\Delta x} \right)_{n0} \right|^2$$

## 1 channel



## 3 channel

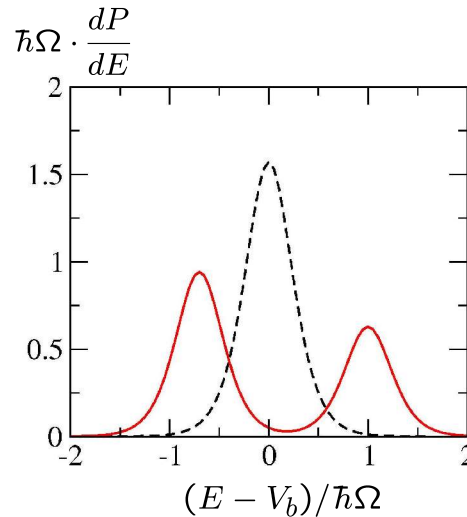
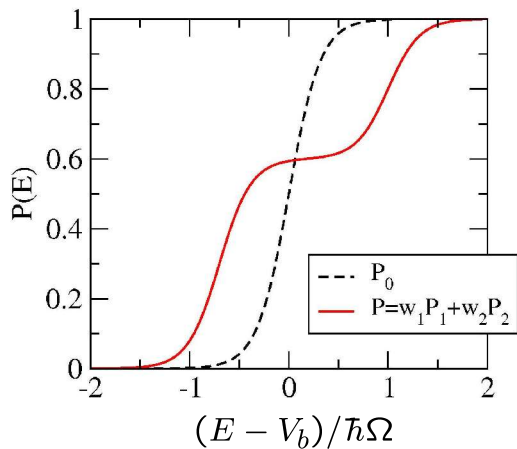


# Sub-barrier Fusion と障壁分布法

- 低エネルギー核融合反応はトンネル効果で起きる
- 結合チャンネルの効果は多数の障壁の分布として理解できる
- 核融合反応断面積は多数の障壁の平均

$$\begin{aligned}\sigma_{\text{fus}}(E) &= \int_0^1 d(\cos \theta) \sigma_{\text{fus}}(E; \theta) \\ &= \frac{\pi}{k^2} \sum_l (2l + 1) \left[ \int_0^1 d(\cos \theta) P_l(E; \theta) \right]\end{aligned}$$

## スピン系のトンネル



障壁の分布の様子は  
透過確率の微分をとると  
はっきりと目に見える



核融合反応断面積を用いて同様のことはできないか？

1つの考慮すべき点: 実験で測られるのは核融合断面積であって透過確率ではない。

$$\longrightarrow P_{l=0}(E) \simeq \frac{1}{\pi R_b^2} \cdot \frac{d(E\sigma_{\text{fus}})}{dE}$$

$$\longrightarrow D_{\text{fus}}(E) \equiv \frac{d^2(E\sigma_{\text{fus}})}{dE^2} \simeq \pi R_b^2 \frac{dP_{l=0}}{dE}$$

(核融合障壁分布)

N. Rowley, G.R. Satchler,  
P.H. Stelson, PLB254('91)25

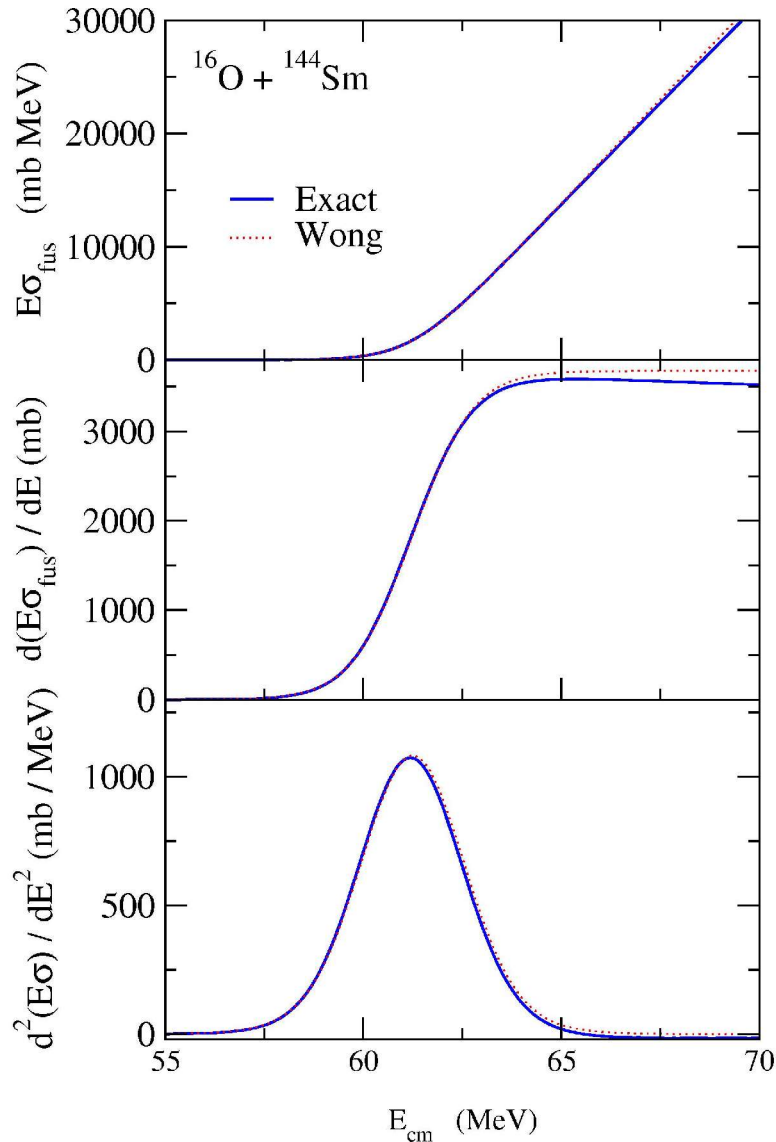
(note) 古典的な核融合反応断面積

$$\sigma_{\text{fus}}^{\text{cl}}(E) = \pi R_b^2 \left(1 - \frac{V_b}{E}\right) \theta(E - V_b)$$

$$\hookrightarrow \frac{d}{dE} [E\sigma_{\text{fus}}^{\text{cl}}(E)] = \pi R_b^2 \theta(E - V_b) = \pi R_b^2 P_{\text{cl}}(E)$$

$$\frac{d^2}{dE^2} [E\sigma_{\text{fus}}^{\text{cl}}(E)] = \pi R_b^2 \delta(E - V_b)$$

## Fusion Test Function



Classical fusion cross section:

$$\sigma_{\text{fus}}^{\text{cl}}(E) = \pi R_b^2 \left(1 - \frac{V_b}{E}\right) \theta(E - V_b)$$



$$\begin{aligned} \frac{d}{dE} [E \sigma_{\text{fus}}^{\text{cl}}(E)] &= \pi R_b^2 \theta(E - V_b) \\ &= \pi R_b^2 P_{\text{cl}}(E) \\ \frac{d^2}{dE^2} [E \sigma_{\text{fus}}^{\text{cl}}(E)] &= \pi R_b^2 \delta(E - V_b) \end{aligned}$$

Tunneling effect

→ smears the delta function

Fusion test function:

- Symmetric around  $E = V_b$
- Centered on  $E = V_b$
- Its integral over  $E$  is  $\pi R_b^2$
- Has a relatively narrow width ( $\sim 0.56 \hbar \Omega$ )

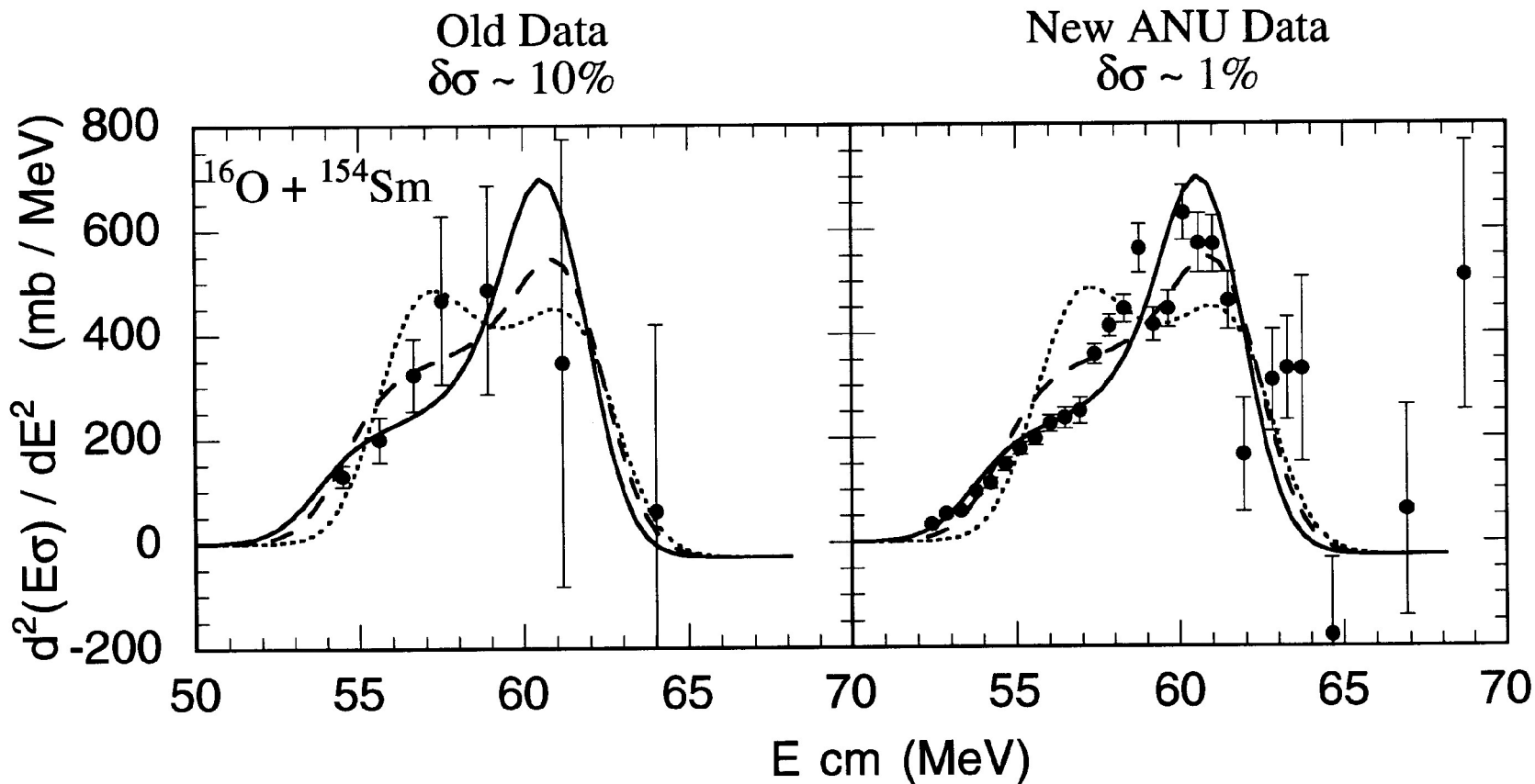
# 障壁分布測定

核融合障壁分布

$$D_{\text{fus}}(E) = \frac{d^2(E\sigma)}{dE^2}$$

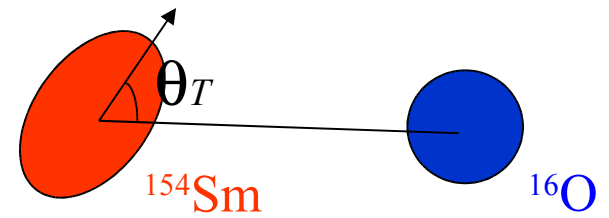
2階微分をとるために非常に高精度の実験データが必要

(90年代初頭)

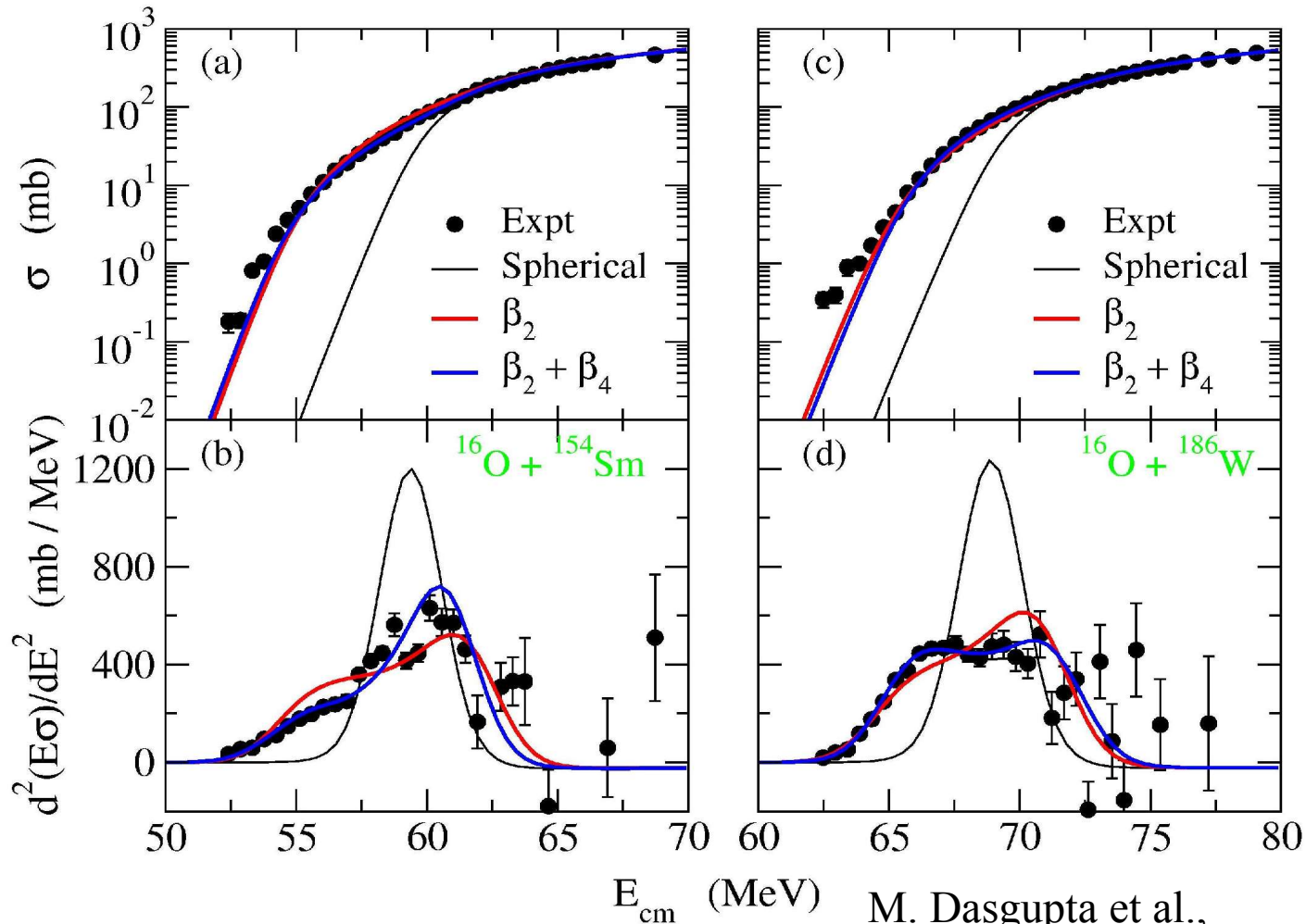


# Experimental Barrier Distribution

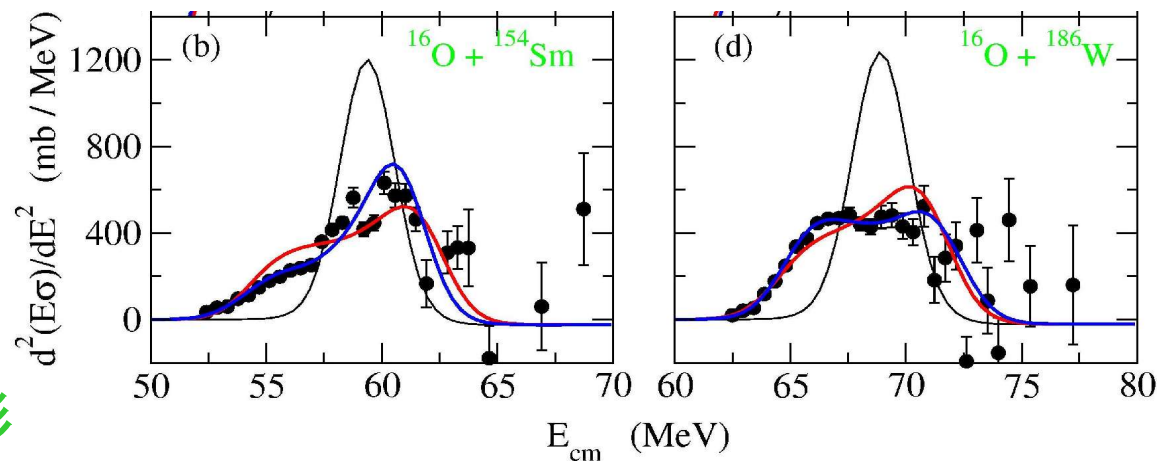
Requires high precision data



$$\sigma_{\text{fus}}(E) = \int_0^1 d(\cos \theta_T) \sigma_{\text{fus}}(E; \theta_T)$$



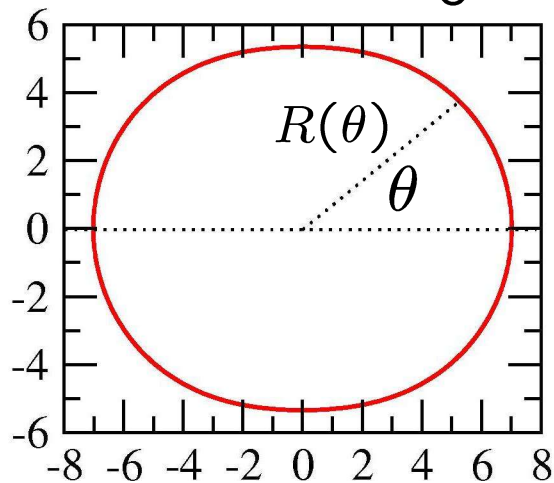
# 障壁分布を通じて原子核の形を見る



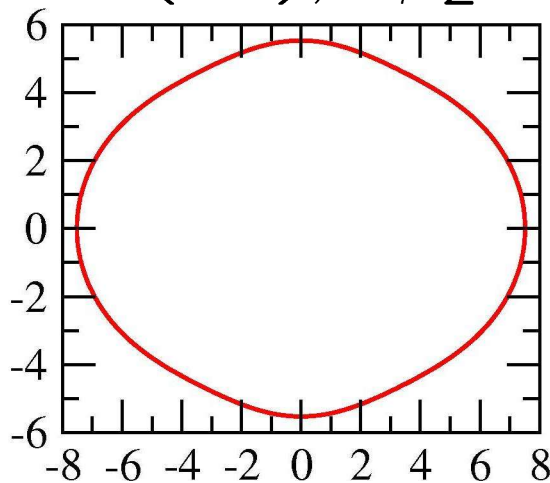
原子核の形

$$R(\theta) = R_0(1 + \beta_2 Y_{20}(\theta) + \beta_4 Y_{40}(\theta) + \dots)$$

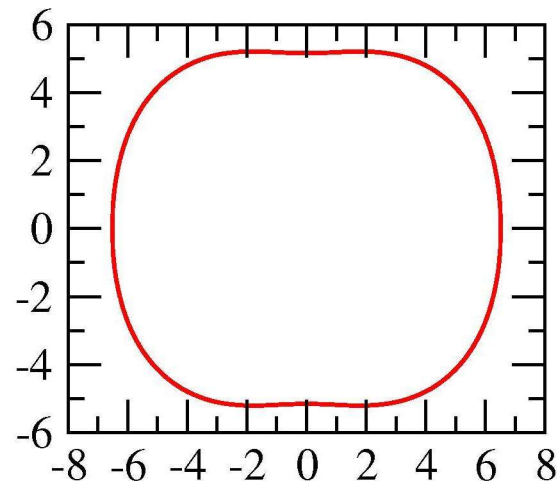
$$R_0 = 5.9 \text{ (fm)}, \quad \beta_2 = 0.3$$



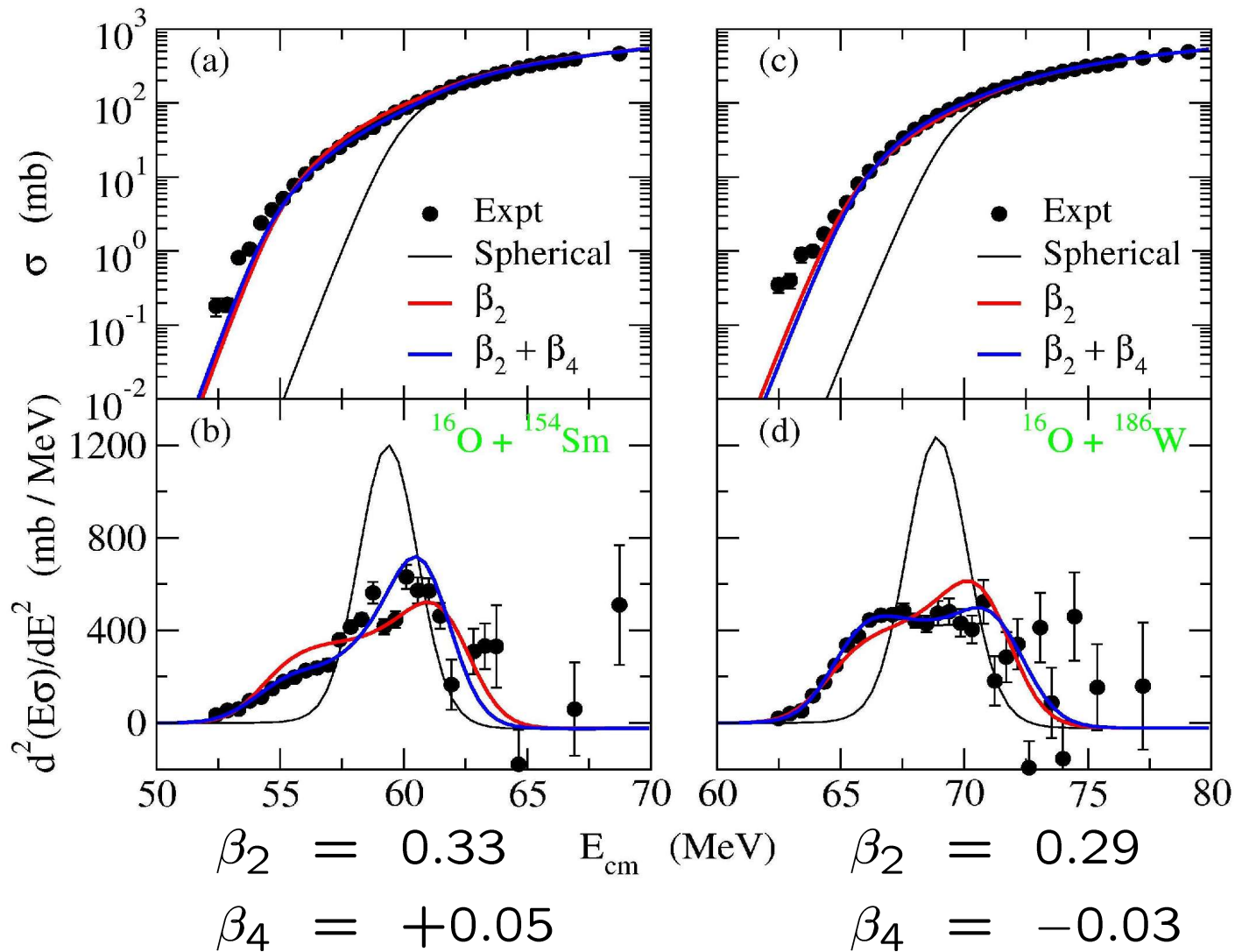
$$\beta_4 = 0$$



$$\beta_4 = 0.1$$



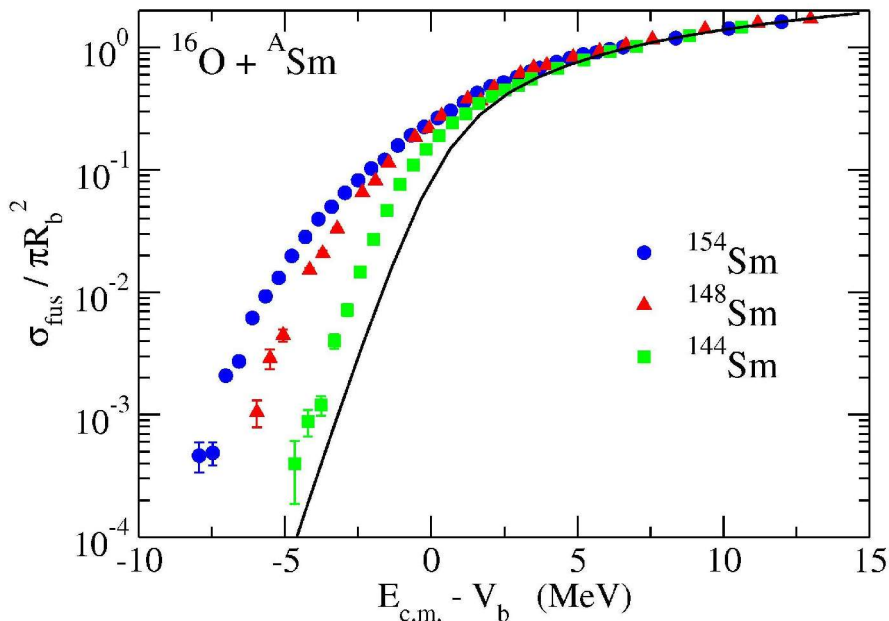
$$\beta_4 = -0.1$$



障壁分布をとることによって、 $\beta_4$ による違いがかなりはっきりと目に見える！

➡ 原子核に対する量子トンネル顕微鏡としての核融合反応

# 障壁分布法の意義

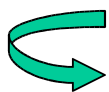


核融合反応断面積



非常に強い指数関数的エネルギー依存性

核構造の詳細による違いが見えづらい



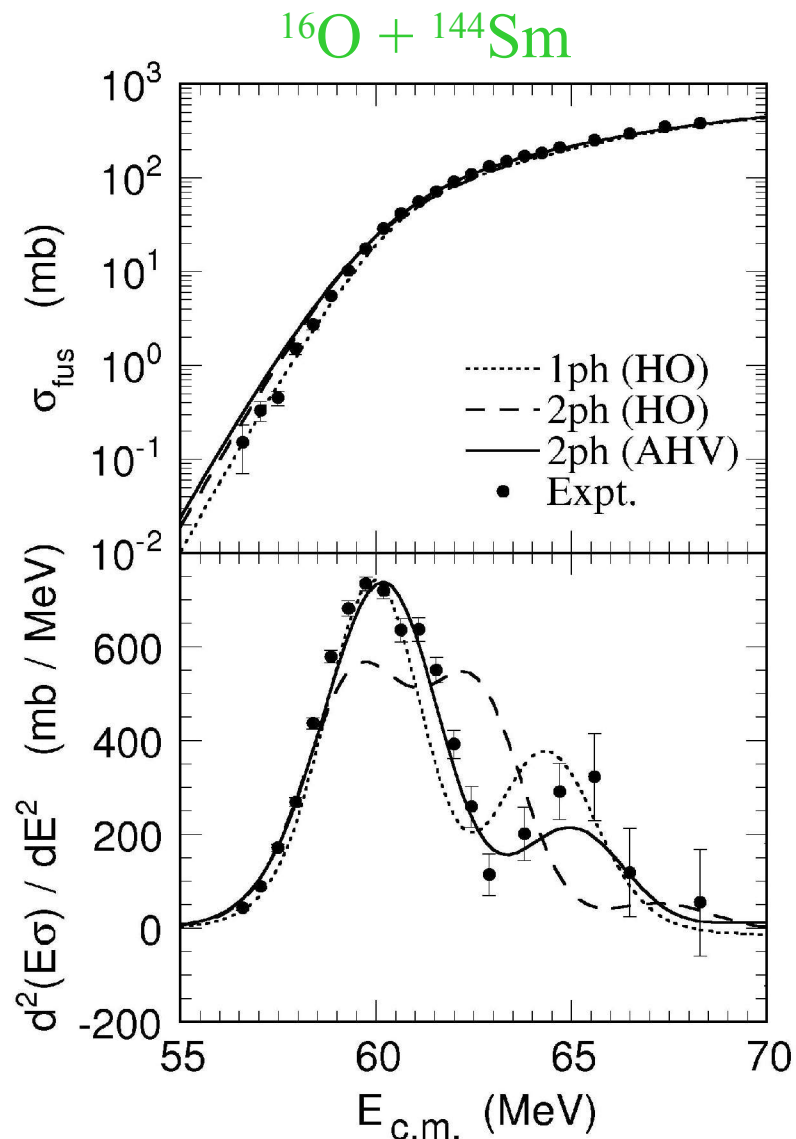
断面積を別の方法でプロットする: 核融合障壁分布

$$D_{\text{fus}}(E) = \frac{d^2(E\sigma)}{dE^2}$$

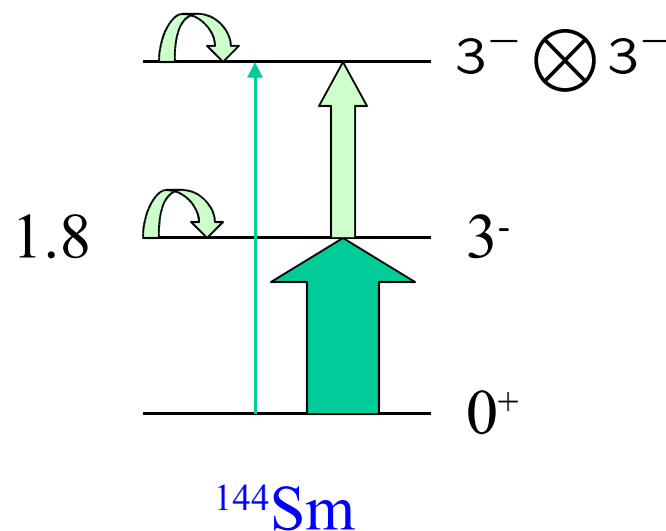
N. Rowley, G.R. Satchler,  
P.H. Stelson, PLB254('91)25

核構造の詳細に敏感な関数

# 球形振動核の例



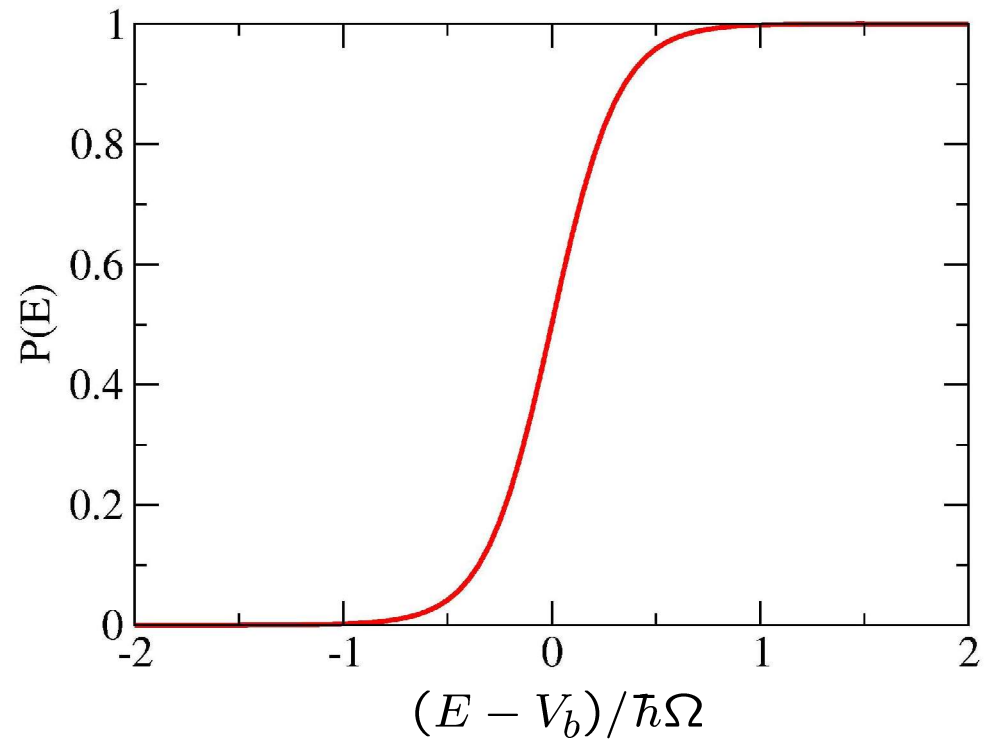
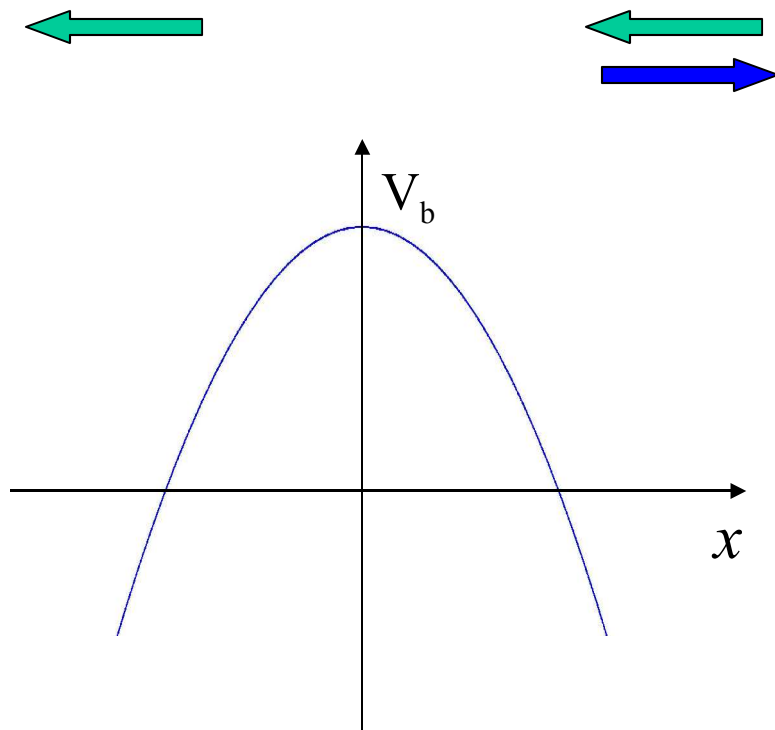
## Octupole 振動の非調和性



Quadrupole moment:  
 $Q(3^-) = -0.70 \pm 0.02\text{b}$

K.Hagino, N. Takigawa, and S. Kuyucak,  
 PRL79('97)2943

# 量子反射と重イオン準弾性散乱



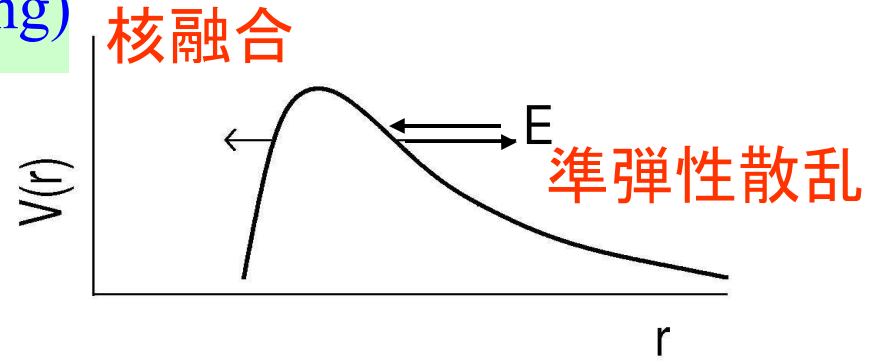
量子力学では  $E > V_b$  でも反射が起こる  $\longrightarrow$  量子反射

$$P(E) + R(E) = 1$$

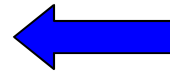
反射確率は透過確率と同じ情報を持ち、反射確率を用いて障壁分布を定義することも可能

# 準弾性散乱 (Quasi-Elastic Scattering)

核融合反応を除く全てのプロセスの和 (弾性散乱 + 非弾性散乱 + 核子移行反応 + ……)



クーロン障壁で跳ね返り検出器に入ってきた粒子を全てつかまえる



反射確率に関する



核融合反応と相補的

変形核では……



$$\left\{ \begin{array}{l} \sigma_{\text{fus}}(E) = \int_0^1 d(\cos \theta_T) \sigma_{\text{fus}}(E; \theta_T) \\ \sigma_{\text{qel}}(E, \theta) = \sum_I \sigma(E, \theta) = \int_0^1 d(\cos \theta_T) \sigma_{\text{el}}(E, \theta; \theta_T) \end{array} \right.$$

# 準弾性散乱障壁分布

$$\sigma_{\text{fus}}(E) = \int_0^1 d(\cos \theta_T) \sigma_{\text{fus}}(E; \theta_T)$$

$$D_{\text{fus}}(E) = \frac{d^2(E \sigma_{\text{fus}})}{dE^2}$$



$$\sigma_{\text{qel}}(E, \theta) = \sum_I \sigma(E, \theta) = \int_0^1 d(\cos \theta_T) \sigma_{\text{el}}(E, \theta; \theta_T)$$

## 準弾性散乱障壁分布:

$$D_{\text{qel}}(E) = -\frac{d}{dE} \left( \frac{\sigma_{\text{qel}}(E, \pi)}{\sigma_R(E, \pi)} \right)$$

H. Timmers et al.,  
NPA584('95)190

(note) クーロン力が強い場合の古典的弾性散乱の断面積:

$$\sigma_{\text{el}}^{\text{cl}}(E, \pi) = \sigma_R(E, \pi) \theta(V_b - E)$$

$$\hookrightarrow \frac{\sigma_{\text{el}}^{\text{cl}}(E, \pi)}{\sigma_R(E, \pi)} = \theta(V_b - E) = R(E)$$

## Quasi-elastic Test Function

Classical elastic cross section (in the limit of a strong Coulomb):

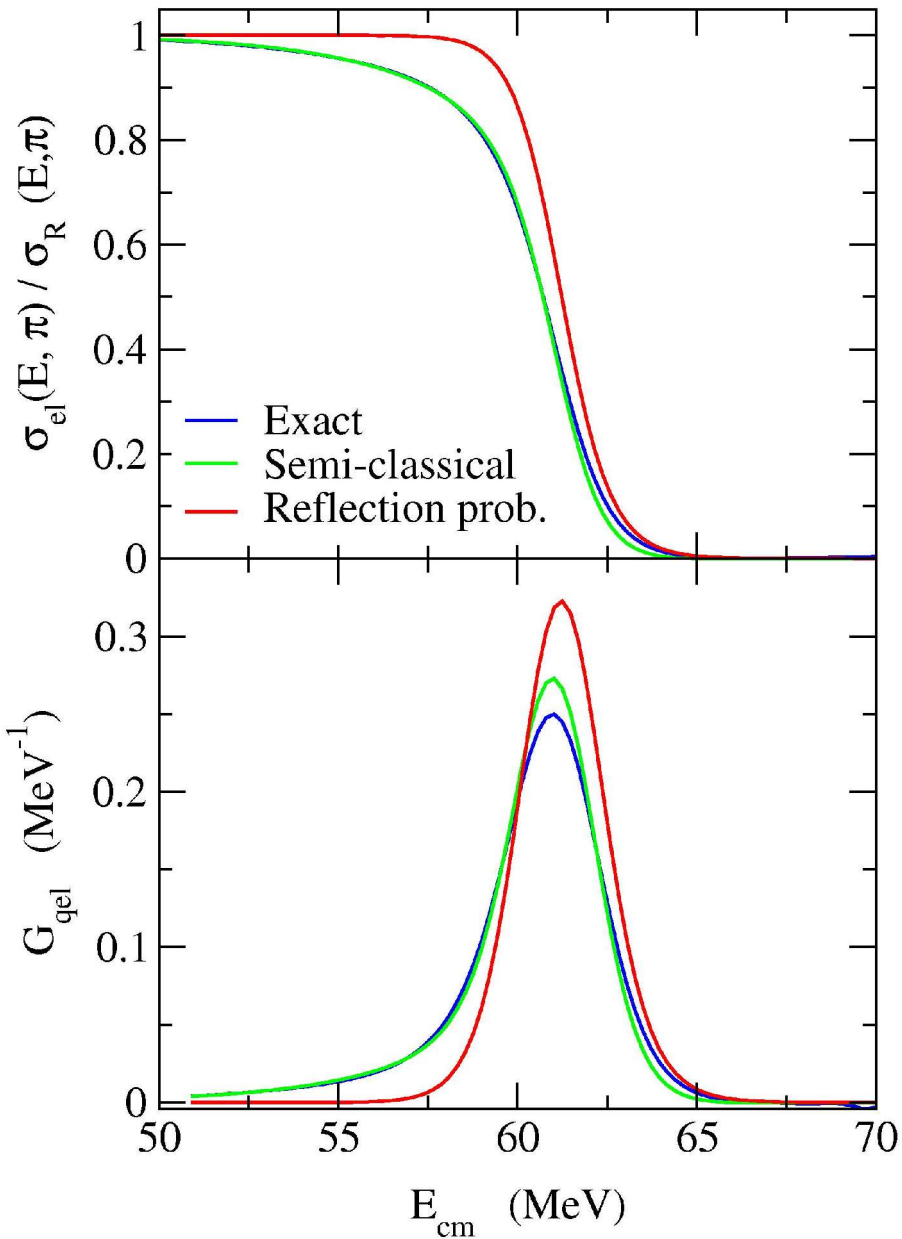
$$\sigma_{\text{el}}^{\text{cl}}(E, \pi) = \sigma_R(E, \pi) \theta(V_b - E)$$



$$\frac{\sigma_{\text{el}}^{\text{cl}}(E, \pi)}{\sigma_R(E, \pi)} = \theta(V_b - E) = R(E)$$
$$-\frac{d}{dE} \left( \frac{\sigma_{\text{el}}^{\text{cl}}(E, \pi)}{\sigma_R(E, \pi)} \right) = \delta(E - V_b)$$

Nuclear effects  Semi-classical perturbation theory

$$\frac{\sigma_{\text{el}}(E, \pi)}{\sigma_R(E, \pi)} \sim \left( 1 + \frac{V_N(r_c)}{ka} \frac{\sqrt{2a\pi k\eta}}{E} \right) \cdot R(E)$$



### *Quasi-elastic test function*

$$G_{\text{qel}}(E) \equiv -\frac{d}{dE} \left( \frac{\sigma_{\text{el}}(E, \pi)}{\sigma_{\text{R}}(E, \pi)} \right)$$

- The peak position slightly deviates from  $V_{\text{b}}$
- Low energy tail
  - Integral over  $E$ : unity
  - Relatively narrow width



Close analog to fusion b.d.

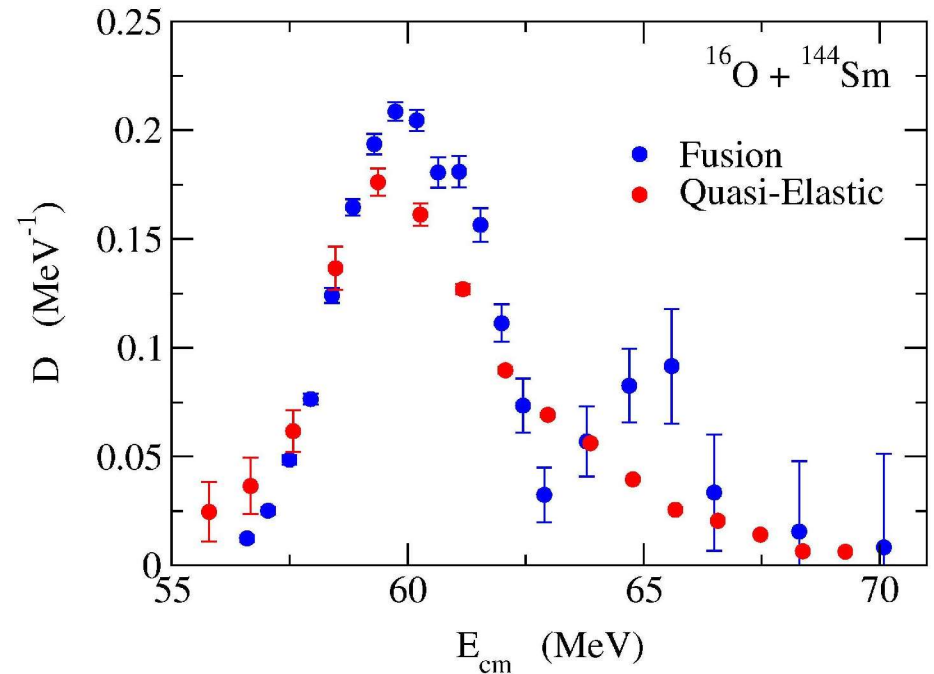
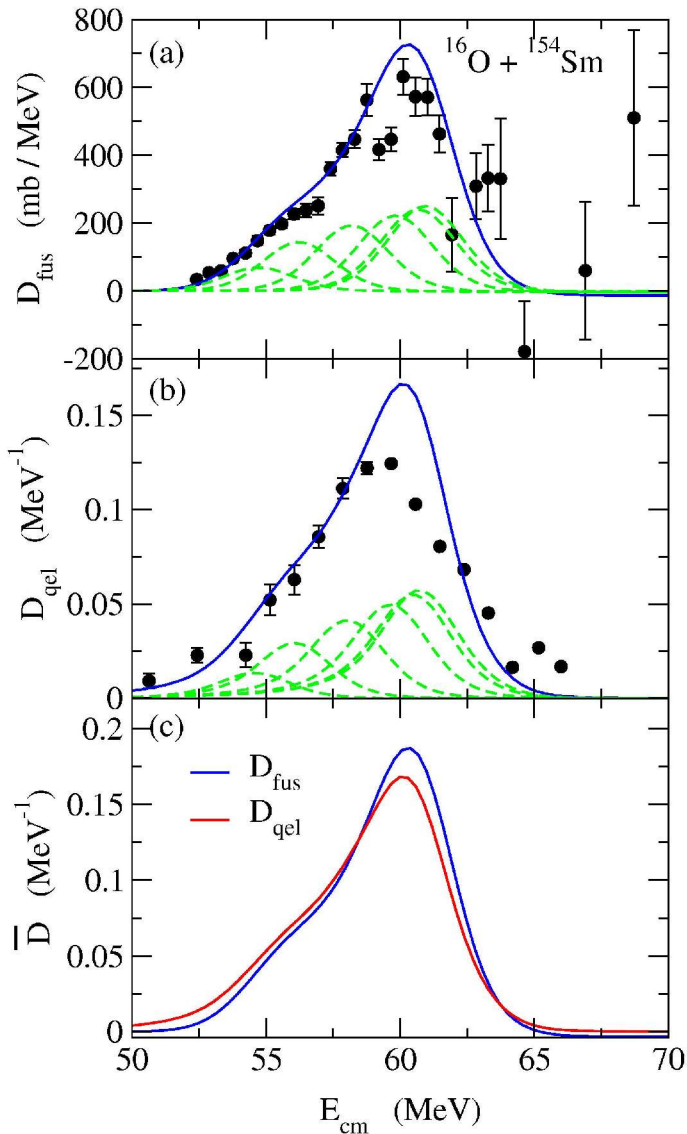
# $D_{\text{fus}}$ と $D_{\text{qel}}$ の比較

核融合障壁分布

$$D_{\text{fus}}(E) = \frac{d^2(E\sigma_{\text{fus}})}{dE^2}$$

準弾性障壁分布

$$D_{\text{qel}}(E) = -\frac{d}{dE} \left( \frac{\sigma_{\text{qel}}(E, \pi)}{\sigma_R(E, \pi)} \right)$$



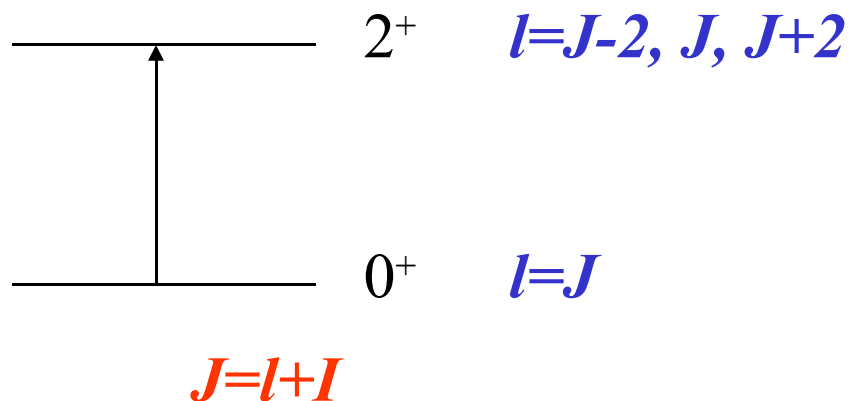
H. Timmers et al., NPA584('95)190

大まかな構造は非常に似通っている

## Comment on the iso-centrifugal approximation

Inelastic excitations: Coupled-channels method

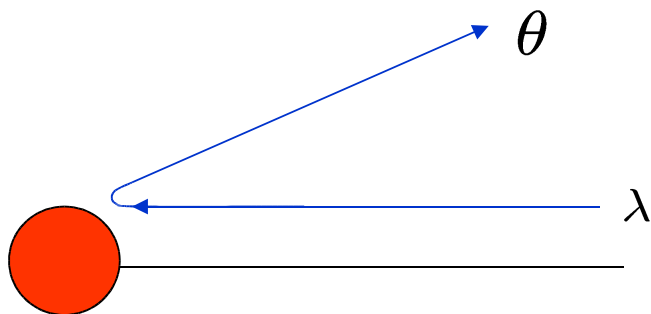
Inherent problem  $\rightarrow$  dimensionality



| Truncation | Dimension          |
|------------|--------------------|
| $2^+$      | 4 $\rightarrow$ 2  |
| $4^+$      | 9 $\rightarrow$ 3  |
| $6^+$      | 16 $\rightarrow$ 4 |
| $8^+$      | 25 $\rightarrow$ 5 |

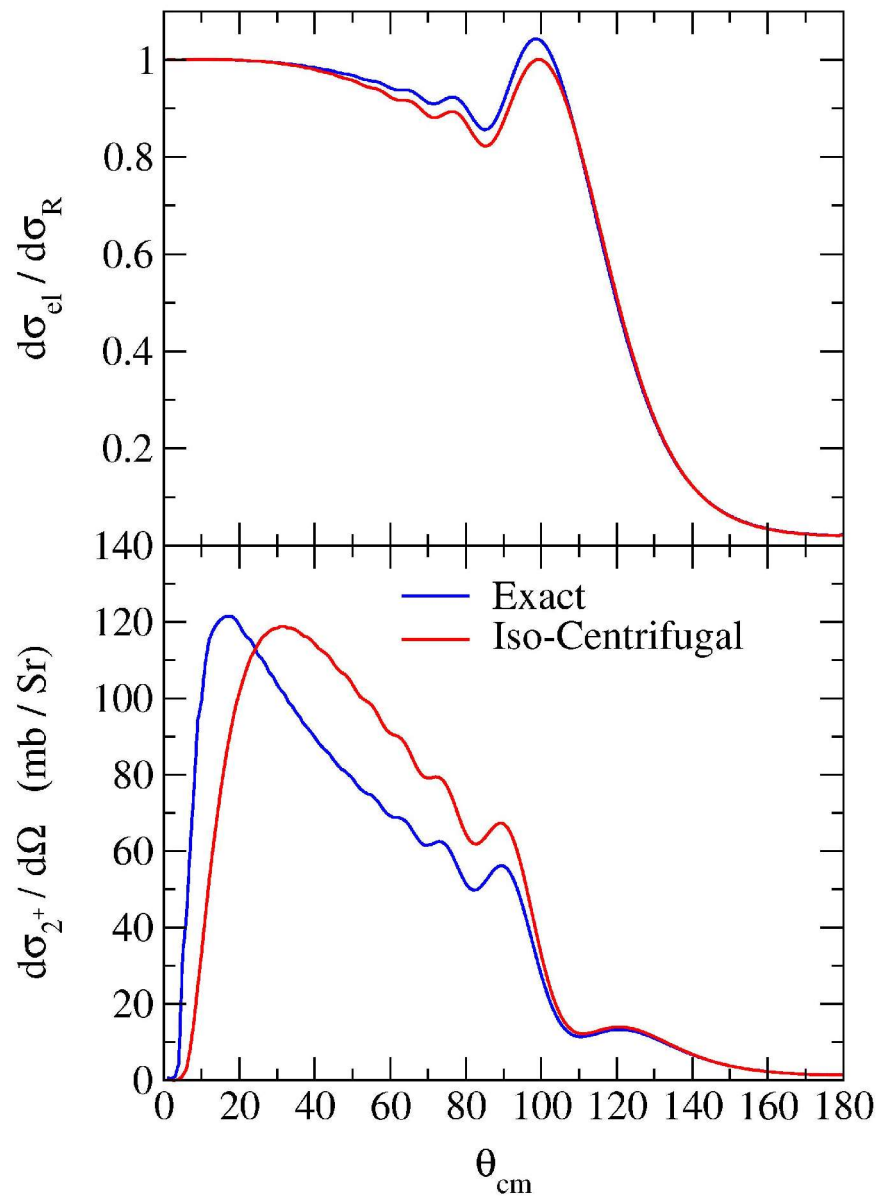
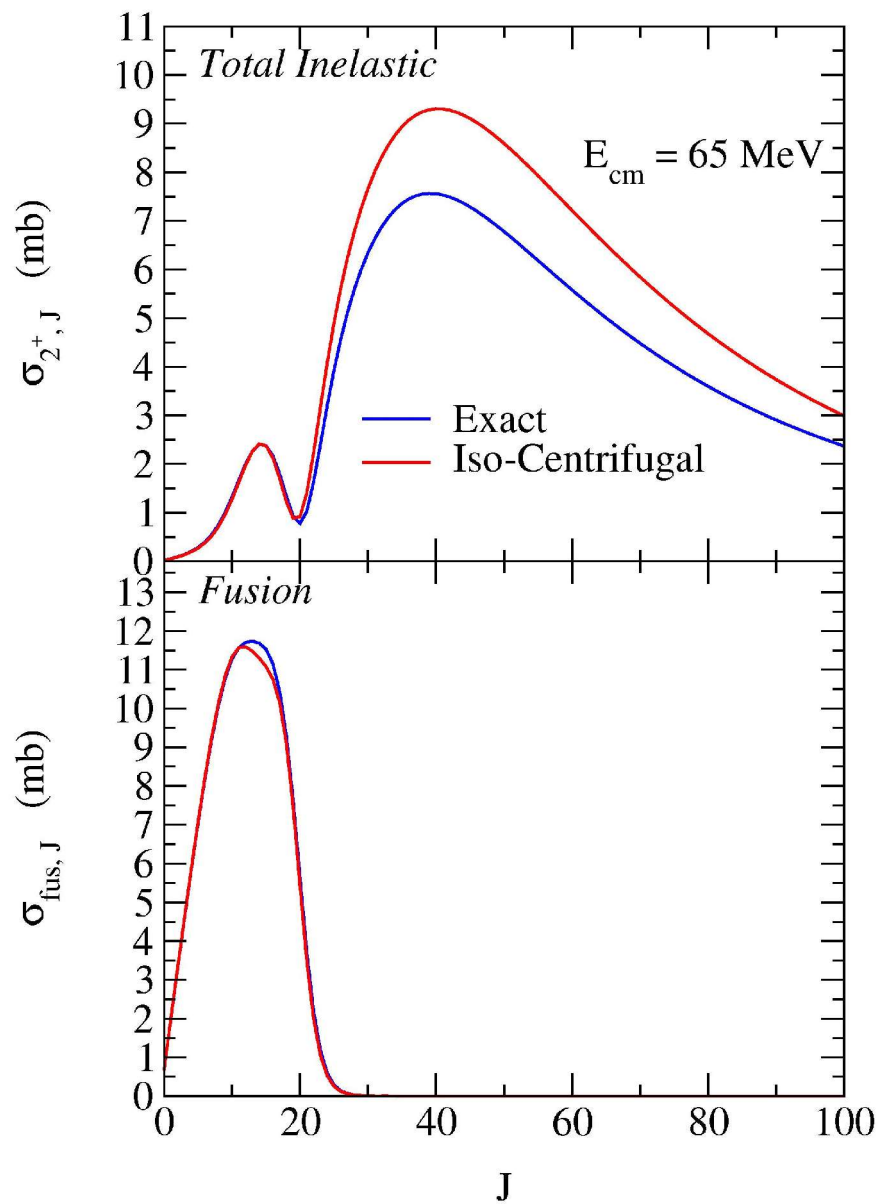
## Iso-centrifugal approximation:

$\lambda$ : independent of excitations

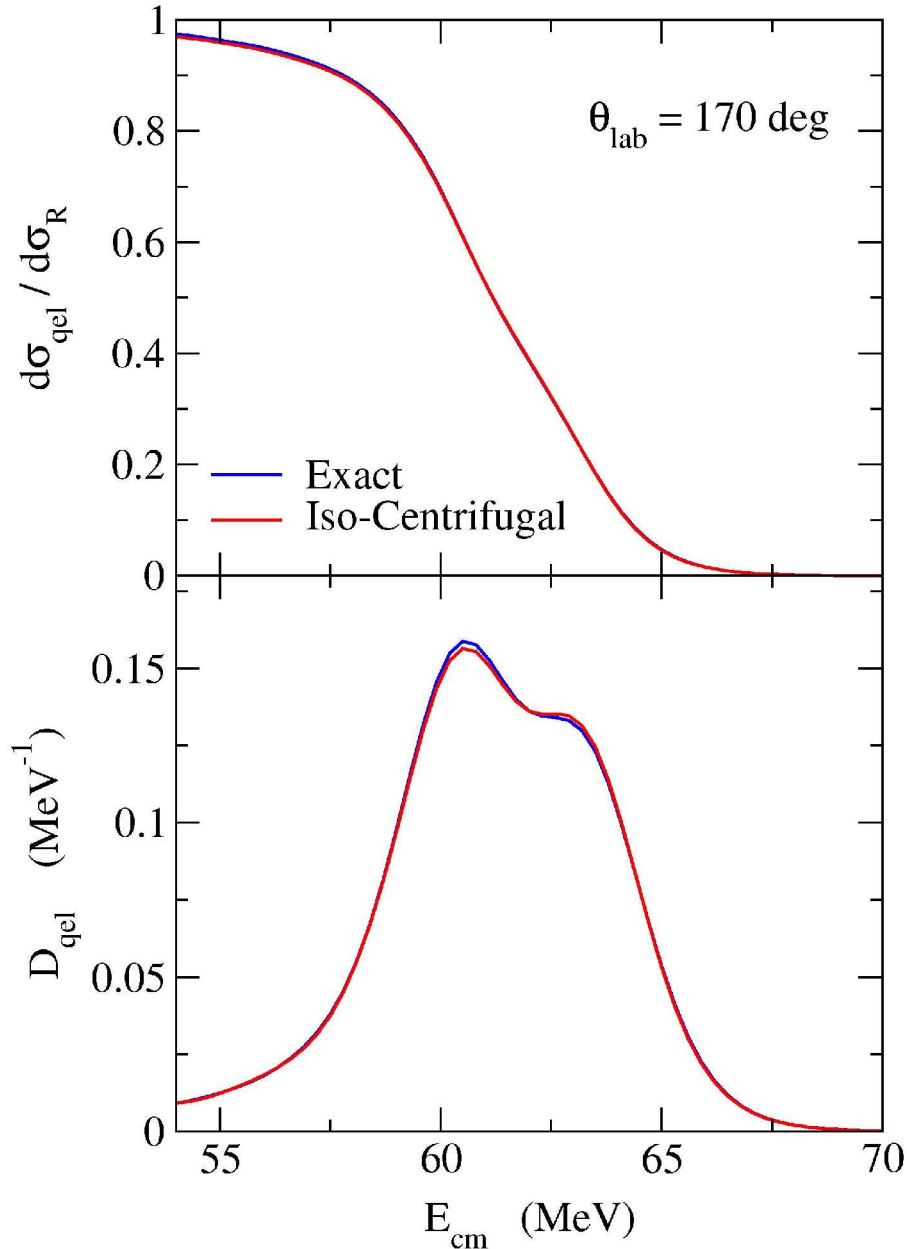


- Works well for fusion
- Not successful for scattering

# $^{16}\text{O} + ^{144}\text{Sm} (2^+)$



$^{16}\text{O} + ^{144}\text{Sm} (2^+)$



Backward scattering

↔ Small ang. mom.



Iso-centrifugal approximation works good enough

- Simplifies C.C. calculations
- Ensures the similarities between  $D_{\text{fus}}$  and  $D_{\text{qel}}$  in CC systems

# 準弾性散乱障壁分布を測定する利点

$$D_{\text{qel}}(E) = -\frac{d}{dE} \left( \frac{\sigma_{\text{qel}}(E, \pi)}{\sigma_R(E, \pi)} \right)$$

$$D_{\text{fus}}(E) = \frac{d^2(E\sigma_{\text{fus}})}{dE^2}$$

- 両者とも核構造に敏感（例えば  $\beta_4$  の符号）
- 実験精度が比較的悪くても大丈夫（1階微分 vs 2階微分）
- 核融合に比べて実験が容易

準弾性散乱: 後方に来た粒子をすべて押さえればよい

核融合: recoil separator などを用いて核融合生成物をビームと分離する必要あり

- 一つのビーム・ラインで様々な実効エネルギーの断面積を測定できる

散乱角度と遠心力ポテンシャルの関係

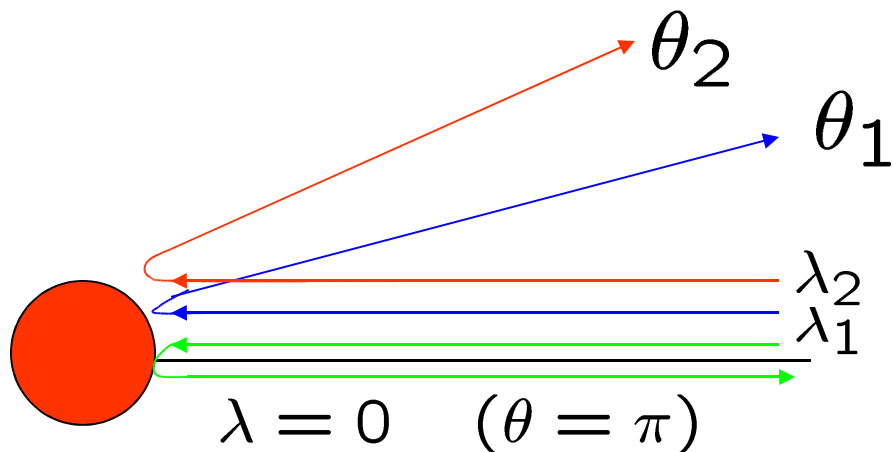


# Scaling property of $D_{\text{qel}}$

Expt.: impossible to perform

at  $\theta = \pi$

→ Relation among different  $\theta$ ?



Effective energy:

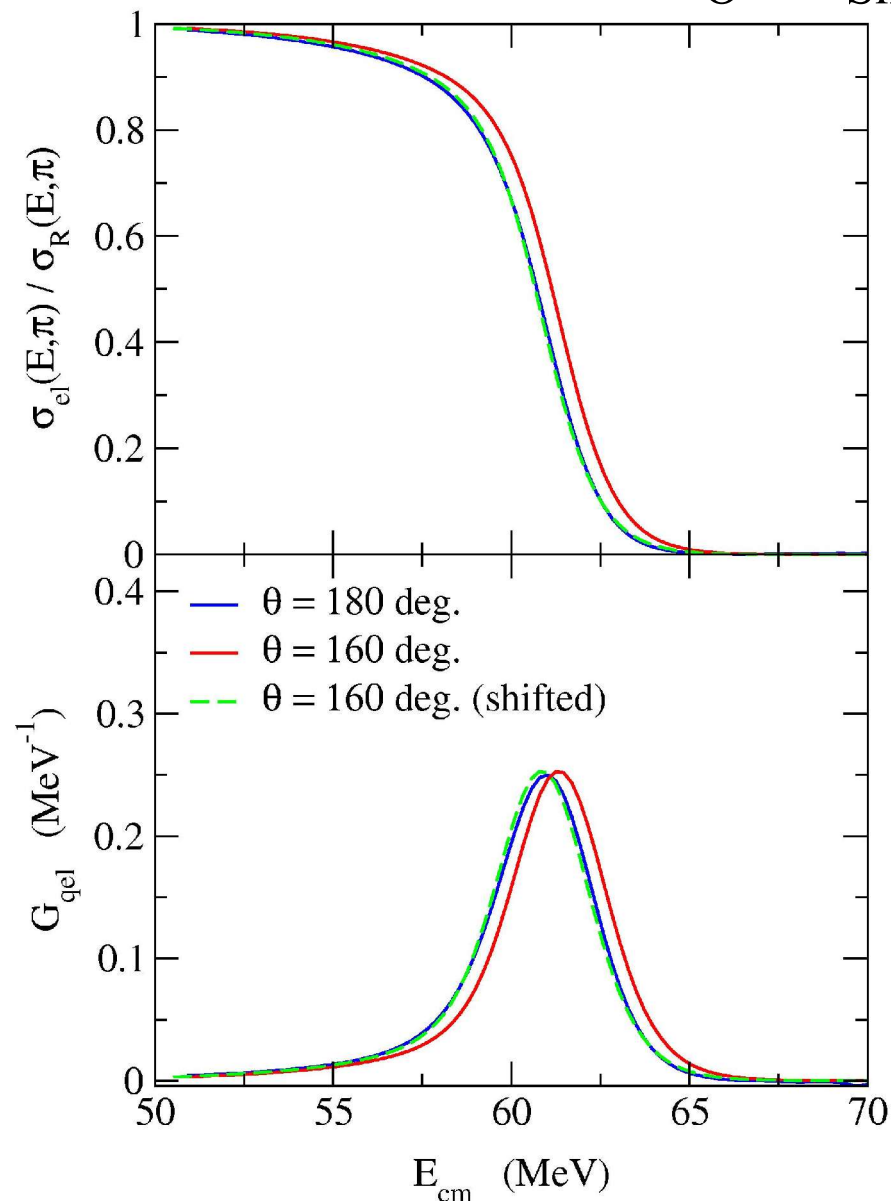
$$E_{\text{eff}} \sim E - \frac{\lambda_c^2 \hbar^2}{2\mu r_c^2}$$

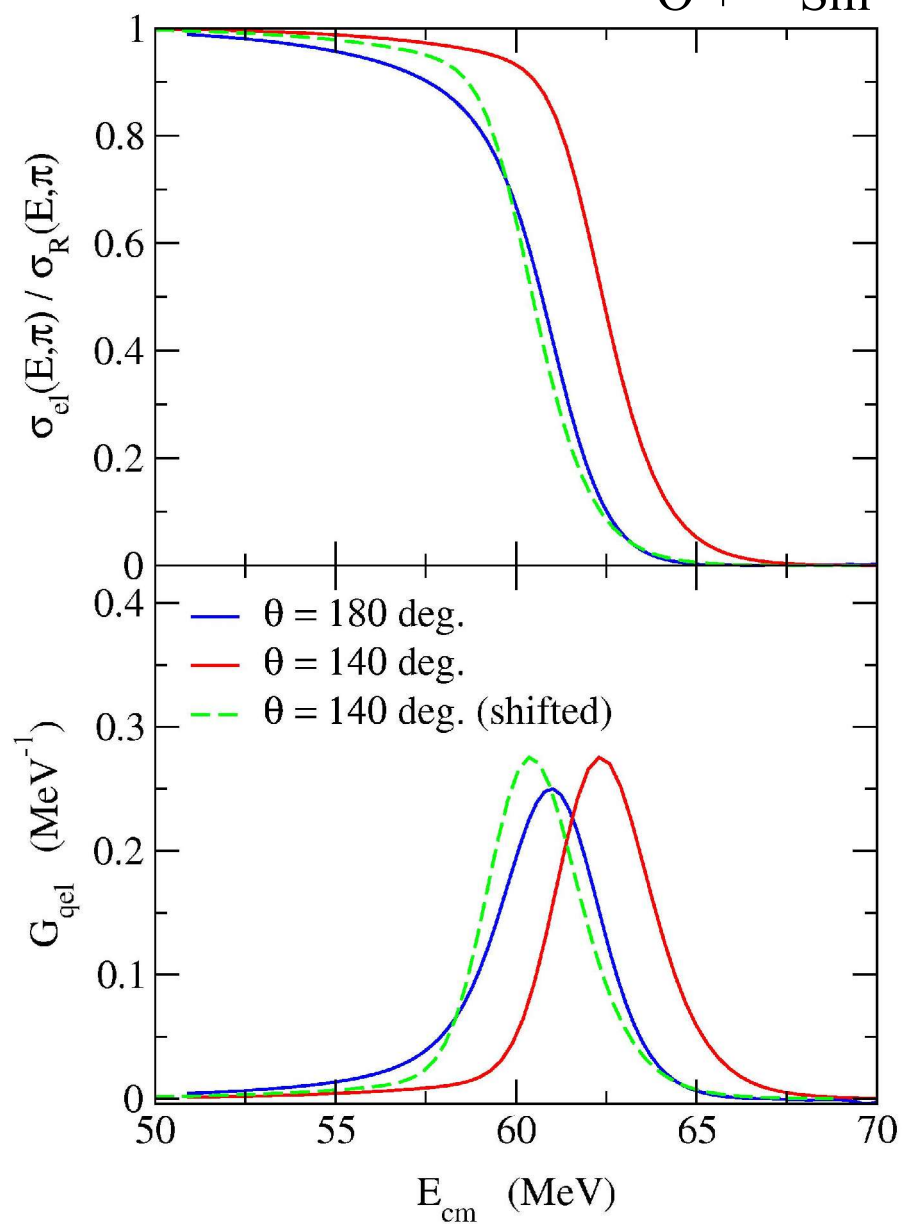
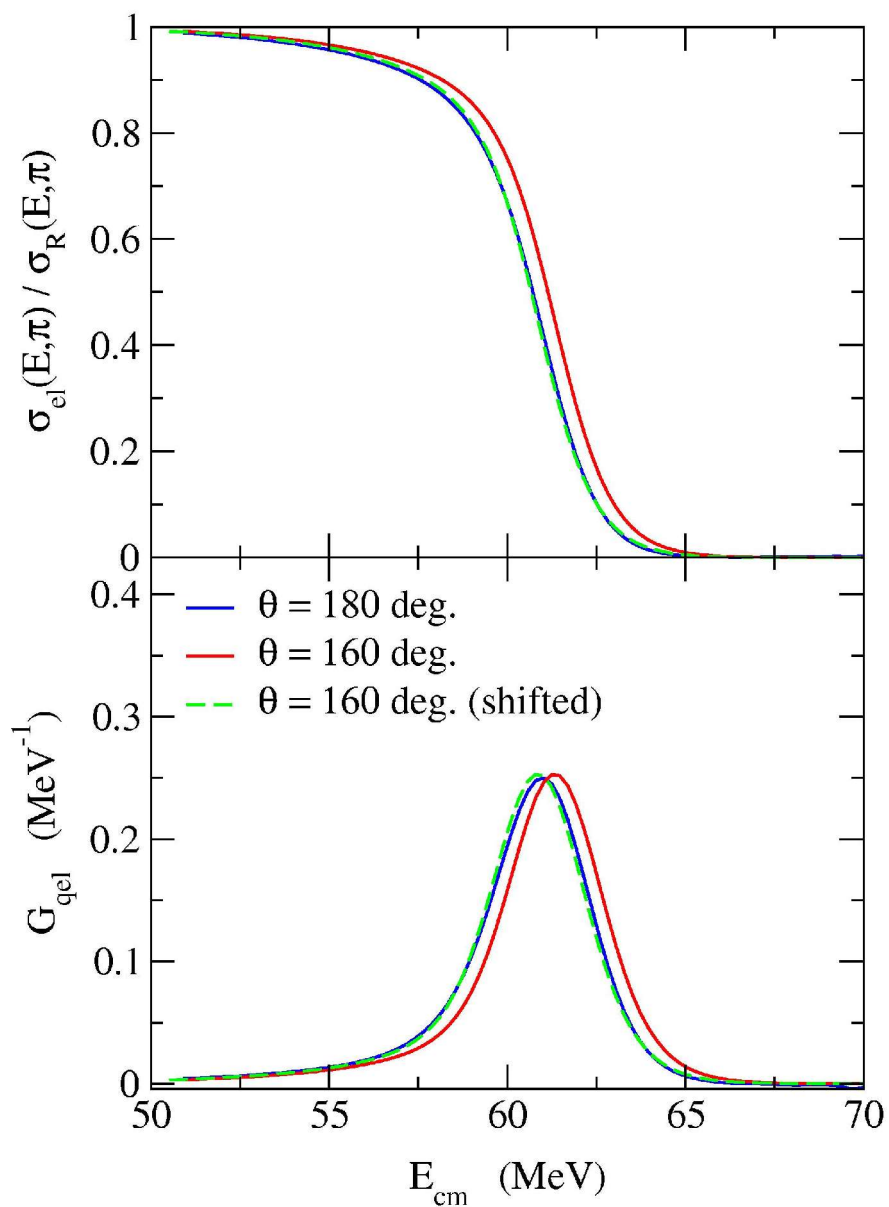
$$= 2E \frac{\sin(\theta/2)}{1 + \sin(\theta/2)}$$

$$D_{\text{qel}}(E, \theta) \sim D_{\text{qel}}(E_{\text{eff}}, \pi)$$

$$\lambda_c = \eta \cot(\theta/2)$$

$^{16}\text{O} + ^{144}\text{Sm}$



$^{16}\text{O} + ^{144}\text{Sm}$ 

# 準弾性散乱障壁分布を測定する利点

$$D_{\text{qel}}(E) = -\frac{d}{dE} \left( \frac{\sigma_{\text{qel}}(E, \pi)}{\sigma_R(E, \pi)} \right) \quad D_{\text{fus}}(E) = \frac{d^2(E\sigma_{\text{fus}})}{dE^2}$$

- 両者とも核構造に敏感（例えば  $\beta_4$  の符号）
- 実験精度が比較的悪くても大丈夫（1階微分 vs 2階微分）
- 核融合に比べて実験が容易

準弾性散乱：後方にきた粒子をすべて押さえればよい

核融合：recoil separator などを用いて核融合生成物をビームと分離する必要あり

- 一つのビーム・ラインで様々な実効エネルギーの断面積を測定できる

↔ 散乱角度と遠心力ポテンシャルの関係

→ **ビーム強度が強くない不安定核ビームの実験に最適**

準弾性散乱を用いて不安定原子核の構造研究が可能

# 不安定核ビームを用いた実験

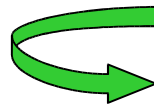
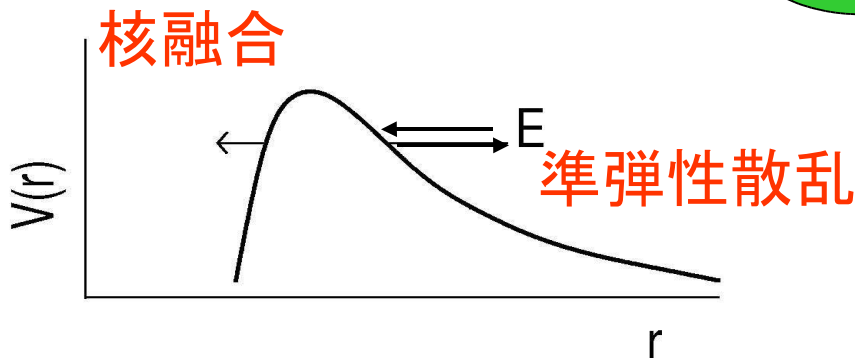
核融合障壁分布: 高精度の核融合反応断面積が必要

不安定核ビーム: ビーム強度は安定核ビームに比べて弱い

→ 高精度のデータは現段階では望み薄

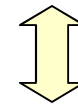


他の手段で障壁分布を引き出すことは可能か？



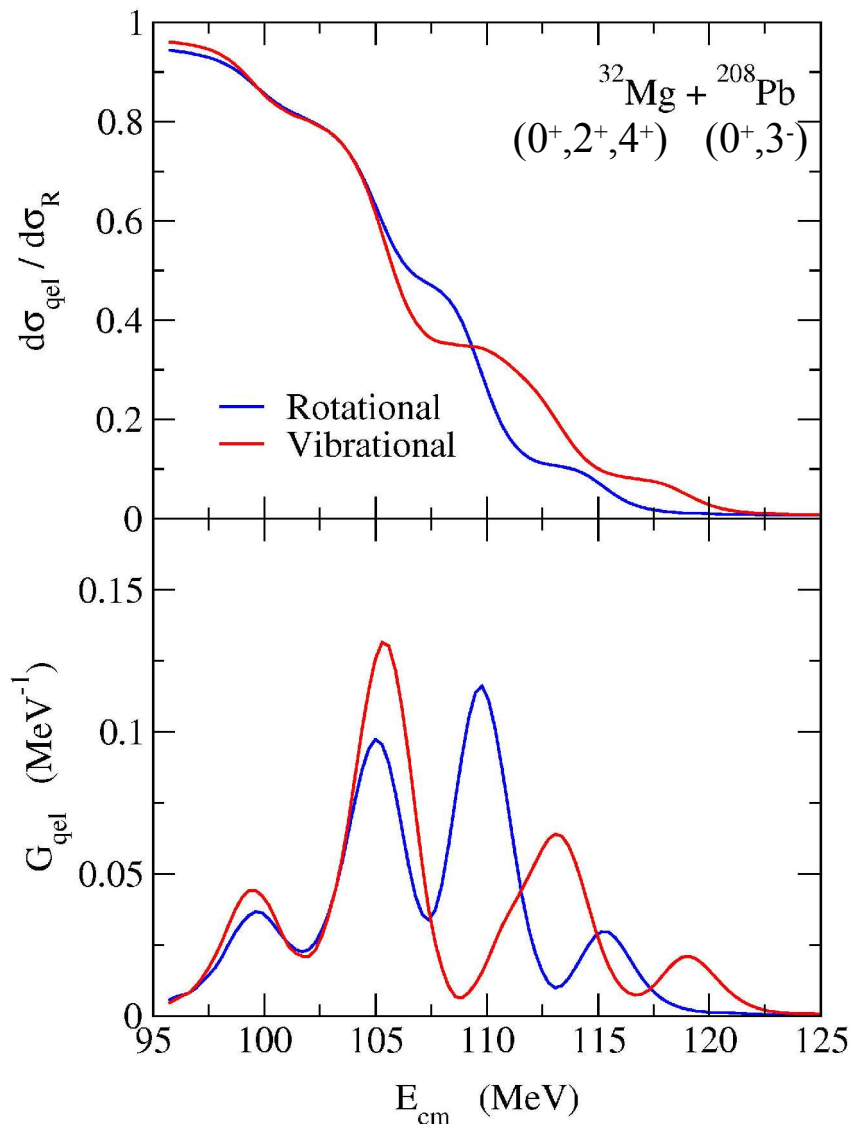
透過確率の代わりに  
反射確率に注目

$$P + R = 1$$



準弾性散乱障壁分布

# 不安定核ビームを用いた準弾性障壁分布



低強度不安定核ビーム:

準弾性障壁分布の測定

(例えば)

$^{32}\text{Mg}$

理研における実験:

大きい $B(E2)$ と小さい $E_{2^+}$

←→ 変形?

平均場近似計算 → 球形?

$^{16}\text{C}$

陽子と中性子の異なる  
(静的)変形?

中性子のみの振動励起?

(その他に)

中性子過剰核に特有な集団励起  
構造の探求

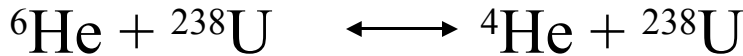
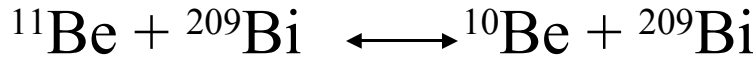
# 準弾性散乱を用いた重イオン間ポテンシャルの研究

## 1) 中性子過剰核の核融合反応

Reference cross section をどうとるか？

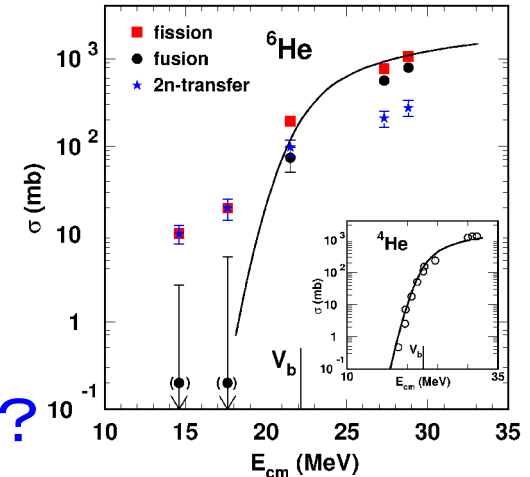
→ 「何に比べて」 cross section が enhance/hinder しているのか？

### i) Tightly bound 系との比較



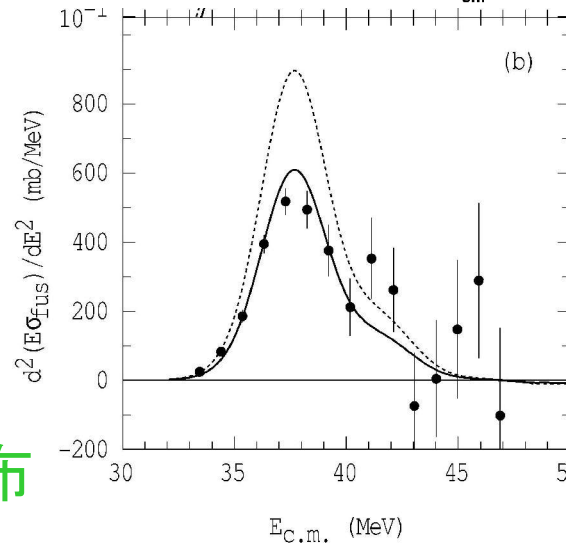
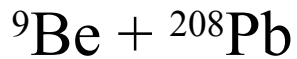
Break-up の効果を pin down できるか？

Static な効果と dynamical な効果の分離？



### ii) Average fusion barrier の測定

Fusion barrier distribution をとる



R. Raabe et al.

Nature('04)

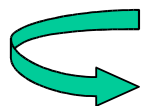
M. Dasgupta et al.

PRL82('99)1395

中性子過剰核：準弾性散乱障壁分布

## 2) 超重核生成反応におけるクーロン障壁の系統性

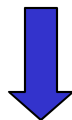
超重核生成反応: 非常に小さい断面積



反応に最適なエネルギーの選択が重要



しかし、クーロン障壁に関する系統性は存在せず



準弾性障壁分布を用いた平均ポテンシャルの高さの測定

原研における計画

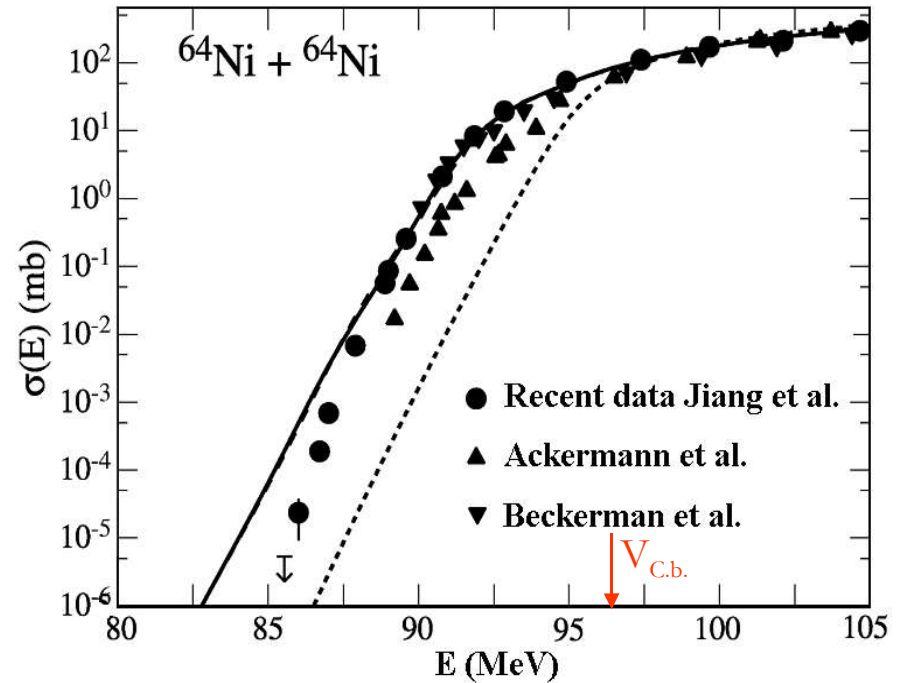
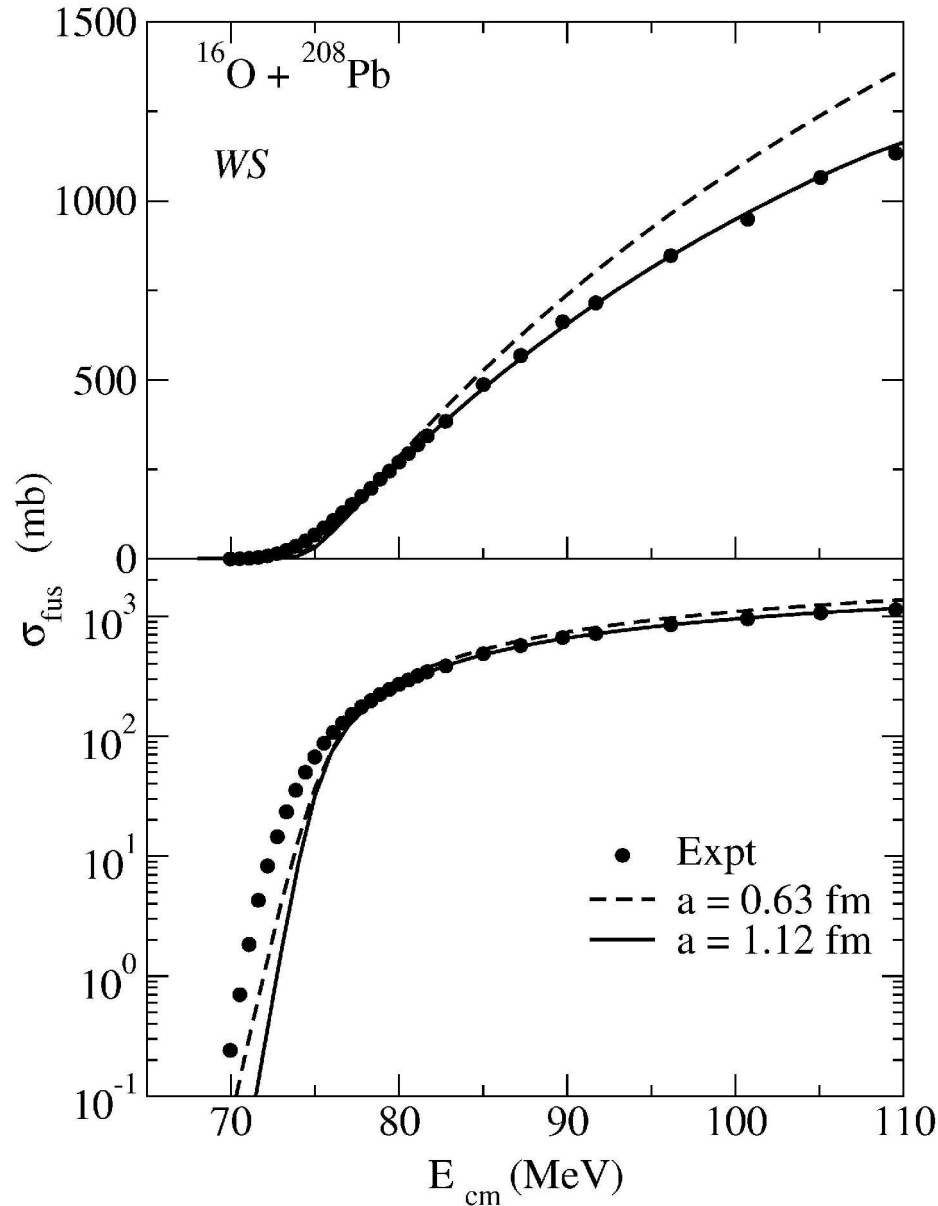
Cold fusion reactions:  $^{50}\text{Ti}, ^{54}\text{Cr}, ^{58}\text{Fe}, ^{64}\text{Ni}, ^{70}\text{Zn} + ^{208}\text{Pb}, ^{209}\text{Bi}$

### 3) Surface diffuseness problem

$$V_N(r) = -V_0/[1+\exp((r-R_0)/a)]$$

Scattering processes:  $a \sim 0.63$  fm

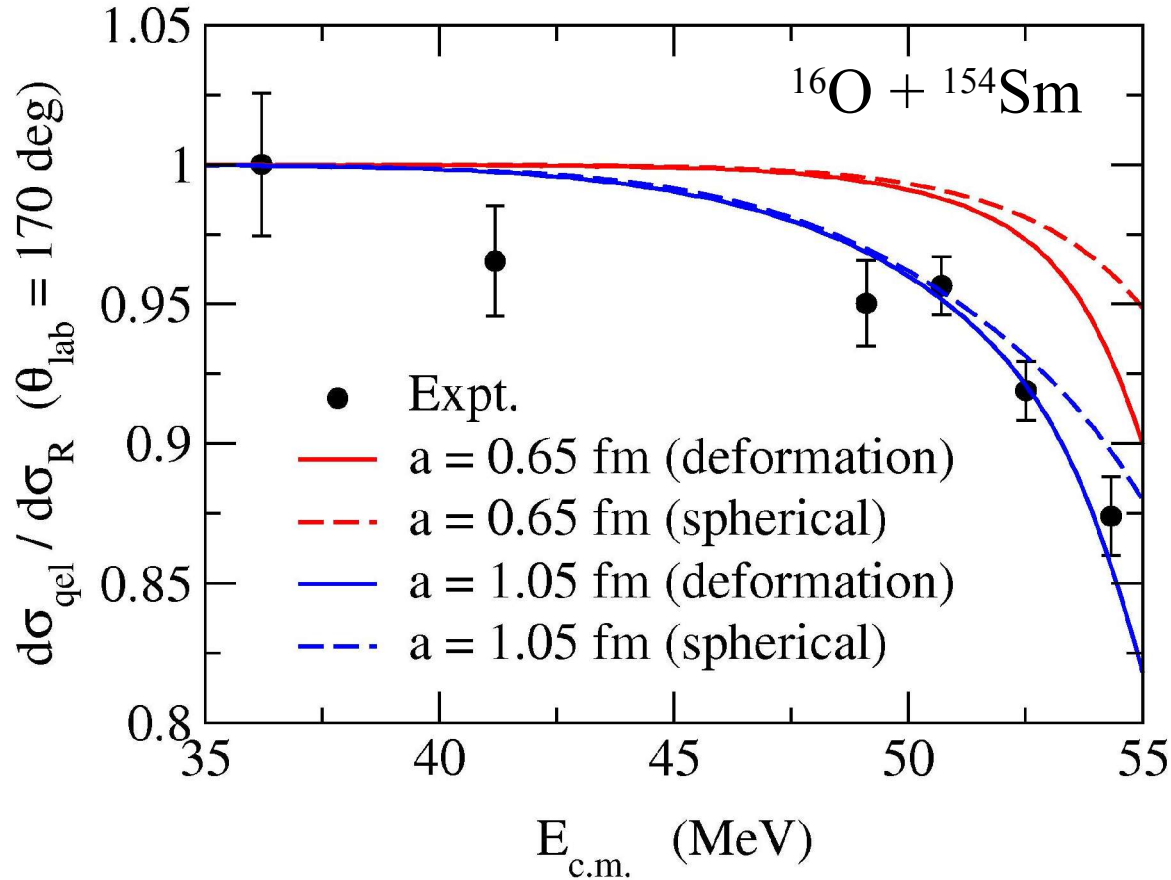
Fusion:  $a = 0.75 \sim 1.5$  fm



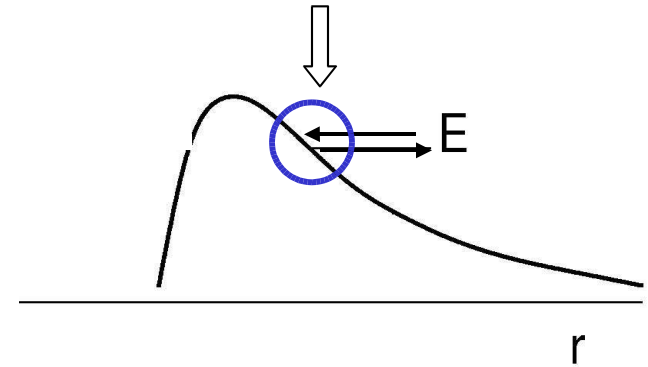
C.L. Jiang et al., PRL93('04)012701

# Quasi-elastic scattering at deep subbarrier energies?

K.H., T. Takehi, A.B. Balantekin, and N. Takigawa, Phys. Rev. C71('05)044612



QEL at deep subbarrier energies: sensitive only to the surface region



$$\frac{\sigma_{\text{el}}(E, \pi)}{\sigma_R(E, \pi)} \sim \left( 1 + \frac{V_N(r_c)}{ka} \frac{\sqrt{2a\pi k\eta}}{E} \right) \cdot R(E)$$

$$\sim 1 + \frac{V_N(r_c)}{ka} \frac{\sqrt{2a\pi k\eta}}{E}$$

